

SKRIPSI

**METODE PROTEKSI GERUSAN DENGAN MENGGUNAKAN
GROUNDSILL DI HILIR ABUTMENT TALANG IRIGASI
(UJI MODEL LABORATORIUM)**



**PROGRAM STUDI TEKNIK PENGAIRAN
FAKULTAS TEKNIK
UNIVERSITAS MUHAMMADIYAH MAKASSAR
2019**

METODE PROTEKSI GERUSAN DENGAN MENGGUNAKAN
GROUNDSILL DI HILIR ABUTMENT TALANG IRIGASI
(UJI LABORATORIUM)



PROGRAM STUDI TEKNIK PENGAIRAN

JURUSAN TEKNIK SIPIL

FAKULTAS TEKNIK

UNIVERSITAS MUHAMMADIYAH MAKASSAR

2019



UNIVERSITAS MUHAMMADIYAH MAKASSAR

FAKULTAS TEKNIK

GEDUNG MENARA IQRA LT. 3

Jl. Sultan Alauddin No. 259 Telp. (0411) 866 972 Fax (0411) 865 588 Makassar 90221

Website : www.unismuh.ac.id, e-mail : unismuh@gmail.com

Website : <http://teknik.unismuh.makassar.ac.id>

بِسْمِ اللّٰهِ الرَّحْمٰنِ الرَّحِيْمِ

PENGESAHAN

si atas nama Syafri Zaldy dengan nomor induk Mahasiswa 10581184513 dan Nur Ilahi an nomor induk Mahasiswa 10581200213, dinyatakan diterima dan disahkan oleh Panitia Tugas Akhir/Skripsi sesuai dengan Surat Keputusan Dekan Fakultas Teknik Universitas Muhammadiyah Makassar Nomor : 0002/SK-Y/22201/091004/2019, sebagai salah satu syarat memperoleh gelar Sarjana Teknik pada Program Studi Teknik Pengairan Jurusan Teknik Fakultas Teknik Universitas Muhammadiyah Makassar pada hari Senin tanggal 17 Juni 2019.

Waktu Ujian :

13 Syawal 1440 H

Makassar,

17 juni 2019 M

Dengawas Umum :

Rektor Universitas Muhammadiyah Makassar

Dr. H. Abdul Rahman Rahim, SE, MM.

Dekan Fakultas Teknik Universitas Hasanuddin

Dr. Ir. H. Muhammad Asyad Thaha, MT.

Mengetahui

Ketua : Dr. Ir. H. Darwis Panguriseng, M.Si.

Sekertaris : Farida Gaffar, ST., MM.

Anggota : 1. Ir. Amrullah Mansida, ST., MTA

2. Ir. Mahmuddin, ST., MT.

3. Lutfi Hair Djunur, ST., MT.

Mengetahui :

Pembimbing I

Riswal K., ST., MT.

Pembimbing II

Dr. Ir. Nenny T Karim, ST., MT.
NBM : 857 296





UNIVERSITAS MUHAMMADIYAH MAKASSAR

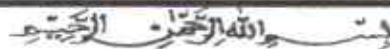
FAKULTAS TEKNIK

GEDUNG MENARA IQRA LT. 3

Jl. Sultan Alauddin No. 259 Telp. (0411) 866 972 Fax (0411) 865 588 Makassar 90221

Website : www.unismuh.ac.id, e-mail : unismuh@gmail.com

Website : <http://teknik.unismuh.makassar.ac.id>



HALAMAN PENGESAHAN

Tugas Akhir ini diajukan untuk memenuhi syarat ujian guna memperoleh gelar Sarjana Teknik (ST) Program Studi Teknik Pengairan Jurusan Teknik Sipil Fakultas Teknik Universitas Muhammadiyah Makassar.

Judul Skripsi : METODE PROTEKSI GERUSAN DENGAN MENGGUNAKAN GROUNDSILL DI HILIR ABUTMENT TALANG IRIGASI (UJI LABORATORIUM).

Nama : SYAFRI ZALDY

NUR ILAHI

Stambuk : 105 81 1845 13

105 81 2002 13

Makassar, 17 juni 2019

Telah Diperiksa dan Disetujui
Oleh Dosen Pembimbing:

Pembimbing I

Pembimbing II

Riswal K,S.T.,M.T.

Dr. Ir. Nenny T Karim,S.T.,M.T.

Mengetahui,
Ketua Program Studi Teknik Pengairan
Jurusan Teknik Sipil

Andi Makbul Syamsuri, ST.,MT.

NBM : 1183 084

METODE PROTEKSI GERUSAN DENGAN MENGGUNAKAN GROUNDSILL DI HILIR ABUTMENT TALANG IRIGASI

Syafri Zaldy¹, Nur ilahi²

*¹Program Studi Teknik Pengairan, Fakultas Teknik, Unismuh Makassar
(Email: syafrizalzy07@gmail.com)*

*²Program Studi Teknik Pengairan, Fakultas Teknik, Unismuh Makassar
(Email: nurilahi1995@gmail.com)*

ABSTRAK

Abutmen merupakan salah satu bangunan yang ada di sungai yang dapat mengakibatkan perubahan morfologi sungai diikuti dengan perubahan karakteristik sungai yang dapat menyebabkan perubahan pola aliran, sehingga secara umum dapat menyebabkan terjadinya gerusan lokal dan penurunan elevasi dasar sungai. Penelitian ini bertujuan mengetahui pengaruh kecepatan aliran, waktu pengaliran dan penempatan bangunan groundsill terhadap gerusan dan pengendapan sedimen pada abutment talang. Penelitian ini berupa model fisik laboratorium dengan menggunakan skala model yaitu keadaan di lapangan dibawa ke laboratorium dengan perbandingan skala dan ukuran yang lebih kecil dengan harapan dapat memberikan gambaran tentang kecepatan aliran terhadap abutment talang baik sebelum atau setelah adanya penempatan groundsill. Analisa multivariat digunakan untuk mengetahui tinggi sedimen yang terjadi pada abutment talang. Hasil penelitian menunjukkan bahwa semakin dekat jarak groundsill terhadap abutment maka semakin cepat pengendapan sedimen yang terjadi. Faktor kecepatan aliran mempunyai hubungan sebanding dengan tinggi sedimen. Semakin besar kecepatan, maka pengendapan yang terjadi juga semakin rendah. Dengan kecepatan aliran yang besar inilah yang mampu mengalahkan kecepatan kritis sedimen, sehingga mampu menghanyutkan sedimen tersebut hingga ke hilir dan mengakibatkan terjadinya pengendapan yang mana dapat mengamankan dasar sungai serta bangunan yang ada di tepi sungai (abutment).

Kata Kunci: abutment, kecepatan, sedimen, penempatan groundsill.

ABSTRACT

Abutment is one of the buildings in the river which can cause changes in river morphology followed by changes in river characteristics that can cause changes in flow patterns, so that in general it can cause local scouring and decrease in riverbed elevation. This study aims to determine the effect of flow velocity, flow time and placement of groundsill buildings on the scour and sedimentation of sediments on gutters abutments. This research is in the form of a laboratory physical model using a scale model that is the situation in the field brought to the laboratory with a comparison of smaller scale and size in the hope that it can provide an overview of the flow velocity of gutter abutments both before and after the groundsill placement. Multivariate analysis was used to determine the height of sediment that occurred in the gutter abutment. The results showed that the closer the groundsill distance to the abutment, the faster the sediment deposition occurred. The flow velocity factor has a relationship proportional to the height of the sediment. The greater the speed, the more sedimentation occurs. With this large flow velocity that is able to defeat the critical speed of the sediment, so that it can wash away the sediment downstream and result in precipitation which can secure the riverbed and the abutments.

Keywords: abutment, speed, sediment, placement of groundsill.

KATA PENGANTAR

بِسْمِ اللَّهِ الرَّحْمَنِ الرَّحِيمِ

Assalamualaikum, Wr. Wb

Syukur Alhamdulillah penulis panjatkan ke hadirat Allaw SWT. atas segala rahmat dan hidayah yang tiada henti diberikan kepada hamba-Nya. Shalawat dan salam tak lupa penulis kirimkan kepada Rasulullah Muhammad SAW. beserta para keluarga, sahabat dan para pengikut-Nya. Merupakan nikmat yang tiada ternilai manakala penulisan skripsi yang berjudul "**Metode Proteksi Gerusan Dengan Menggunakan Groundsill di Hilir Abutment Talang Irigasi**" dapat terselesaikan.

Skripsi yang penulis buat ini bertujuan untuk memenuhi syarat dalam menyelesaikan Program Sarjana (S1) pada Fakultas Teknik Universitas Muhammadiyah Makassar.

Teristimewa dan terutama penulis sampaikan ucapan terima kasih kepada kedua orang tua penulis yang senantiasa memberi harapan, semangat, perhatian, kasih sayang dan doa tulus tanpa pamrih. Dan saudara-saudaraku tercinta yang senantiasa mendukung dan memberikan semangat hingga akhir studi ini. Dan seluruh keluarga besar atas segala pengorbanan, dukungan dan doa restu yang telah diberikan demi keberhasilan penulis dalam menuntut ilmu. Semoga apa yang telah mereka berikan penulis menjadi ibadah dan cahaya penerang kehidupan di dunia dan di akhirat.

Penulis menyadari bahwa penyusunan skripsi ini tidak akan terwujud tanpa adanya bantuan dan dorongan dari berbagai pihak. Begitu pula penghargaan yang setinggi-tingginya dan terima kasih banyak disampaikan dengan hormat kepada :

1. Bapak **Prof. Dr. H. ABD. Rahman Rahim, S.E., M.M.** Sebagai Rektor Universitas Muhammadiyah Makassar.
2. Bapak **Ir. Hamzah Al Imran, S.T., M.T.** Sebagai Dekan Fakultas Teknik Universitas Muhammadiyah Makassar.
3. Bapak **Andi Makbul Syamsuri,ST.,MT.** Sebagai Ketua Jurusan Sipil Fakultas Teknik Universitas Muhammadiyah Makassar.
4. Bapak **Riswal K., ST., MT.** Selaku pembimbing I yang senantiasa meluangkan waktunya membimbing dan mengarahkan penulis, sehingga Skripsi dapat terselesaikan dengan baik.
5. Bapak **Dr. Ir. Nenny T Karim, ST., MT.** Selaku pembimbing II, yang telah berkenan membantu selama dalam penyusunan Skripsi hingga ujian Skripsi.
6. Bapak/Ibu dosen dan asisten Dosen Fakultas Teknik Universitas Muhammadiyah Makassar yang tak kenal lelah banyak menuangkan ilmunya kepada penulis selama mengikuti proses belajar mengajar di Universitas Muhammadiyah Makassar.
7. Segenap staf pegawai dan karyawan Fakultas Teknik Universitas Muhammadiyah Makassar.

8. Rekan-rekan mahasiswa Fakultas Teknik, terkhusus Saudaraku Angkatan 2013 yang selalu belajar bersama dan dengan rasa persaudaran yang tinggi banyak membantu dan memberi dukungan dalam menyelesaikan tugas akhir ini.
9. Terima kasih untuk semua kerabat yang tidak bisa penulis tuliskan satu persatu tang telah memberikan semangat, kesabaran, motivasi, dan dukungannya sehingga penulis dapat merampungkan penulisan Skripsi ini.

Akhirmnya, sungguh penulis sangat menyadari bahwa Skripsi ini masih sangat jauh dari kesempurnaan oleh karena itu, kepada semua pihak utamanya para pembaca yang budiman, penulis senantiasa mengharapkan saran dan kritikannya demi kesempurnaan Skripsi ini.

Mudah-mudahan Skripsi yang sederhana ini dapat bermanfaat bagi semua pihak utamanya kepada Almamater kampus Biru Universitas Muhammadiyah Makassar.

Billahi fii Sabili Haq, Fastabiqul Khairat,

Wassalamu`alaikum, Wr. Wb.

Makassar,

Juni 2019

Penulis

DAFTAR ISI

Halaman

| | |
|---------------------------------|-----|
| HALAMAN JUDUL | |
| LEMBAR PENGESAHAN | |
| KATA PENGANTAR..... | i |
| DAFTAR ISI | iv |
| DAFTAR TABEL..... | vi |
| DAFTAR GAMBAR..... | vii |
| LAMPIRAN | |
| BAB I PENDAHULUAN | |
| A. Latar Belakang | 1 |
| B. Rumusan Masalah | 3 |
| C. Tujuan Penelitian | 3 |
| D. Manfaat Penelitian | 3 |
| E. Batasan Masalah | 4 |
| F. Sistematika Penulisan | 4 |
| BAB II TINJAUAN PUSTAKA | |
| A. Sungai | 6 |
| B. Karakteristik aliran | 8 |
| C. Sedimen | |
| 1. Pengertian Sedimen | 9 |
| 2. Gerusan | 11 |
| 3. Jenis Gerusan | 11 |
| 4. Degradasi dan agradasi | 11 |

| | |
|---|----|
| 5. Proses Sedimen | 12 |
| 6. Angkutan sedimen | 13 |
| 7. Macam macam angkutan sedimen | 20 |
| D. Grounsill | 21 |
| E. Abutment | 24 |
| BAB III METODE PENELITIAN | |
| A. Tempat penelitian | 26 |
| B. Jenis penelitian dan sumber data | 26 |
| C. Alat dan Bahan | 26 |
| D. Perancangan model | 28 |
| E. Variabel yang di Teliti | 29 |
| F. Pelaksanaan Simulasi | 30 |
| G. Prosedur Pengambilan Data | 31 |
| H. Flow chart penelitian | 32 |
| BAB IV HASIL DAN PEMBAHASAN | |
| A. Karakteristik aliran | 33 |
| B. Analisis pengendapan sedimen | 41 |
| C. Pembahasan | 51 |
| BAB V PENUTUP | |
| A. Kesimpulan | 52 |
| B. Saran | 52 |

DAFTAR TABEL

| Nomor | Halaman |
|---|---------|
| 1. Jenis jenis aliran | 7 |
| 2. Froses sedimen dasar | 15 |
| 3. Variasi Penelitian | 29 |
| 4. Hasil Perhitungan bilangan Froude sebelum ada groundsill | 33 |
| 5. Hasil Perhitungan bilangan Froude setelah ada groundsill | 34 |
| 6. Viskositas kinematis sebagai hubungan fungsi suhu | 38 |
| 7. Perhitungan Bilangan Reynold (Re) sebelum ada groundsill | 38 |
| 8. Perhitungan Bilangan Reynold (Re) setelah ada groundsill | 39 |
| 9. Pengamatan Tinggi Sedimen Sebelum Dan Setelah Running Pada Bangunan Groundsill pada $Q_1=0,093 \text{ m}^3/\text{dtk}$ | 41 |
| 10. Pengamatan Tinggi Sedimen Sebelum Dan Setelah Running Pada Bangunan Groundsill pada $Q_2=0,152 \text{ m}^3/\text{dtk}$ | 42 |
| 11. Pengamatan Tinggi Sedimen Sebelum Dan Setelah Running Pada Bangunan Groundsill pada $Q_3=0,198 \text{ m}^3/\text{dtk}$ | 43 |
| 12. Tinggi endapan di sekitar abutment pada kondisi groundsill | 50 |

DAFTAR GAMBAR

| Nomor | Halaman |
|---|---------|
| 1. Tampang panjang saluran dengan dasar granuler | 14 |
| 2. Angkutan sedimen pada tampang panjang dengan dasar granuler. | 15 |
| 3. Transpor sedimen dalam airan air sungai | 17 |
| 4. Skema angkutan Sedimen | 21 |
| 5. Bagian-bagian Groundsill | 22 |
| 6. Groundsill datar (<i>Bed gingle work</i>) | 23 |
| 7. Groundsill Pelimpah (<i>Head work</i>) | 23 |
| 8. Desain flume | 27 |
| 9. Ilustrasi penempatan bangunan groundsill..... | 29 |
| 10. Bagang air (<i>flow chart</i>) | 32 |
| 11. Hubungan antara kecepatan (m/det) dan Bilangan Froude sebelum dan setelah ada groundsill Q_1 | 36 |
| 12. Hubungan antara kecepatan (m/det) dan Bilangan Froude Sebelum dan setelah ada groundsill Q_2 | 36 |
| 13. Hubungan antara kecepatan (m/det) dan Bilangan Froude Sebelum dan setelah ada groundsill Q_3 | 37 |
| 14. Hubungan antara kecepatan (m/det) dan Bilangan Reynold | 40 |
| 15. Hubungan antara kecepatan (m/dtk) dan Bilangan Reynold | 40 |

| | | |
|-----|--|----|
| 16. | Profil Memanjang Tinggi Sedimen Sebelum <i>Running</i> Pada Bangunan <i>Groundsill</i> Dengan Debit Pengaliran ($Q_1=0,098\text{m}^3/\text{d}$) | 44 |
| 17. | Profil Memanjang Tinggi Sedimen Pada Bangunan <i>Groundsill</i> Dengan Debit Pengaliran ($Q_1 = 0,098 \text{ m}^3/\text{d}$) | 44 |
| 18. | Kondisi Sebelum <i>Running</i> Bangunan <i>Groundsill</i> $Q_1=0,098 \text{ m}^3/\text{d}$ | 45 |
| 19. | Kondisi Dasar Saluran Setelah <i>Running</i> Bangunan <i>Groundsill</i> $Q_1 = 0,098 \text{ m}^3/\text{dtk}$ | 45 |
| 20. | Profil Memanjang Tinggi Sedimen Sebelum <i>Running</i> Pada Bangunan <i>Groundsill</i> Dengan Debit Pengaliran ($Q_2=0,152 \text{ m}^3/\text{dtk}$) | 46 |
| 21. | Profil Memanjang Tinggi Sedimen setelah <i>Running</i> Pada Bangunan <i>Groundsill</i> Dengan Debit Pengaliran ($Q_2= 0,152 \text{ m}^3/\text{dtk}$) | 46 |
| 22. | Kondisi Sebelum <i>Running</i> Bangunan <i>Groundsill</i> $Q_2=0,152 \text{ m}^3/\text{dtk}$ | 47 |
| 23. | Kondisi Setelah <i>Running</i> Bangunan <i>Groundsill</i> $Q_2=0,152 \text{ m}^3/\text{d}$ | 47 |
| 24. | Profil Memanjang Tinggi Sedimen Sebelum <i>Running</i> Pada Bangunan <i>Groundsill</i> Dengan Debit Pengaliran ($Q_3= 0,198 \text{ m}^3/\text{dtk}$) | 48 |
| 25. | Profil Memanjang Tinggi Sedimen Setelah <i>Running</i> Pada Bangunan <i>Groundsill</i> Dengan Debit Pengaliran ($Q_3= 0,198 \text{ m}^3/\text{dtk}$) | 48 |
| 26. | Kondisi Sebelum <i>Running</i> Bangunan <i>Groundsill</i> $Q_3=0,193 \text{ m}^3/\text{dtk}$ | 49 |
| 27. | Kondisi Setelah <i>Running</i> Bangunan <i>Groundsill</i> $Q_3=0,193 \text{ m}^3/\text{dtk}$ | 49 |

BAB I

PENDAHULUAN

A. Latar Belakang

Gerusan lokal yang terjadi pada pilar (*abutment*) biasanya terjadi gerusan pada bagian hulu pilar (*abutment*) dan terjadi proses deposisi pada bagian hilir pilar (*abutment*) (Hanwar, 1999). Dampak dari gerusan lokal harus diwaspadai, karena dapat berpengaruh pada penurunan Stabilitas bangunan. Mengingat kompleks dan pentingnya permasalahan di atas, kajian tentang gerusan lokal (*local scouring*) di sekitar *abutment* jembatan yang terdapat pada sungai akibat adanya pengaruh pola aliran yang mengakibatkan terjadinya gerusan lokal, maka perlu mendapat perhatian secara khusus, sehingga nantinya dapat diketahui mengenai pola aliran, pola gerusan dan kedalaman gerusan yang terjadi selanjutnya dapat pula dicari upaya penanganan permasalahan gerusan lokal pada *abutment* jembatan.

Banyak kasus tentang runtuhnya bangunan seperti jembatan dan talang irigasi, bukan hanya disebabkan oleh faktor konstruksi saja, namun persoalan gerusan di sekitar *abutment*, hal ini ditunjukkan karena proses gerusan yang terjadi secara terus menerus, sehingga terjadi penurunan dasar sungai di hilir *abutment*. Di samping itu tidak adanya bangunan pengendali dasar sungai (*groundsill*) di sekitar *abutment* jembatan,

sehingga gerusan tidak akan dapat direduksi, yang mengakibatkan kedalaman gerusan bisa mencapai maksimum dan pada gilirannya dapat menimbulkan kerusakan konstruksi bangunan. Untuk itu perlu adanya upaya pengendalian terhadap gerusan di sekitar *abutment* jembatan, salah satu cara yang dapat dilakukan adalah dengan menempatkan *groundsill* di bagian hilir (*abutment*) dengan tujuan agar sedimen yang terbawa oleh aliran air akibat gerusan lokal (*local scouring*) dapat tertahan sehingga elevasi tanah dasar di sekitar *abutment* tetap berada pada kondisi yang normal atau terjadi penangkapan sedimen oleh *groundsill* yang dihasilkan dari gerusan/aliran sehingga terjadi keseimbangan akibat penumpukan sedimen di hilir *abutment*.

Metode penggunaan *groundsill* ini merupakan pengembangan dari *check dam* (kantong pasir) yang diterapkan pada konstruksi sungai sebagai bangunan pengendali gerusan lokal yang terjadi akibat adanya bangunan air (Sucipto, 2010). Sehingga, proses gerusan yang terjadi perlu dipelajari untuk diketahui parameter aliran yang dapat mempengaruhi gerusan lokal di sekitar *abutment*.

Groundsill merupakan salah satu bentuk perlindungan dasar sungai hasil pengembangan dari *check dam* dan juga melindungi bangunan air agar tidak mengakibatkan runtuhnya bangunan dalam hal ini adalah *abutment* jembatan. Berdasarkan uraian diatas, maka penulis tertarik untuk mengadakan penelitian tentang “**Metode Proteksi Gerusan Dengan Menggunakan *Groundsill* Di Hilir Abutment Talang irigasi”**

(Uji Model Laboratorium) dengan harapan dapat mengatasi permasalahan pada abutment jembatan.

B. Rumusan Masalah

Berdasarkan pada latar belakang yang telah diuraikan, maka permasalahan dapat dirumuskan sebagai berikut:

1. Bagaimana pengaruh kecepatan aliran terhadap gerusan sebelum ada *groundsill* dan setelah ada *groundsill*
2. Bagaimana pengaruh kecepatan aliran terhadap endapan sebelum ada *groundsill* dan setelah ada *groundsill*

C. Tujuan Penelitian

Berdasarkan rumusan masalah yang dipaparkan di atas, maka tujuan yang ingin dicapai dari penelitian ini adalah:

1. Untuk mengetahui pengaruh kecepatan aliran terhadap gerusan sebelum ada *groundsill* dan setelah ada *groundsill*.
2. Menganalisis pengaruh kecepatan aliran terhadap endapan di dasar sungai

D. Manfaat Penelitian

Manfaat penelitian yang ingin dicapai pada penelitian ini yaitu, dengan dilakukannya uji model penempatan *groundsill* sebagai perlindungan *abutment* talang irigasi, maka dapat memberikan gambaran dan referensi mengenai *groundsill* dalam mengendalikan aliran dan sedimen pada bangunan *abutment*.

E. Batasan Masalah

Agar penelitian dapat berjalan efektif dan mencapai sasaran yang diinginkan maka ruang lingkup penelitian dibatasi pada:

1. Sedimen yang digunakan iyalah pasir dengan saringan no 60

2. Pengujian pada model fisik flume yaitu :

a. Posisi perletakan bangunan *ground sill* dari *abutment* ($L = 49 \text{ cm}$)

b. ($h_1 = 2,5 \text{ cm}$, $h_2 = 2,75$ dan $h_3 = 3 \text{ cm}$)

c. Waktu ($t_1 = 20 \text{ menit}$, $t_2 = 30 \text{ menit}$ dan $t_3 = 40 \text{ menit}$)

Mengetahui pengaruh debit aliran terhadap penempatan *ground sill*, pengaruh penempatan *ground sill* terhadap pengendapan sedimen di sekitar *abutment* dan pengaruh kecepatan aliran terhadap pengendapan sedimen di sekitar *abutment*.

F. Sistematika Penulisan

Adapun sistematika penulisan ini dapat dijelaskan sebagai berikut :

Bab I Pendahuluan dalam bab ini diuraikan mengenai hal-hal yang melatar belakangi penelitian ini, dilanjutkan dengan uraian rumusan masalah, tujuan penelitian, manfaat penelitian, batasan masalah dan sistematika penulisan.

Bab II Tinjauan Pustaka berisi ringkasan dasar-dasar teori yang berhubungan dengan penelitian, dan hasil-hasil penelitian yang pernah dilakukan sebelumnya yang dijadikan acuan dalam pembuatan penelitian ini.

Bab III Metode Penelitian bab ini terdiri dari lokasi dan objek penelitian, bahan dan alat yang digunakan dalam penelitian ini secara terperinci.

Bab IV Analisa dan Pembahasan pada bab ini menjelaskan hasil-hasil yang diperoleh dari proses penelitian dan pembahasannya. Penyajian hasil penelitian memuat deskripsi sistematik tentang data yang diperoleh, sedangkan pada bagian pembahasan menguraikan pengolahan data hasil penelitian (uji model) dalam rangka mencapai tujuan dari penelitian ini.

Bab V Kesimpulan dan Saran pada bab ini dikemukakan kesimpulan dari seluruh rangkaian proses penelitian dan saran-saran terkait dengan kekurangan yang didapat dalam penelitian ini, sehingga nantinya dapat dijadikan acuan untuk penelitian selanjutnya.

BAB II

KAJIAN PUSTAKA

A. Sungai

Sungai atau saluran terbuka menurut Bambang Triatmodjo (2003) adalah saluran dimana air mengalir dengan muka air bebas pada saluran terbuka, misalnya sungai (saluran alam), variabel aliran sangat tidak teratur terhadap ruang dan waktu. Variabel tersebut adalah tumpang lintang saluran, kekasaran, kemiringan dasar, belokan debit aliran dan sebagainya.

Tipe aliran saluran terbuka menurut Bambang Triatmodjo (2003) adalah turbulent, karena kecepatan aliran dan kekasaran dinding relatif besar. Aliran melalui saluran terbuka akan *turbulent* apabila angka *Reynolds* $Re > 1.000$ dan *Laminer* $Re < 500$. Aliran melalui saluran terbuka dianggap seragam (*uniform*) apabila berbagai variabel aliran seperti kedalaman, tumpang basah, kecepatan, dan debit pada setiap tumpang saluran terbuka adalah konstan. Aliran melalui saluran terbuka disebut tidak seragam atau berubah (*non uniform flow atau varied flow*), apabila variabel aliran seperti kedalaman, tumpang basah, kecepatan di sepanjang saluran tidak konstan. Adapun jenis aliran pada saluran terbuka dapat diklasifikasikan sesuai bilangan Froude.

Menurut Bambang Triatmodjo (2003), bilangan Froude adalah sebuah bilangan tak bersatuan yang digunakan untuk mengukur resistensi dari sebuah benda yang bergerak melalui air, dan membandingkan benda-benda dengan ukuran yang berbeda-beda. Bilangan ini didasarkan pada kecepatan/beda jarak .

Menurut Bambang Triatmodjo (2003), bilangan Froude merupakan parameter berdimensi penting dalam studi open-saluran aliran, dan itu diberikan oleh $Fr = V / (gL)^{0,5}$ dimana V adalah kecepatan rata-rata, L adalah panjang karakteristik yang terkait dengan kedalaman (kedalaman hidrolik untuk aliran saluran terbuka), dan G adalah percepatan gravitasi. Untuk penampang persegi panjang, kedalaman hidrolik adalah kedalaman air. Secara fisik, bilangan Froude merupakan rasio gaya inersia untuk gaya gravitasi.

Menurut Sri Nurwahyuni (2013), aliran subkritis dan aliran superkritis dapat diketahui melalui nilai bilangan Froude (Fr). Bilangan Froude tersebut membedakan tiga jenis aliran yakni: Aliran kritis, Subkritis, Superkritis dapat dijelaskan seperti tabel dibawah ini:

Tabel 1.jenis jenis aliran

| Bilangan Froude (Fr) | Jenis Aliran |
|----------------------|-----------------------------|
| $Fr < 1$ | Aliran Subkritis (tenang) |
| $Fr = 1$ | Aliran Kritis |
| $Fr > 1$ | Aliran Superkritis (cepat) |

Sumber : Bambang Triatmodjo (2003)

Rumus bilangan Froude pada umumnya:

$$Fr = \frac{V}{\sqrt{gD}}$$

Fr : angka froude (Froude number)

V : kecepatan aliran

g : percepatan gravitasi

D : kedalaman hidraulik

$$D = \frac{A}{T}$$

A : luas aliran

T : lebar permukaan aliran

B. Karakteristik aliran

1. Laminer

Menurut Prijono, Arko (1985), aliran laminer adalah aliran fluida yang bergerak dengan kondisi lapisan-lapisan yang membentuk garis-garis air dan tidak berpotongan satu sama lain. Alirannya relatif mempunyai kecepatan rendah dan fluidanya bergerak sejajar dan sampai batasan-batasan yang berisi aliran filament panjang yang mengalir sepanjang aliran.

2. Turbulen

Menurut Bambang Triatmodjo (1996), aliran turbulen adalah aliran fluida yang partikel-partikelnya bergerak secara acak dan tidak stabil dengan kecepatan berfluktasi yang saling berinteraksi. Akibat dari hal tersebut garis alir antara partikel fluidanya saling berpotongan. Turbulen mentransport partikel-partikel dengan dua cara, yaitu dengan

penambahan gaya fluida dan penurunan tekanan lokal ketika pusaran turbulen bekerja padanya.

Menurut Prijono, Arko (1985), bilangan Reynold mempunyai bilangan tak berdimensi yang menunjukkan sifat suatu aliran, dimana bilangan tersebut merupakan kelompok tak berdimensi dan parameter-parameter fluida yaitu kecepatan karakteristik, panjang karakteristik, dan viskositas kinematik. Hubungan dan parameter tersebut dapat dilihat dengan persamaan sebagai berikut:

$$Re = (4 v R) / \theta$$

Dimana:

Re = Angka Reynold (tanpa satuan)

V = Kecepatan rata-rata (ft/s atau m/s)

R = Jari-jari hidraulik (ft atau m)

θ = Viskositas kinematis, tersedia dalam tabel sifat-sifat cairan (ft²/s atau m²/s)

Menurut hasil percobaan oleh Reynold, apabila angka Reynold kurang daripada 2000, aliran biasanya merupakan aliran laminer. Apabila angka Reynold lebih besar daripada 4000, aliran biasanya adalah turbulen.

C. Sedimen

1. Pengertian Sedimen

Menurut Asdak (2004), sedimen adalah hasil proses erosi, baik berupa erosi permukaan, erosi parit, atau jenis erosi tanah lainnya.

Sedimen umumnya mengendap di bagian bawah kaki bukit, didaerah genangan banjir, disaluran air, sungai, dan waduk. Hasil sedimen (*sediment yield*) adalah besarnya sedimen yang berasal dari erosi yang terjadi di daerah tangkapan air yang diukur pada periode waktu dan tempat tertentu. Proses erosi terdiri atas tiga bagian yaitu: pengelupasan (*detachment*), pengangkutan (*transportation*), dan pengendapan (*sedimentation*).

Menurut Suripin (2002), erosi dan sedimentasi merupakan proses terlepasnya butiran tanah dari induknya dari suatu tempat dan terangkutnya material tersebut oleh gerakan air atau angin kemudian diikuti oleh pengendapan material yang terjadi di tempat lain.

Sedimentasi dan erosi adalah dua hal yang sangat berkaitan erat. Erosi dan sedimentasi dapat disebabkan oleh aliran glester (es). Erosi juga sering disebut sebagai faktor penyebab banyaknya sedimen yang terangkut oleh air.

Sedimen dapat pula berasal dari erosi yang terjadi pada luar sungai. Sedimen terangkut oleh aliran sungai pada saat debitnya meningkat dari bagian hulu dan kemudian di endapkan pada alur sungai yang landai atau pada ruas sungai yang melebar, selanjutnya pada saat debitnya mengecil dan kandungan beban dalam aliran mengecil, maka sedimen yang mengendap tersebut secara berangsur - angsur terbawa hanyut lagi dan dasar sungai akan berangsur turun kembali.

2. Gerusan

Gerusan adalah proses erosi dan deposisi yang terjadi karena perubahan aliran di sungai. Perubahan ini karena adanya halangan pada aliran sungai yang berupa bangunan sungai seperti pilar jembatan. Bangunan-bangunan ini dipandang dapat merubah geometri alur serta pola aliran, yang selanjutnya diikuti dengan timbulnya gerusan lokal di sekitar bangunan (Legono, 1990 dalam Safitri YE, 2005).

3. Jenis Gerusan

Menurut Legono (1990), gerusan dibedakan menjadi:

- a. Gerusan umum di alur sungai, gerusan ini tidak berkaitan sama sekali dengan terdapat atau tidaknya bangunan sungai. Gerusan ini disebabkan oleh energi dari aliran sungai.
- b. Gerusan terlokalisir di alur sungai, terjadi karena penyempitan alur sungai, sehingga aliran menjadi lebih terpusat.
- c. Gerusan lokal disekitar bangunan, terjadi karena pola aliran lokal disekitar bangunan sungai.

4. Degradasi dan Agradasi

Menurut Yuniarti (2007), degradasi merupakan suatu proses yang menyebabkan berkurangnya bagian suatu bentang alam atau permukaan bumi. Yang termasuk ke dalam proses degradasi adalah pelapukan, erosi, pengangkutan yang termasuk di dalamnya denudasi. Yang termasuk ke

dalam proses agradasi adalah merupakan suatu proses yang menyebabkan bertambahnya suatu bentang alam.

5. Proses sedimen

Sedimen yang dihasilkan oleh proses erosi dan terbawa oleh aliran air akan diendapkan pada suatu tempat yang kecepatan alirannya melambat atau terhenti. Peristiwa pengendapan ini dikenal dengan proses sedimentasi. Proses sedimentasi berjalan sangat kompleks, dimulai dari jatuhnya hujan yang menghasilkan energi kinetik yang merupakan permulaan dari proses erosi. Begitu tanah menjadi partikel halus, lalu menggelinding bersama aliran, sebagian akan tertinggal di atas tanah sedangkan bagian lainnya masuk ke sungai terbawa aliran menjadi angkutan sedimen (sumber : Oliviana Mokonio, dkk, 2013).

Proses sedimentasi dapat dibedakan menjadi dua bagian yaitu (sumber : Ahmad Nasirul Umam, 2015) :

- a) Proses sedimentasi secara geologis: Sedimentasi secara geologis merupakan proses erosi tanah yang berjalan secara normal, artinya proses pengendapan yang berlangsung masih dalam batas-batas yang diperkenankan atau dalam keseimbangan alam dari proses degradasi dan agradasi pada perataan kulit bumi akibat pelapukan.
- b). Proses sedimentasi yang dipercepat: Sedimentasi yang dipercepat merupakan proses terjadinya sedimentasi yang menyimpang dari proses secara geologi dan berlangsung dalam waktu yang cepat, bersifat merusak atau merugikan dan dapat mengganggu

keseimbangan alam atau kelestarian lingkungan hidup. Kejadian tersebut biasanya disebabkan oleh kegiatan manusia dalam mengolah tanah. Cara mengolah tanah yang salah dapat menyebabkan erosi tanah dan sedimentasi yang tinggi.

6. Angkutan Sedimen (*Transport Sediment*)

Akibat adanya aliran air timbul gaya-gaya yang bekerja pada material sedimen. Gaya-gaya tersebut mempunyai kecenderungan untuk menggerakkan atau menyeret butiran material sedimen. Pada waktu gaya-gaya yang bekerja pada butiran sedimen mencapai suatu harga tertentu, sehingga apabila sedikit gaya ditambah akan menyebabkan butiran sedimen bergerak, maka kondisi tersebut disebut kondisi kritis. Parameter aliran pada kondisi tersebut, seperti tegangan geser (τ_0), kecepatan aliran (U) juga mencapai kondisi kritis.

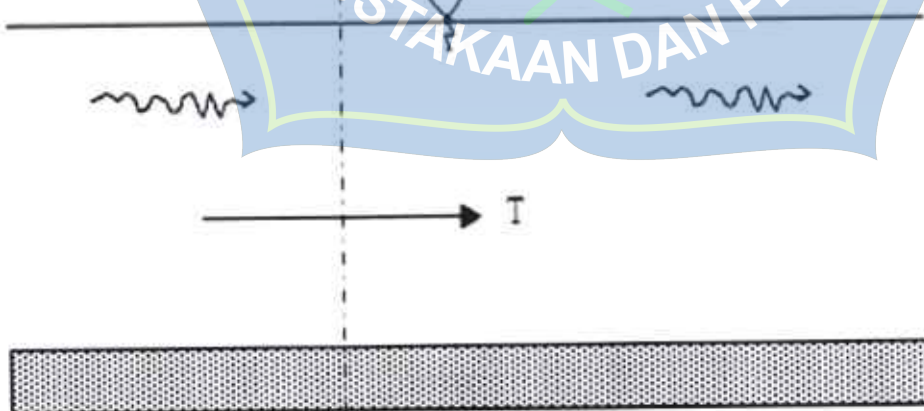
Proses pengangkutan sedimen (*sediment transport*) dapat diuraikan meliputi tiga proses sebagai berikut :

- a. Pukulan air hujan (*rainfall detachment*) terhadap bahan sedimen yang terdapat diatas tanah sebagai hasil dari erosi percikan (*splash erosion*) dapat menggerakkan partikel-partikel tanah tersebut dan akan terangkut bersama-sama limpasan permukaan (*overland flow*).
- b. Limpasan permukaan (*overland flow*) juga mengangkat bahan sedimen yang terdapat di permukaan tanah, selanjutnya dihanyutkan

masuk kedalam alur-alur (*rills*), dan seterusnya masuk kedalam selokan dan akhirnya ke sungai.

- c. Pengendapan sedimen, terjadi pada saat kecepatan aliran yang dapat mengangkat (*pick up velocity*) dan mengangkut bahan sedimen mencapai kecepatan pengendapan (*settling velocity*) yang di pengaruhi oleh besarnya partikel-partikel sedimen dan kecepatan aliran.

Menurut Mardjikoen (1987), angkutan sedimen merupakan perpindahan tempat bahan sedimen granular (non kohesif) oleh air yang sedang mengalir searah ariran. Banyaknya angkutan sedimen dapat ditentukan dari perpindahan tempat suatu sedimen yang melalui suatu tampang lintang selama periode waktu yang cukup. Lihat Gambar 2.



Gambar 1. Tampang panjang saluran dengan dasar granuler.
(Mardjikoen, 1987)

Laju sedimen yang terjadi biasa dalam kondisi seimbang (*equilibrium*). erosi (*erosion*), atau pengendapan (*deposition*), maka dapat ditentukan kuantitas sedimen yang terangkut dalam proses tersebut. Proses sedimentasi di dasar saluran dapat dilihat pada gambar 3.



Gambar 2. Angkutan sedimen pada tumpang panjang dengan dasar granuler. (Mardjikoen, 1987)

Tabel 2. Proses Sedimen Dasar (Mardjikoen, 1987)

| Perbandingan T | Proses yang terjadi | |
|----------------|---------------------|-----------|
| | Sedimen | Dasar |
| $T_1 = T_2$ | Seimbang | Stabil |
| $T_1 < T_2$ | Erosi | Degradasi |
| $T_1 > T_2$ | Pengendapan | Agradasi |

Kondisi yang dikatakan sebagai awal gerakan butiran adalah salah satu dari peristiwa berikut :

1. Satu butiran bergerak,

2. Beberapa (sedikit) butiran bergerak,
3. Butiran bersama-sama bergerak dari dasar, dan
4. Kecenderungan pengangkutan butiran yang ada sampai habis.

Tiga faktor yang berkaitan dengan awal gerak butiran sedimen yaitu:

1. Kecepatan aliran dan diameter/ukuran butiran,
2. Gaya angkat yang lebih besar dari gaya berat butiran, dan
3. Gaya geser kritis.

Partikel-partikel kasar yang bergerak sepanjang dasar sungai secara keseluruhan disebut dengan muatan sedimen dasar (*bed load*). Adanya muatan sedimen dasar ditunjukkan oleh gerakan partikel-partikel dasar sungai. Gerakan itu dapat bergeser, menggelinding, atau meloncat-loncat, akan tetapi tidak pernah lepas dari dasar sungai. Gerakan ini kadang-kadang dapat sampai jarak tertentu dengan ditandai bercampurnya butiran partikel tersebut bergerak ke arah hilir.

Menurut Asdak (2014), besarnya transport sedimen dalam aliran sungai merupakan fungsi dari suplai sedimen dan energi aliran sungai (*stream energy*). Ketika besarnya energi aliran sungai melampaui besarnya suplai sedimen, terjadilah degradasi sungai. Pada sisi lain, ketika suplai sedimen lebih besar dari pada energi aliran sungai, terjadilah agradasi sungai. Hasil penelitian di lapangan menunjukkan bahwa aliran sungai merupakan sistem yang bersifat dinamika sehingga aliran air sungai selalu bervariasi.

Menurut Asdak (2014), proses transportasi sedimen adalah begitu sedimen memasuki badan sungai, maka berlangsunglah transpor sedimen. Kecepatan transport merupakan fungsi dari kecepatan aliran sungai dan ukuran partikel sedimen. Partikel sedimen ukuran kecil seperti tanah liat dan debu dapat diangkut aliran air dalam bentuk terlarut (*wash load*). Sedang partikel yang lebih besar, antara lain, pasir cenderung bergerak dengan cara melompat. Partikel yang lebih besar dari pasir, misalnya kerikil (*gravel*) bergerak dengan cara merayap atau menggelinding di dasar sungai (*bed load*) seperti pada gambar berikut :



Gambar 3. Transpor sedimen dalam airan air sungai (Asdak, 2014)

Besarnya ukuran sedimen yang terangkut aliran air ditentukan oleh interaksi faktor-faktor sebagai berikut : ukuran sedimen yang masuk kedalam sungai/saluran air, karakteristik saluran, debit, dan karakteristik fisik partikel sedimen. Besarnya sedimen yang masuk ke sungai dan besarnya debit ditentukan oleh faktor iklim, topografi, geologi, vegetasi, dan cara bercocok tanam di daerah tangkapan air yang merupakan asal datangnya sedimen. Sedang karakteristik sungai yang penting, terutama

bentuk morfologi sungai, tingkat kekasaran dasar sungai, dan kemiringan sungai. Interaksi dan masing-masing faktor tersebut di atas akan menentukan jumlah dan tipe sedimen serta kecepatan transport sedimen.

Berdasarkan pada jenis sedimen dan ukuran partikel-partikel tanah serta komposisi mineral dari bahan induk yang menyusunnya, dikenal bermacam jenis sedimen seperti pasir, liat, dan lain sebagainya. Tergantung dari ukuran partikelnya, sedimen ditemukan terlarut dalam sungai atau disebut muatan sedimen (*suspended sediment*) dan merayap di dasar sungai atau dikenal sebagai sedimen dasar (*bed load*).

Menurut ukurannya, sedimen dibedakan menjadi (Asdak, 2014) :

1. Liat ukuran partikelnya $< 0,0039 \text{ mm}$
2. Debu ukuran partikelnya $0,0039\text{-}0,0625 \text{ mm}$
3. Pasir ukuran partikelnya $0,0625\text{-}2,0 \text{ mm}$
4. Pasir besar ukuran partikelnya $2,0\text{-}64,0 \text{ mm}$

Proses pengangkutan sedimen (*sediment transport*) dapat diuraikan meliputi tiga proses sebagai berikut :

- a) Pukulan air hujan (*rainfall detachment*) terhadap bahan sedimen yang terdapat diatas tanah sebagai hasil dari erosi percikan (*splash erosion*) dapat menggerakkan partikel-partikel tanah tersebut dan akan terangkut bersama-sama limpasan permukaan (*overland flow*).
- b) Limpasan permukaan (*overland flow*) juga mengangkat bahan sedimen yang terdapat di permukaan tanah, selanjutnya dihanyutkan

masuk kedalam alur-alur (*rills*), dan seterusnya masuk kedalam selokan dan akhirnya ke sungai.

- c) Pengendapan sedimen, terjadi pada saat kecepatan aliran yang dapat mengangkat (*pick up velocity*) dan mengangkut bahan sedimen mencapai kecepatan pengendapan (*settling velocity*) yang dipengaruhi oleh besarnya partikel-partikel sedimen dan kecepatan aliran.

Menerut Mulyanto (Pangestu 2013), ada dua kelompok cara mengangkut sedimen dari batuan induknya ke tempat pengendapannya, yakni suspensi (*suspended load*) dan (*bed load transport*). Di bawah ini diterangkan secara garis besar keduanya :

a) Suspensi

Dalam teori segala ukuran butir sedimen dapat dibawa dalam suspensi, jika arus cukup kuat. Akan tetapi di alam, kenyataannya hanya material halus saja yang dapat diangkut suspensi. Sifat sedimen hasil pengendapan suspensi ini adalah mengandung prosentase masa dasar yang tinggi sehingga butiran tampak mengambang dalam masa dasar dan umumnya disertai memilahan butir yang buruk. Cirilain dari jenis ini adalah butir sedimen yang diangkut tidak pernah menyentuh dasar aliran.

b) Bed load transport

Berdasarkan tipe gerakan media pembawanya, sedimen dapat dibagi menjadi:

- 1) Endapan arus traksi

- 2) Endapan arus pekat (*density current*) dan
- 3) Endapan suspensi

7. Macam – Macam Angkutan Sedimen

Menurut Asdak (2014), pembagian angkutan sedimen menurut sumber asalnya dapat dibedakan menjadi:

- 1) Muatan material dasar (*bed material transport*), dimana sumber asal material yaitu dari dasar. Angkutan ini ditentukan oleh keadaan dasar aliran angkutan bed material dapat berubah angkutan dasar maupun angkutan melayang tergantung dari jenis, ukuran dan keadaan materialnya.
- 2) Muatan bilas (*wash load*), angkutan partikel-partikel halus berupa lempung (*silt*) dan debu (*dust*) yang terbawah oleh aliran sungai. Partikel-partikel ini akan terbawah oleh aliran sungai sampai ke laut atau dapat juga terendapkan pada aliran tenang atau pada aliran yang tergenang. Sumber utama dari muatan bilas adalah hasil pelapukan lapisan atas batuan atau tanah daerah pengaliran sungai, hasil pelapukan ini akan terbawah oleh aliran permukaan atau angin kedalam sungai.

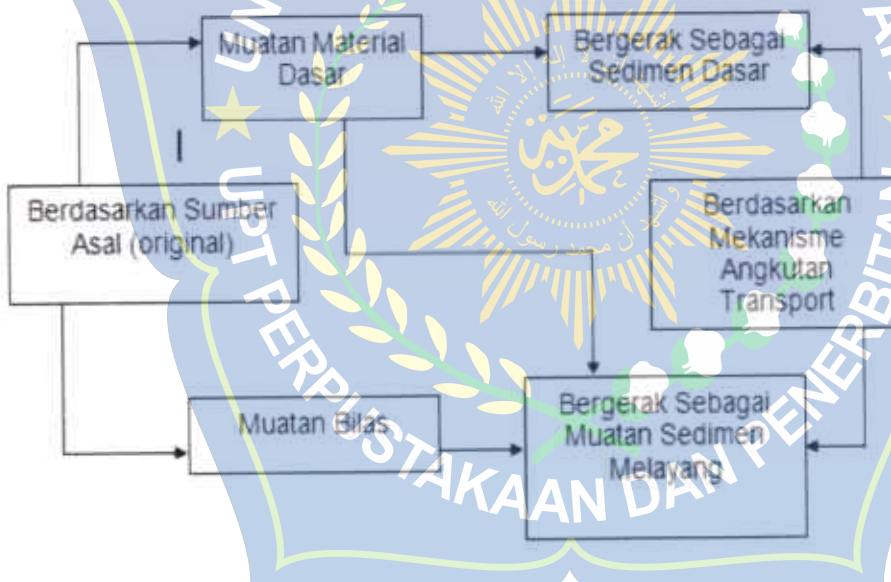
Sedangkan menurut mekanisme pengangkutan dapat dibedakan menjadi:

- 1) Muatan sedimen dasar (*bed load*), dimana gerakan dan perpindahan tanahnya selalu pada dasar saluran atau aliran dengan cara melompat (*jatuh*), berguling dan menggelinding. Akan tetapi partikel angkutan

dasar ini lambat laun kemungkinan dapat berubah diri menjadi angkutan melayang akibat percobaan-percobaan selama dalam pemindahannya.

- 2) Muatan sedimen melayang (*suspended load*), dimana perpindahan partikel-partikel tanahnya begerak melayang-layang dalam air dan terbawahi aliran air.

Secara skematis angkutan sedimen dapat digambarkan sebagai berikut :



Gambar 4. Skema angkutan Sedimen (Soewarno, 1991)

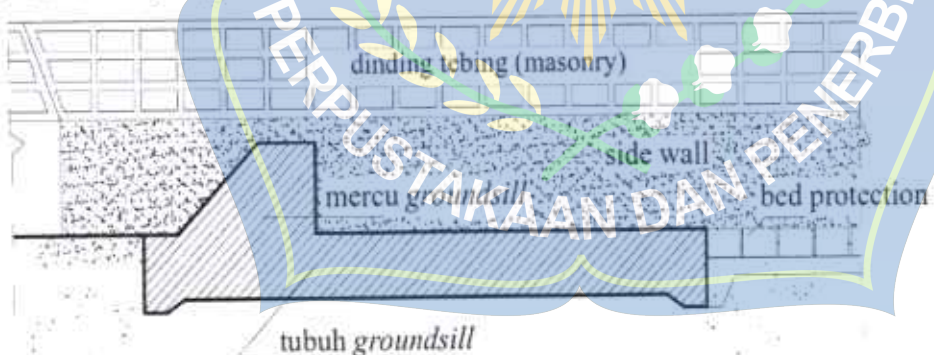
D. *Groundsill*

Groundsill merupakan salah satu bentuk perlindungan dasar sungai hasil pengembangan dari check dam yang dilakukan oleh tim perencanaan teknik Dinas PSDA Provinsi Jawa Tengah yang berfungsi mengurangi gerusan (Dinas PSDA, 1996) dan juga melindungi bangunan air

agar tidak mengakibatkan runtuhnya bangunan dalam hal ini adalah *abutmen* talang.

Groundsill merupakan suatu struktur ambang melintang yang dibangun pada alur sungai yang bertujuan untuk mengurangi kecepatan arus dan meningkatkan laju pengendapan di bagian hulu struktur. Hal ini dapat menjaga agar elevasi lapisan endapan tidak mengalami penurunan, sehingga struktur bangunan yang berada di bagian hulu sungai seperti jembatan tetap dalam keadaan aman meskipun terjadi penambangan pasir pada sungai.

Sedangkan bendung berfungsi dan bertujuan sebagai peninggi muka air sehingga air dapat disadap dan dialirkan secara gravitasi ke daerah yang membutuhkan.



Gambar 5. Bagian-bagian *Groundsill* menurut Dirjen Pengairan DPU, 1986

Secara umum terdapat dua tipe umum *groundsill* yaitu:

1. *Groundsill* datar (*Bed gingle work*)

Groundsill datar hampir tidak mempunyai terjunan dan elevasi mercunya hampir sama dengan permukaan dasar sungai dan berfungsi untuk menjaga agar permukaan dasar sungai tidak turun lagi.



Gambar 6. Groundsill datar (*Bed gingle work*) menurut Dirjen Pengairan DPU, 1986

2. Groundsill Pelimpah (*Head work*)

Groundsill pelimpah memiliki terjunan sehingga elevasi permukaan dasar sungai disebelah hulu *groundsill* lebih tinggi daripada elevasi permukaan dasar sungai sebelah hilirnya dan tujuannya adalah untuk melandaikan kemiringan dasar sungai.

Gambar 7. Groundsill Pelimpah (*Head work*) menurut Dirjen Pengairan DPU, 1986

Groundsill pelimpah haruslah direncanakan agar secara hidraulis dapat berfungsi dengan baik antara lain denahnya ditempatkan

sedemikian rupa agar porosnya tegak arah arus sungai, khususnya arah arus banjir, denah tersebut yaitu terdiri dari :

- a. Denah tipe tegak lurus, umumnya sudah banyak dibangun pada sungai-sungai guna mencegah penurunan dasar sungai.
- b. Denah tipe diagonal, tipe ini sangat jarang dibuat.
- c. Denah tipe *polygonal*.
- d. Denah tipe lengkung

Denah tipe *polygonal* dan denah lengkung hanya untuk kondisi yang khusus saja karena berbagai kelemahannya antara lain *ground sill* menjadi lebih panjang dan limpasan air terpusat di tengah serta harganya pun mahal.

D. Abutment (penyangga tebing atau pilar bangunan)

Menurut Hanwar (1999), abutmen adalah bangunan bawah jembatan yang terletak pada kedua ujung pilar – pilar jembatan, berfungsi sebagai pemikul seluruh beban hidup (Angin, kendaraan, dll) dan mati (beban gelagar, dll) pada jembatan. Battered pile di gunakan untuk memberikan tekanan terhadap kekuatan horizontal

Pengaruh bentuk *abutment* berdasarkan potongan horizontal dari pilar telah diteliti oleh Laursen dan Toch (1956), Neil (1973) dan Dietz (1972). Bentuk potongan melintang *abutment* juga dapat dijadikan dasar untuk menentukan faktor koreksi.

Bentuk *abutment* akan berpengaruh pada kedalaman gerusan lokal, pilar jembatan yang tidak bulat akan memberikan sudut yang lebih

tajam terhadap aliran datang mengurangi besarnya kedalaman gerusan. Hal ini juga tergantung pada panjang dan lebar (l/b) masing-masing bentuk mempunyai koefisien faktor bentuk K_s menurut Dietz (1971) dalam Breuse dan Raudkivi (1991)



BAB III

METODE PENELITIAN

A. Tempat dan Waktu Penelitian

Penelitian dilaksanakan di Laboratorium Riset Teknik Sipil Universitas Hasanuddin, Makassar.

B. Jenis Penelitian dan Sumber Data

Penelitian ini digunakan jenis penelitian eksperimental, untuk analisis penempatan groundsill sebagai abutmen perlindungan talang irigasi.

Pada penelitian ini peneliti menggunakan sumber data, yaitu data primer yang diperoleh langsung dari pengamatan di Laboratorium.

C. Alat dan Bahan

Pada percobaan analisis penempatan groundsill sebagai perlindungan abutment jembatan yang dilakukan dalam uji model laboratorium dengan menggunakan peralatan-peralatan dan bahan sebagai berikut:

1) Alat

Flume, dengan panjang saluran 4 m, lebar 70 cm, tinggi 50 cm, dan dengan kemiringan 0.005 cm yang telah dibentuk kontur dasar sungai didalamnya.



Gambar 8. Desain Flume

- a. Bak penampungan air
 - b. Pompa air
 - c. Stop kran
 - d. Current meter untuk mengukur kecepatan aliran
 - e. Point Gauge untuk mengukur ketinggian muka air dan sedimen
 - f. Stopwatch untuk menentukan waktu pada saat running
 - g. Handycam digunakan untuk merekam kegiatan penelitian
 - h. Kamera digital digunakan untuk merekam (dalam bentuk foto) momen-momen yang penting dalam penelitian
 - i. Komputer, printer dan scanner digunakan untuk membantu edit dan analisa data
- 2) Bahan
- a. Pasir
 - b. Air bersih

D. Perancangan model

1. Penentuan skala model

Penentuan skala model geometri disesuaikan dengan ukuran flume di Laboratorium yang dibandingkan dengan ukuran prototip. Seperti yang telah dijelaskan sebelumnya bahwa penelitian ini menggunakan model tak terdistorsi (*undistorted models*) yang bentuk geometri antara model dan prototipe adalah sama tetapi berbeda ukurannya dengan suatu perbandingan ukuran dan skala tertentu.

Pada penelitian ini diasumsikan ketinggian bangunan prototip yaitu 15 m atau 1500 cm, sedangkan ketinggian model rencana yang akan dibuat yaitu 0,15 m atau 15 cm. Maka skala tinggi yang akan digunakan yaitu :

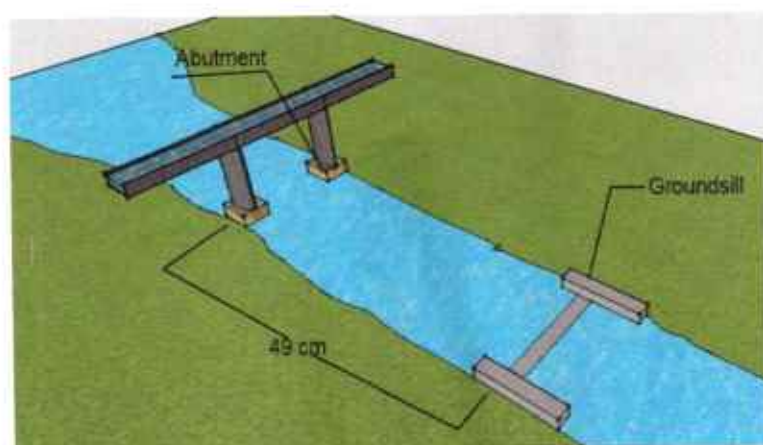
$$n_h = \frac{H_p}{H_m} = \frac{1500}{15} = 100 \quad (8)$$

Dimana :

n_h = skala tinggi

H_p = tinggi pada prototipe

H_m = tinggi pada model



Gambar 9. Ilustrasi Penempatan Bangunan Groundsill (L) terhadap Abutment

2 Variasi penelitian

Variasi pada penelitian ini dapat ditunjukkan pada Tabel 1, sehingga diperoleh jumlah *running* pada penelitian sebanyak 56 kali.

Tabel 3. Variasi penelitian

| No | Variasi | Jumlah Variasi | Variasi |
|----|---------------|--|----------------------------------|
| 1 | Variasi jarak | L | 49 cm |
| 2 | Debit aliran | Q ₁ , Q ₂ , Q ₃ | |
| 3 | Waktu | t ₁ , t ₂ , t ₃ | 20 menit 30 menit 40 menit |

E. Variabel yang di Teliti

Variabel bebas Sugiyono (2009) menjelaskan bahwa variabel bebas merupakan variabel yang mempengaruhi atau yang menjadi sebab-perubahannya atau timbulnya variabel dependen.

Variabel bebas

- a) Kecepatan aliran (v)
- b) Flum
- c) Waktu (t)
- d) Ketinggian sedimen (h)

Variabel terikat ialah faktor-faktor yang diamati dan diukur dalam rangka menentukan pengaruh variabel bebas, di dalamnya itu termasuk faktor yang muncul, atau tidak muncul, atau berubah sesuai dengan yang diperkenalkan oleh peneliti.

Variabel terikat

- a) Debit (Q)
- b) Suhu (T)

F. Pelaksanaan Simulasi

Pelaksanaan simulasi dimulai dengan mempersiapkan alat-alat yang akan digunakan. Menyalakan pompa, lalu melakukan kalibrasi debit untuk menentukan debit rencana pada penelitian.

Menyiapkan model *ground sill* pada *flume* jarak yang ditentukan yaitu ($L = 49$ cm) dari *abutment* jembatan. Menempatkan material angkutan di dalam *flume* dan dibuat agar jenuh terlebih dahulu, setelah itu mengalirkan aliran air pada *flume* sesuai waktu yang telah ditentukan.

Setelah waktu yang telah ditentukan selesai, mematikan pompa agar aliran air di *flume* berhenti. Mengamati angkutan sedimen kemudian melakukan pengambilan data tinggi endapan sedimen pada setiap *section* dengan menggunakan *point gauge*. Pengambilan data tinggi dengan mencatat data-data tinggi XYZ untuk mendapatkan data konturnya.

Melanjutkan *running* untuk beberapa variasi debit, jarak, dan variasi kondisi yang telah ditentukan.

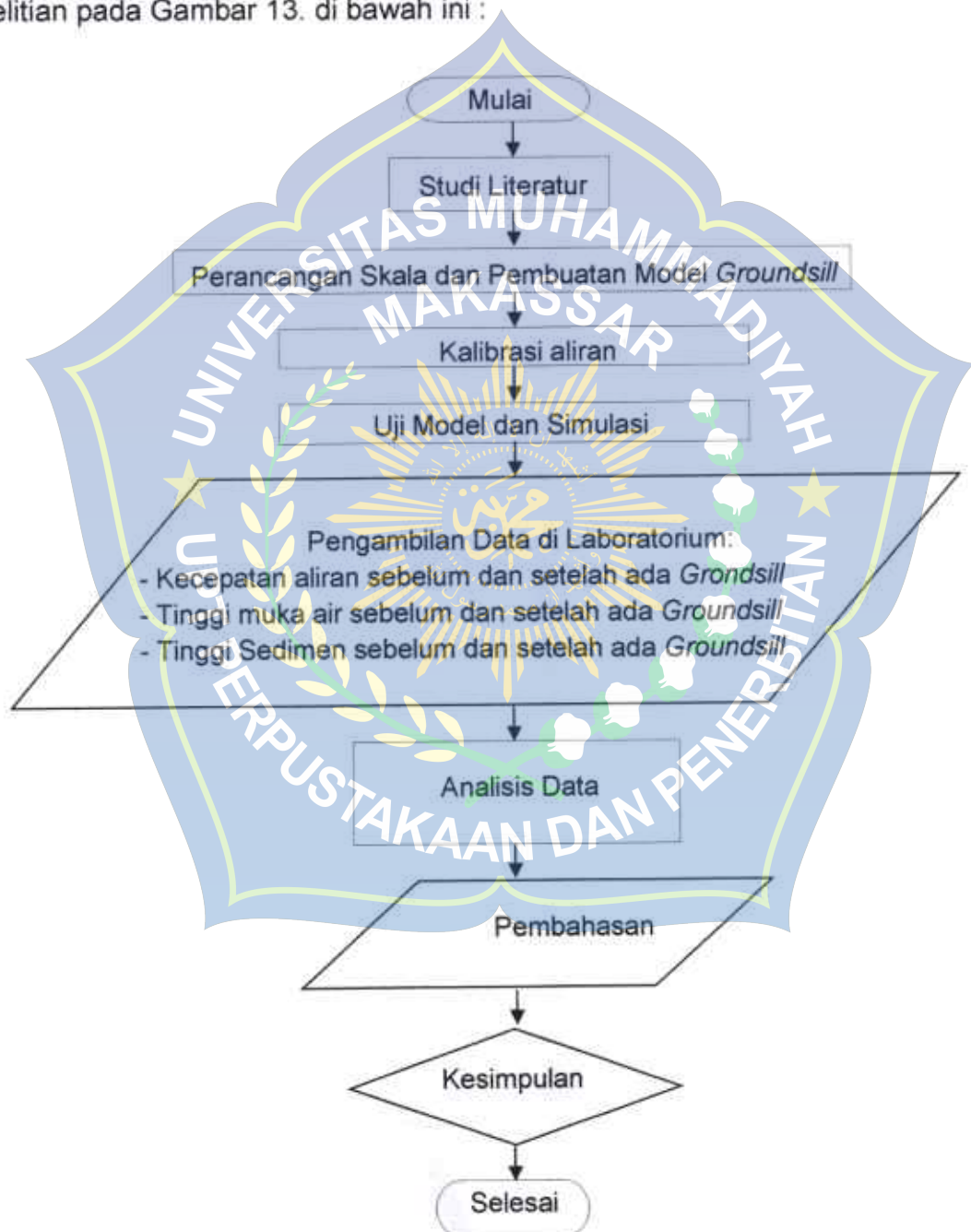
G. Prosedur pengambilan data

Berdasarkan hasil simulasi, maka prosedur dalam pengambilan data adalah sebagai berikut:

1. Melakukan kalibrasi debit laboratorium dan menentukan debit rencana,
2. Menyiapkan model *abutment* dan *groundsill*
3. Menempatkan posisi *groundsill* yang telah ditentukan
4. Menempatkan material angkutan
5. Material angkutan yang telah ditempatkan di dalam *flume* dibuat agar jenuh terlebih dahulu
6. Apabila material angkutan telah jenuh, setelah itu mengalirkan aliran air pada *flume* sesuai debit rencana $0,098 \text{ m}^3/\text{detik}$, $0,152 \text{ m}^3/\text{detik}$ dan $0,193 \text{ m}^3/\text{detik}$.
7. Mematikan pompa agar aliran air di *flume* berhenti,
8. Melakukan pengambilan data tinggi material angkutan pada setiap *section*
9. Mengulang prosedur 2 – 7 untuk berbagai variasi lainnya yang telah ditentukan.

H. Flow chart penelitian

Metodologi alur Penelitian dapat di lihat pada diagram alur penelitian pada Gambar 13. di bawah ini :



Gambar 10. Bagan Alir (Flow Chart)

BAB IV

HASIL DAN PEMBAHASAN

A. Analisis Karakteristik Aliran

1. Perhitungan Bilangan Froude

Untuk mengetahui dan menetapkan jenis aliran yang terjadi dalam proses pengaliran dalam saluran dapat dijabarkan berdasarkan dengan bilangan Froude (Fr).

Hasil perhitungan bilangan Froude pada berbagai debit dan waktu yang digunakan dalam penelitian dapat dilihat pada tabel berikut :

Tabel 4. Hasil Perhitungan bilangan Froude sebelum ada groundsill

| No patok | t | Q | V (m/dt) | H (m) | Fr | ket |
|----------|----|----------|----------|--------|--------|-----------|
| L0 | 20 | Q1=0,098 | 0,2937 | 0,0907 | 0,3114 | subkritis |
| L1 | | | 0,2870 | 0,0893 | 0,3067 | subkritis |
| L2 | | | 0,2850 | 0,0853 | 0,3115 | subkritis |
| L3 | | | 0,2834 | 0,0838 | 0,3126 | subkritis |
| L4 | | | 0,2814 | 0,0851 | 0,3080 | subkritis |
| L5 | | | 0,2807 | 0,0831 | 0,3110 | subkritis |
| L6 | | | 0,2780 | 0,0830 | 0,3081 | subkritis |
| L7 | | | 0,2766 | 0,0840 | 0,3048 | subkritis |
| L8 | | | 0,2746 | 0,0836 | 0,3032 | subkritis |
| L9 | | | 0,2725 | 0,0837 | 0,3008 | subkritis |
| L10 | | | 0,2719 | 0,0820 | 0,3032 | subkritis |
| L11 | | | 0,2710 | 0,0815 | 0,3031 | subkritis |
| L0 | 20 | Q2=0,152 | 0,3423 | 0,0912 | 0,3618 | subkritis |
| L1 | | | 0,3339 | 0,0902 | 0,3549 | subkritis |
| L2 | | | 0,3329 | 0,0858 | 0,3629 | subkritis |
| L3 | | | 0,3285 | 0,0850 | 0,3598 | subkritis |
| L4 | | | 0,3275 | 0,0865 | 0,3555 | subkritis |
| L5 | | | 0,3210 | 0,0835 | 0,3547 | subkritis |

Lanjutan tabel

| No patok | t | Q | V (m/dt) | H (m) | Fr | ket |
|----------|----|----------|----------|--------|--------|-----------|
| L6 | 20 | Q2=0,152 | 0,3205 | 0,0843 | 0,3524 | subkritis |
| L7 | | | 0,3198 | 0,0845 | 0,3513 | subkritis |
| L8 | | | 0,3178 | 0,0855 | 0,3470 | subkritis |
| L9 | | | 0,3160 | 0,0857 | 0,3447 | subkritis |
| L10 | | | 0,3129 | 0,0815 | 0,3499 | subkritis |
| L11 | | | 0,3110 | 0,0810 | 0,3489 | subkritis |
| L0 | 20 | Q3=0,193 | 0,3465 | 0,0950 | 0,3589 | subkritis |
| L1 | | | 0,3346 | 0,0941 | 0,3483 | subkritis |
| L2 | | | 0,3277 | 0,0899 | 0,3489 | subkritis |
| L3 | | | 0,3268 | 0,0894 | 0,3490 | subkritis |
| L4 | | | 0,3246 | 0,0884 | 0,3486 | subkritis |
| L5 | | | 0,3238 | 0,0877 | 0,3491 | subkritis |
| L6 | | | 0,3165 | 0,0870 | 0,3426 | subkritis |
| L7 | | | 0,3133 | 0,0864 | 0,3403 | subkritis |
| L8 | | | 0,3125 | 0,0854 | 0,3414 | subkritis |
| L9 | | | 0,3110 | 0,0850 | 0,3406 | subkritis |
| L10 | | | 0,3104 | 0,0866 | 0,3368 | subkritis |
| L11 | | | 0,3100 | 0,0860 | 0,3375 | subkritis |

Sumber: Hasil Perhitungan

Dari hasil analisa untuk bilangan Froude dapat diketahui bahwa kecepatan aliran berbanding lurus dengan bilangan Froude, semakin cepat kecepatan alirannya maka semakin besar pula bilangan Froudenya hal ini terlihat pada grafik diatas.

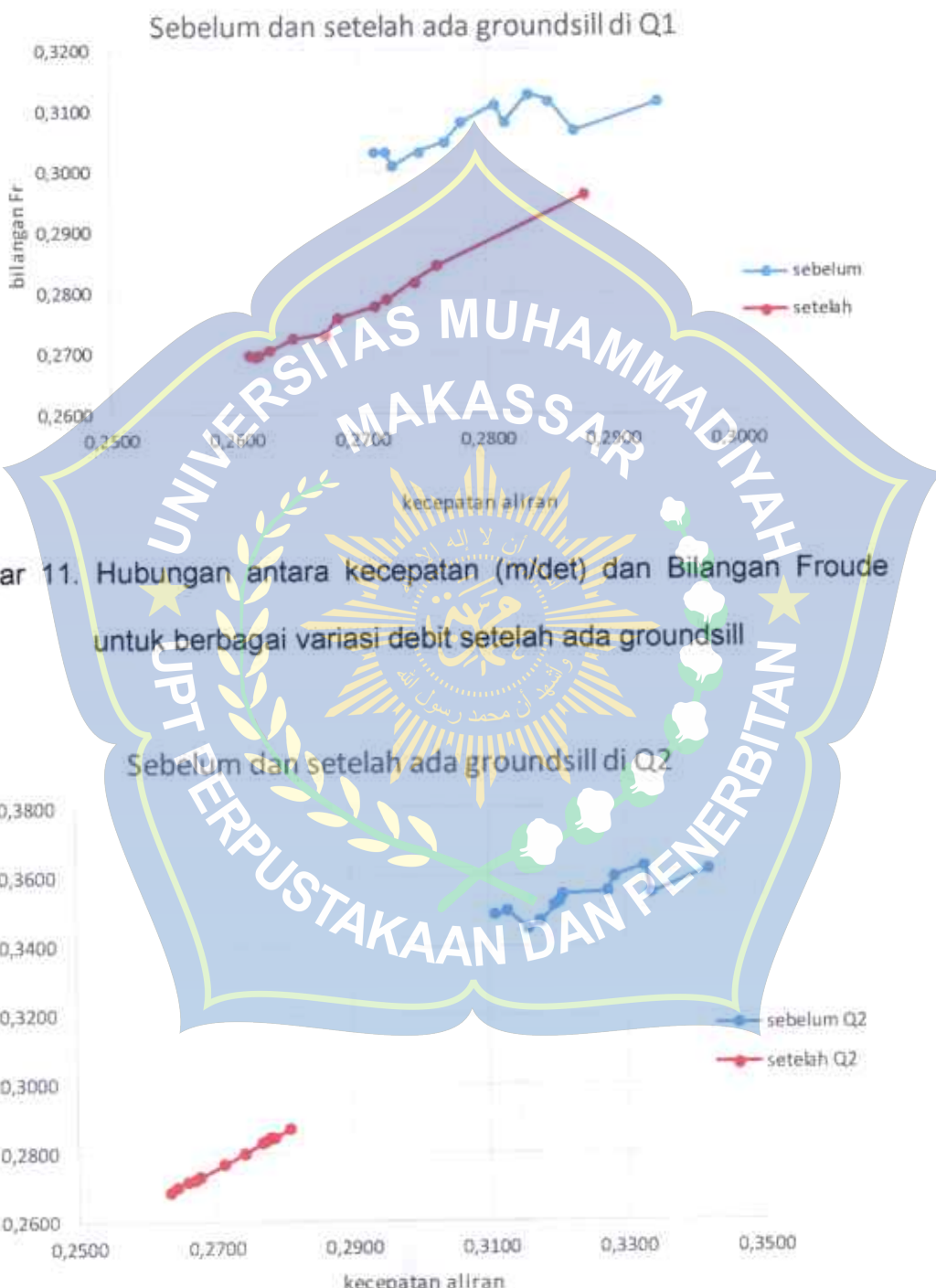
Tabel 5. Hasil Perhitungan bilangan Froude setelah ada groundsill

| No patok | t | Q | V | H(rata") | fr | ket |
|----------|----|----------|--------|----------|--------|-----------|
| L0 | 20 | Q1=0,098 | 0,2878 | 0,0963 | 0,2961 | subkritis |
| L1 | | | 0,2760 | 0,0960 | 0,2844 | subkritis |
| L2 | | | 0,2742 | 0,0965 | 0,2818 | subkritis |
| L3 | | | 0,2720 | 0,0970 | 0,2788 | subkritis |
| L4 | | | 0,2710 | 0,0970 | 0,2778 | subkritis |
| L5 | | | 0,2680 | 0,0962 | 0,2759 | subkritis |
| L6 | | | 0,2670 | 0,0974 | 0,2731 | subkritis |

Lanjutan tabel

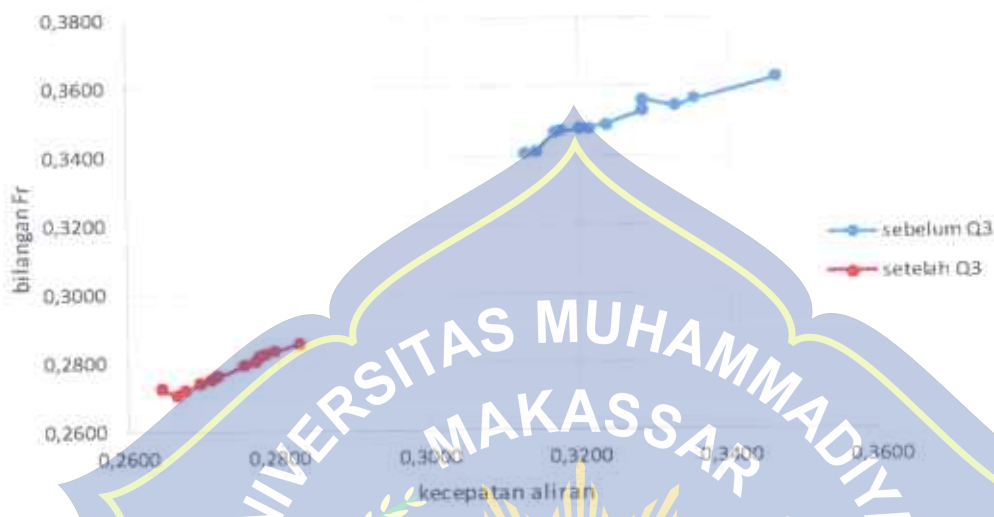
| No patok | t | Q | V | H(rata") | fr | ket |
|----------|----|----------|--------|----------|--------|-----------|
| L7 | 20 | Q1=0,098 | 0,2645 | 0,0960 | 0,2726 | subkritis |
| L8 | | | 0,2626 | 0,0960 | 0,2706 | subkritis |
| L9 | | | 0,2618 | 0,0960 | 0,2698 | subkritis |
| L10 | | | 0,2615 | 0,0959 | 0,2696 | subkritis |
| L11 | | | 0,2609 | 0,0954 | 0,2697 | subkritis |
| L0 | 20 | Q2=0,152 | 0,2809 | 0,0977 | 0,2869 | subkritis |
| L1 | | | 0,2788 | 0,0978 | 0,2847 | subkritis |
| L2 | | | 0,2783 | 0,0976 | 0,2845 | subkritis |
| L3 | | | 0,2773 | 0,0977 | 0,2832 | subkritis |
| L4 | | | 0,2769 | 0,0978 | 0,2827 | subkritis |
| L5 | | | 0,2744 | 0,0980 | 0,2799 | subkritis |
| L6 | | | 0,2713 | 0,0980 | 0,2767 | subkritis |
| L7 | | | 0,2677 | 0,0980 | 0,2730 | subkritis |
| L8 | | | 0,2670 | 0,0980 | 0,2723 | subkritis |
| L9 | | | 0,2660 | 0,0979 | 0,2714 | subkritis |
| L10 | | | 0,2644 | 0,0975 | 0,2703 | subkritis |
| L11 | | | 0,2636 | 0,0980 | 0,2688 | subkritis |
| L0 | 20 | Q3=0,193 | 0,2829 | 0,1000 | 0,2857 | subkritis |
| L1 | | | 0,2796 | 0,0992 | 0,2834 | subkritis |
| L2 | | | 0,2783 | 0,0988 | 0,2826 | subkritis |
| L3 | | | 0,2776 | 0,0988 | 0,2819 | subkritis |
| L4 | | | 0,2770 | 0,0996 | 0,2802 | subkritis |
| L5 | | | 0,2755 | 0,0992 | 0,2793 | subkritis |
| L6 | | | 0,2720 | 0,0989 | 0,2761 | subkritis |
| L7 | | | 0,2711 | 0,0988 | 0,2754 | subkritis |
| L8 | | | 0,2698 | 0,0988 | 0,2740 | subkritis |
| L9 | | | 0,2676 | 0,0987 | 0,2720 | subkritis |
| L10 | | | 0,2666 | 0,0988 | 0,2708 | subkritis |
| L11 | | | 0,2646 | 0,0960 | 0,2727 | subkritis |

Sumber : Hasil Perhitungan



Gambar 12. Hubungan antara kecepatan (m/det) dan Bilangan Froude untuk berbagai variasi debit setelah ada groundsill

Sebelum dan setelah ada groundsill di Q3



Gambar 13. Hubungan antara kecepatan (m/det) dan Bilangan Froude untuk berbagai variasi debit setelah ada groundsill

Dari hasil analisa untuk bilangan Froude dapat diketahui bahwa kecepatan aliran berbanding lurus dengan bilangan Froude, semakin besar kecepatan alirannya maka semakin besar pula angka Froudenya hal ini terlihat pada grafik diatas.

2. Perhitungan Reynold Number (Re)

Keadaan atau perilaku aliran pada saluran terbuka pada dasarnya ditentukan oleh pengaruh kekentalan dan gravitasi. Pengaruh kekentalan (viscosity) aliran dapat bersifat laminar, turbulen dan peraliran yang tergantung pada pengaruh kekentalan relatif dapat dinyatakan dengan bilangan Reynold yang didefinisikan sebagai berikut:

Tabel 6. Viskositas kinematis sebagai hubungan fungsi suhu

| T | 0 | 5 | 10 | 15 | 20 | 25 | 30 | 35 | 40 | (°) |
|-------|------|------|------|------|------|-----|-----|------|------|----------------------------------|
| μ | 1,75 | 1,52 | 1,31 | 1,14 | 1,01 | 0,9 | 0,8 | 0,72 | 0,65 | $10^{-6} \text{ m}^2/\text{det}$ |

Sumber : (Mardjikoen, 1987)

Tabel 7. Perhitungan Bilangan Reynold (Re) sebelum ada groundsill

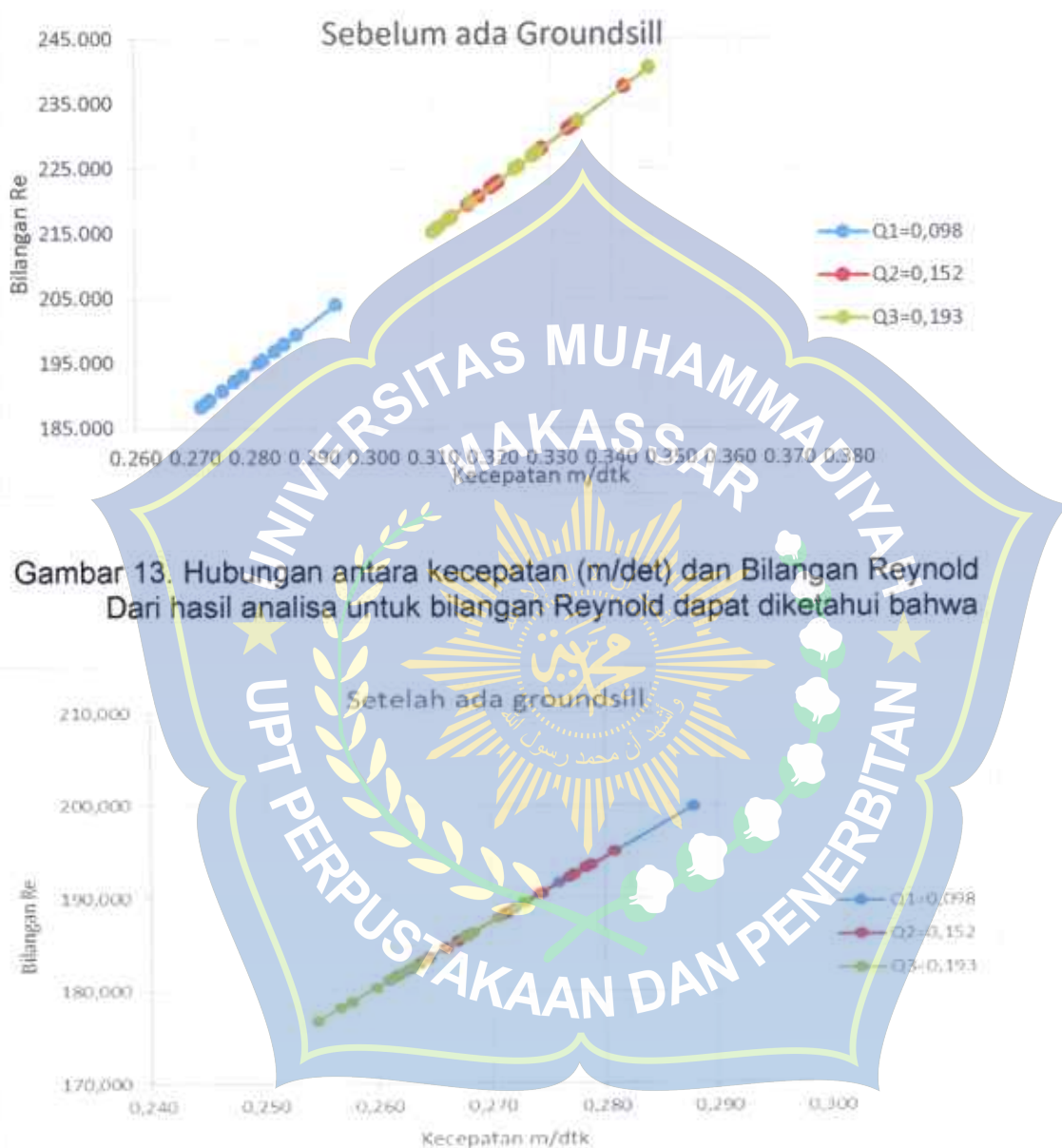
| No patok | t | Q | V (m/dt) | H (m) | μ | L | Re | ket |
|----------|----|------------|----------|--------|----------|-------|---------|---------|
| L0 | 20 | $Q1=0,098$ | 0,2937 | 0,0907 | 0,000009 | 0,006 | 203,956 | Laminer |
| L1 | | | 0,2870 | 0,0893 | | | 199,306 | Laminer |
| L2 | | | 0,2850 | 0,0853 | | | 197,917 | Laminer |
| L3 | | | 0,2834 | 0,0838 | | | 196,806 | Laminer |
| L4 | | | 0,2814 | 0,0851 | | | 195,417 | Laminer |
| L5 | | | 0,2807 | 0,0831 | | | 194,931 | Laminer |
| L6 | | | 0,2780 | 0,0830 | | | 193,056 | Laminer |
| L7 | | | 0,2766 | 0,0840 | | | 192,083 | Laminer |
| L8 | | | 0,2746 | 0,0836 | | | 190,694 | Laminer |
| L9 | | | 0,2725 | 0,0837 | | | 189,236 | Laminer |
| L10 | | | 0,2719 | 0,0820 | | | 188,819 | Laminer |
| L11 | | | 0,2710 | 0,0815 | | | 188,194 | Laminer |
| L0 | 30 | $Q2=0,152$ | 0,3423 | 0,0912 | 0,000009 | 0,006 | 237,700 | Laminer |
| L1 | | | 0,3339 | 0,0902 | | | 231,867 | Laminer |
| L2 | | | 0,3329 | 0,0858 | | | 231,198 | Laminer |
| L3 | | | 0,3285 | 0,0850 | | | 228,116 | Laminer |
| L4 | | | 0,3275 | 0,0865 | | | 227,431 | Laminer |
| L5 | | | 0,3210 | 0,0835 | | | 222,917 | Laminer |
| L6 | | | 0,3205 | 0,0843 | | | 222,569 | Laminer |
| L7 | | | 0,3198 | 0,0845 | | | 222,083 | Laminer |
| L8 | | | 0,3178 | 0,0855 | | | 220,694 | Laminer |
| L9 | | | 0,3160 | 0,0857 | | | 219,444 | Laminer |
| L10 | | | 0,3129 | 0,0815 | | | 217,292 | Laminer |
| L11 | | | 0,3110 | 0,0810 | | | 215,972 | Laminer |
| L0 | 40 | $Q3=0,193$ | 0,3465 | 0,0930 | 0,000009 | 0,006 | 240,625 | Laminer |
| L1 | | | 0,3356 | 0,0903 | | | 233,056 | Laminer |
| L2 | | | 0,3330 | 0,0899 | | | 231,250 | Laminer |
| L3 | | | 0,3288 | 0,0868 | | | 228,333 | Laminer |
| L4 | | | 0,3286 | 0,0884 | | | 228,194 | Laminer |
| L5 | | | 0,3238 | 0,0877 | | | 224,861 | Laminer |
| L6 | | | 0,3215 | 0,0870 | | | 223,264 | Laminer |
| L7 | | | 0,3203 | 0,0864 | | | 222,431 | Laminer |
| L8 | | | 0,3179 | 0,0854 | | | 220,764 | Laminer |
| L9 | | | 0,3170 | 0,0850 | | | 220,139 | Laminer |
| L10 | | | 0,3144 | 0,0866 | | | 218,333 | Laminer |
| L11 | | | 0,3130 | 0,0860 | | | 217,361 | Laminer |

Sumber : Hasil Perhitungan

Tabel 8. Perhitungan Bilangan Reynold (Re) setelah ada groundsill

| No patok | t | Q | V | H(rata") | μ | L | Re | ket |
|----------|----|----------|--------|----------|----------|-------|---------|---------|
| L0 | 20 | Q1=0,098 | 0,2878 | 0,0963 | 0,000009 | 0,006 | 199,861 | laminer |
| L1 | | | 0,2760 | 0,0960 | | | 191,667 | laminer |
| L2 | | | 0,2742 | 0,0965 | | | 190,411 | laminer |
| L3 | | | 0,2720 | 0,0970 | | | 188,889 | laminer |
| L4 | | | 0,2710 | 0,0970 | | | 188,194 | laminer |
| L5 | | | 0,2680 | 0,0962 | | | 186,111 | laminer |
| L6 | | | 0,2670 | 0,0974 | | | 185,417 | laminer |
| L7 | | | 0,2645 | 0,0960 | | | 183,681 | laminer |
| L8 | | | 0,2626 | 0,0960 | | | 182,361 | laminer |
| L9 | | | 0,2618 | 0,0960 | | | 181,806 | laminer |
| L10 | | | 0,2615 | 0,0959 | | | 181,597 | laminer |
| L11 | | | 0,2609 | 0,0954 | | | 181,181 | laminer |
| L0 | 30 | Q2=0,152 | 0,2809 | 0,0977 | 0,000009 | 0,006 | 195,044 | laminer |
| L1 | | | 0,2788 | 0,0978 | | | 193,611 | laminer |
| L2 | | | 0,2783 | 0,0976 | | | 193,254 | laminer |
| L3 | | | 0,2773 | 0,0977 | | | 192,569 | laminer |
| L4 | | | 0,2769 | 0,0978 | | | 192,292 | laminer |
| L5 | | | 0,2744 | 0,0980 | | | 190,559 | laminer |
| L6 | | | 0,2713 | 0,0980 | | | 188,410 | laminer |
| L7 | | | 0,2677 | 0,0980 | | | 185,903 | laminer |
| L8 | | | 0,2670 | 0,0980 | | | 185,417 | laminer |
| L9 | | | 0,2660 | 0,0979 | | | 184,722 | laminer |
| L10 | | | 0,2644 | 0,0975 | | | 183,611 | laminer |
| L11 | | | 0,2636 | 0,0980 | | | 183,056 | laminer |
| L0 | 40 | Q3=0,193 | 0,2829 | 0,1000 | 0,000009 | 0,006 | 196,458 | laminer |
| L1 | | | 0,2796 | 0,0992 | | | 194,167 | laminer |
| L2 | | | 0,2783 | 0,0988 | | | 193,264 | laminer |
| L3 | | | 0,2776 | 0,0988 | | | 192,778 | laminer |
| L4 | | | 0,2770 | 0,0996 | | | 192,361 | laminer |
| L5 | | | 0,2755 | 0,0992 | | | 191,319 | laminer |
| L6 | | | 0,2720 | 0,0989 | | | 188,889 | laminer |
| L7 | | | 0,2711 | 0,0988 | | | 188,264 | laminer |
| L8 | | | 0,2698 | 0,0988 | | | 187,361 | laminer |
| L9 | | | 0,2676 | 0,0987 | | | 185,833 | laminer |
| L10 | | | 0,2666 | 0,0988 | | | 185,139 | laminer |
| L11 | | | 0,2646 | 0,0960 | | | 183,750 | laminer |

Sumber : Hasil Perhitungan



Gambar 13. Hubungan antara kecepatan (m/dtk) dan Bilangan Reynold
Dari hasil analisa untuk bilangan Reynold dapat diketahui bahwa

Gambar 14. Hubungan antara kecepatan (m/dtk) dan Bilangan Reynold

Dari hasil analisa untuk bilangan Reynold dapat diketahui bahwa kecepatan aliran berbanding lurus dengan bilangan Reynold, semakin cepat kecepatan alirannya maka semakin besar pula bilangan Reynoldnya hal ini terlihat pada grafik diatas.

B. Analisa Pengendapan Sedimen

Pengamatan tinggi sedimen dilakukan dengan mengamati pengendapan yang terjadi pada sekitar *abutment*. Pengamatan ini dilakukan dengan terlebih dahulu menentukan elevasi dasar sedimen di saluran sebelum pengaliran yang digunakan sebagai acuan kenaikan elevasi akibat pengendapan.

Tabel 9. Pengamatan Tinggi Sedimen Sebelum Dan Setelah Running Pada Bangunan *Groundsill* pada $Q_1=0,093 \text{ m}^3/\text{dtk}$

| No | Debit (liter/ dtk) | waktu (Menit) | Tinggi Sedimen (Sebelum Running) | | | | | Tinggi Sedimen (Setelah Running) | | | | | | |
|----|--------------------------|------------------|----------------------------------|------|------|------|------|----------------------------------|-----|-------|-------|-------|-----------|-------|
| | | | Interval | 1 | 2 | 3 | 4 | rata-rata interval | 1 | 2 | 3 | 4 | rata-rata | |
| 1 | 0,098 | 20 | L0 | 9,69 | 9,70 | 9,69 | 9,71 | 9,70 | L0 | 10,34 | 10,38 | 10,48 | 10,49 | 10,42 |
| | | | L1 | 9,58 | 9,57 | 9,52 | 9,50 | 9,54 | L1 | 10,35 | 10,39 | 10,35 | 10,05 | 10,29 |
| | | | L2 | 9,21 | 9,19 | 9,20 | 9,20 | 9,20 | L2 | 10,10 | 10,05 | 9,85 | 9,15 | 9,79 |
| | | | L3 | 9,07 | 8,90 | 9,01 | 9,04 | 9,01 | L3 | 9,99 | 10,00 | 9,90 | 9,59 | 9,87 |
| | | | L4 | 9,01 | 8,89 | 8,88 | 8,91 | 8,92 | L4 | 9,80 | 9,83 | 9,51 | 9,20 | 9,59 |
| | | | L5 | 8,90 | 8,70 | 8,71 | 8,80 | 8,78 | L5 | 9,21 | 9,39 | 9,35 | 9,18 | 9,28 |
| | | | L6 | 8,72 | 8,70 | 8,52 | 8,50 | 8,61 | L6 | 9,39 | 9,51 | 9,52 | 9,51 | 9,48 |
| | | | L7 | 8,49 | 8,42 | 8,39 | 8,47 | 8,44 | L7 | 9,20 | 9,81 | 9,50 | 9,42 | 9,41 |
| | | | L8 | 8,25 | 8,20 | 8,31 | 8,39 | 8,29 | L8 | 9,22 | 9,46 | 9,49 | 9,32 | 9,37 |
| | | | L9 | 8,39 | 8,30 | 8,39 | 8,35 | 8,36 | L9 | 9,30 | 9,35 | 9,26 | 9,27 | 9,30 |
| | | | L10 | 8,19 | 8,12 | 8,09 | 8,07 | 8,12 | L10 | 9,10 | 9,30 | 9,30 | 9,30 | 9,25 |
| 1 | 0,098 | 30 | L11 | | | | | | L11 | | | | | |
| | | | L0 | 9,72 | 9,79 | 9,69 | 9,80 | 9,75 | L0 | 9,80 | 9,89 | 9,85 | 9,90 | 9,86 |
| | | | L1 | 9,55 | 9,57 | 9,50 | 9,59 | 9,55 | L1 | 9,85 | 9,87 | 9,62 | 9,85 | 9,80 |
| | | | L2 | 9,30 | 9,29 | 9,25 | 9,25 | 9,27 | L2 | 9,57 | 9,62 | 9,47 | 9,10 | 9,44 |
| | | | L3 | 9,21 | 9,19 | 9,20 | 9,20 | 9,20 | L3 | 9,70 | 9,41 | 9,17 | 9,15 | 9,36 |
| | | | L4 | 9,09 | 9,10 | 9,10 | 9,12 | 9,10 | L4 | 9,45 | 9,47 | 8,50 | 8,68 | 9,03 |
| | | | L5 | 9,00 | 8,98 | 8,99 | 8,97 | 8,99 | L5 | 9,08 | 9,40 | 9,22 | 8,78 | 9,12 |
| | | | L6 | 8,89 | 8,86 | 8,90 | 8,87 | 8,88 | L6 | 9,32 | 9,54 | 9,51 | 9,10 | 9,37 |
| | | | L7 | 8,78 | 8,80 | 8,79 | 8,75 | 8,78 | L7 | 8,85 | 9,50 | 9,50 | 9,29 | 9,29 |
| | | | L8 | 8,62 | 8,63 | 8,68 | 8,64 | 8,64 | L8 | 8,76 | 9,40 | 9,30 | 8,75 | 9,05 |
| | | | L9 | 8,56 | 8,56 | 8,54 | 8,52 | 8,55 | L9 | 8,65 | 9,25 | 9,24 | 9,14 | 9,07 |
| | | | L10 | 8,42 | 8,39 | 8,35 | 8,40 | 8,39 | L10 | 8,43 | 8,42 | 8,46 | 8,43 | 8,44 |
| | | | L11 | | | | | | L11 | | | | | |

Lanjutan tabel

| No | Debit (liter/ dtk) | waktu (Menit) | Tinggi Sedimen (Sebelum Running) | | | | | | Tinggi Sedimen (Setelah Running) | | | | | |
|----|--------------------------|------------------|----------------------------------|------|------|------|------|-----------|----------------------------------|------|------|------|------|-----------|
| | | | Interval | 1 | 2 | 3 | 4 | rata-rata | Interval | 1 | 2 | 3 | 4 | rata-rata |
| 1 | 0,098 | 40 | L.0 | 9,79 | 9,80 | 9,68 | 9,75 | 9,76 | L.0 | 9,72 | 9,81 | 9,62 | 9,75 | 9,73 |
| | | | L.1 | 9,35 | 9,32 | 9,30 | 9,29 | 9,32 | L.1 | 9,89 | 9,89 | 9,96 | 9,75 | 9,87 |
| | | | L.2 | 9,20 | 9,19 | 9,29 | 9,10 | 9,20 | L.2 | 9,80 | 9,78 | 9,69 | 9,21 | 9,57 |
| | | | L.3 | 9,02 | 9,01 | 9,00 | 9,10 | 9,03 | L.3 | 9,85 | 9,80 | 9,35 | 9,15 | 9,54 |
| | | | L.4 | 8,70 | 8,75 | 8,86 | 8,95 | 8,82 | L.4 | 9,68 | 9,67 | 9,20 | 9,40 | 9,49 |
| | | | L.5 | 8,73 | 8,69 | 8,69 | 8,71 | 8,71 | L.5 | 9,35 | 9,87 | 9,35 | 9,34 | 9,43 |
| | | | L.6 | 8,48 | 8,50 | 8,50 | 8,53 | 8,50 | L.6 | 9,68 | 9,80 | 9,48 | 9,40 | 9,54 |
| | | | L.7 | 8,59 | 8,54 | 8,50 | 8,54 | 8,54 | L.7 | 9,80 | 9,68 | 9,84 | 9,30 | 9,56 |
| | | | L.8 | 8,40 | 8,39 | 8,41 | 8,50 | 8,43 | L.8 | 9,49 | 9,55 | 9,41 | 9,00 | 9,36 |
| | | | L.9 | 8,45 | 8,42 | 8,45 | 8,40 | 8,43 | L.9 | 9,11 | 9,30 | 9,20 | 9,48 | 9,27 |
| | | | L.10 | 8,21 | 8,20 | 8,15 | 8,21 | 8,19 | L.10 | 9,20 | 9,25 | 9,26 | 9,25 | 9,24 |
| | | | L.11 | | | | | | L.11 | | | | | |

Sumber: Hasil Pengamatan Laboratorium

Tabel 10. Pengamatan Tinggi Sedimen Sebelum Dan Setelah Running Pada Bangunan Groundsill pada $Q_2=0,152 \text{ m}^3/\text{dtk}$

| No | Debit (liter/ dtk) | waktu (Menit) | Tinggi Sedimen (Sebelum Running) | | | | | | Tinggi Sedimen (Setelah Running) | | | | | |
|----|--------------------------|------------------|----------------------------------|------|------|------|------|-----------|----------------------------------|-------|-------|-------|-------|-----------|
| | | | Interval | 1 | 2 | 3 | 4 | rata-rata | Interval | 1 | 2 | 3 | 4 | rata-rata |
| 2 | 0,152 | 20 | L.0 | 9,68 | 9,84 | 9,80 | 9,68 | 9,75 | L.0 | 10,19 | 10,09 | 10,02 | 10,11 | 10,10 |
| | | | L.1 | 9,30 | 9,32 | 9,33 | 9,28 | 9,31 | L.1 | 10,19 | 10,35 | 10,27 | 10,10 | 10,23 |
| | | | L.2 | 9,26 | 9,18 | 9,33 | 9,26 | 9,26 | L.2 | 9,50 | 10,11 | 10,08 | 9,77 | 9,87 |
| | | | L.3 | 9,28 | 9,28 | 9,20 | 9,18 | 9,24 | L.3 | 9,80 | 9,90 | 9,99 | 9,61 | 9,83 |
| | | | L.4 | 9,19 | 9,20 | 9,05 | 9,06 | 9,13 | L.4 | 9,72 | 9,81 | 9,62 | 9,18 | 9,58 |
| | | | L.5 | 8,65 | 8,81 | 8,68 | 8,70 | 8,71 | L.5 | 9,62 | 9,72 | 9,75 | 8,90 | 9,50 |
| | | | L.6 | 8,70 | 8,68 | 8,66 | 8,69 | 8,68 | L.6 | 9,68 | 9,72 | 9,77 | 9,57 | 9,69 |
| | | | L.7 | 8,76 | 8,65 | 8,64 | 8,68 | 8,68 | L.7 | 9,70 | 9,62 | 9,53 | 9,20 | 9,51 |
| | | | L.8 | 8,73 | 8,60 | 8,62 | 8,63 | 8,65 | L.8 | 9,53 | 9,42 | 9,17 | 8,51 | 9,16 |
| | | | L.9 | 8,55 | 8,54 | 8,50 | 8,65 | 8,56 | L.9 | 9,32 | 9,02 | 9,07 | 9,00 | 9,10 |
| | | | L.10 | 8,05 | 8,02 | 8,06 | 8,00 | 8,03 | L.10 | 9,04 | 9,05 | 9,16 | 9,12 | 9,09 |
| | | | L.11 | | | | | | L.11 | | | | | |
| | | 30 | L.0 | 9,69 | 9,80 | 9,72 | 9,73 | 9,74 | L.0 | 10,09 | 10,20 | 10,16 | 10,22 | 10,17 |
| | | | L.1 | 9,48 | 9,50 | 9,51 | 9,53 | 9,51 | L.1 | 9,63 | 9,99 | 10,00 | 9,85 | 9,87 |
| | | | L.2 | 9,31 | 9,30 | 9,37 | 9,40 | 9,35 | L.2 | 9,97 | 9,70 | 9,30 | 9,25 | 9,56 |
| | | | L.3 | 9,22 | 9,25 | 9,22 | 9,21 | 9,23 | L.3 | 10,06 | 9,75 | 9,42 | 9,00 | 9,56 |
| | | | L.4 | 9,15 | 9,18 | 9,20 | 9,19 | 9,18 | L.4 | 9,82 | 9,49 | 9,28 | 8,95 | 9,39 |
| | | | L.5 | 9,02 | 9,05 | 9,00 | 8,98 | 9,01 | L.5 | 9,50 | 9,57 | 9,13 | 9,00 | 9,30 |
| | | | L.6 | 8,89 | 8,91 | 8,90 | 8,88 | 8,90 | L.6 | 9,75 | 9,60 | 9,25 | 9,30 | 9,48 |
| | | | L.7 | 8,71 | 8,70 | 8,71 | 8,71 | 8,71 | L.7 | 9,70 | 9,78 | 9,28 | 9,30 | 9,52 |
| | | | L.8 | 8,65 | 8,63 | 8,60 | 8,62 | 8,63 | L.8 | 9,50 | 9,60 | 9,40 | 8,95 | 9,36 |
| | | | L.9 | 8,50 | 8,53 | 8,51 | 8,56 | 8,53 | L.9 | 9,49 | 9,38 | 9,20 | 8,95 | 9,26 |
| | | | L.10 | 8,40 | 8,35 | 8,39 | 8,42 | 8,39 | L.10 | 9,11 | 9,12 | 9,18 | 8,15 | 8,89 |
| | | | L.11 | | | | | | L.11 | | | | | |

Lanjutan tabel

| No | Debit (liter/ dtk) | waktu (Menit) | Tinggi Sedimen (Sebelum Running) | | | | | | Tinggi Sedimen (Setelah Running) | | | | | |
|----|--------------------------|----------------------|----------------------------------|------|------|------|------|-----------|----------------------------------|------|-------|-------|-------|-----------|
| | | | Interval | 1 | 2 | 3 | 4 | rata-rata | Interval | 1 | 2 | 3 | 4 | rata-rata |
| 2 | 0,152 | 40 | L.0 | 9,70 | 9,81 | 9,79 | 9,72 | 9,76 | L.0 | 9,89 | 9,91 | 10,07 | 10,01 | 9,97 |
| | | | L.1 | 9,50 | 9,51 | 9,50 | 9,52 | 9,51 | L.1 | 9,89 | 10,20 | 10,29 | 10,45 | 10,21 |
| | | | L.2 | 9,30 | 9,32 | 9,37 | 9,45 | 9,36 | L.2 | 9,30 | 9,80 | 9,62 | 9,73 | 9,61 |
| | | | L.3 | 9,23 | 9,25 | 9,20 | 9,24 | 9,23 | L.3 | 9,97 | 9,48 | 9,20 | 9,45 | 9,53 |
| | | | L.4 | 9,11 | 9,13 | 9,14 | 9,09 | 9,12 | L.4 | 9,40 | 9,30 | 9,45 | 9,21 | 9,34 |
| | | | L.5 | 9,00 | 9,00 | 9,02 | 9,01 | 9,01 | L.5 | 9,56 | 9,52 | 9,25 | 9,33 | 9,42 |
| | | | L.6 | 8,61 | 8,75 | 8,80 | 8,88 | 8,76 | L.6 | 9,80 | 9,50 | 9,10 | 9,09 | 9,37 |
| | | | L.7 | 8,60 | 8,77 | 8,80 | 8,79 | 8,74 | L.7 | 9,70 | 9,71 | 9,49 | 9,19 | 9,52 |
| | | | L.8 | 8,62 | 8,68 | 8,69 | 8,69 | 8,67 | L.8 | 9,63 | 9,57 | 9,05 | 8,85 | 9,26 |
| | | | L.9 | 8,56 | 8,50 | 8,52 | 8,54 | 8,53 | L.9 | 9,38 | 9,27 | 9,07 | 8,68 | 9,10 |
| | | | L.10 | 8,42 | 8,39 | 8,35 | 8,40 | 8,39 | L.10 | 9,21 | 9,10 | 9,30 | 9,10 | 9,18 |
| | | | L.11 | | | | | | L.11 | | | | | |

Sumber: Hasil Pengamatan Laboratorium

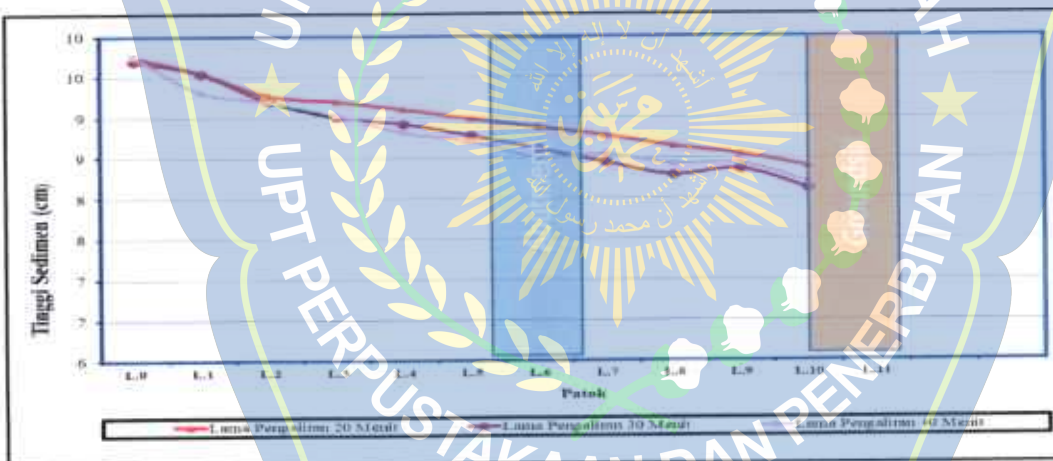
Tabel 11. Pengamatan Tinggi Sedimen Sebelum Dan Setelah Running Pada Bangunan Groundsill pada $Q_3=0,198 \text{ m}^3/\text{dtk}$

| No | Debit (liter/ dtk) | waktu (Menit) | Tinggi Sedimen (Sebelum Running) | | | | | | Tinggi Sedimen (Setelah Running) | | | | | |
|----|--------------------------|----------------------|----------------------------------|------|------|------|------|-----------|----------------------------------|-------|-------|-------|-------|-----------|
| | | | Interval | 1 | 2 | 3 | 4 | rata-rata | Interval | 1 | 2 | 3 | 4 | rata-rata |
| 3 | 0,193 | 20 | L.0 | 9,68 | 9,84 | 9,80 | 9,68 | 9,75 | L.0 | 10,10 | 9,99 | 10,02 | 10,05 | 10,04 |
| | | | L.1 | 9,30 | 9,32 | 9,33 | 9,28 | 9,31 | L.1 | 10,19 | 10,35 | 10,27 | 10,10 | 10,23 |
| | | | L.2 | 9,26 | 9,18 | 9,33 | 9,26 | 9,26 | L.2 | 9,50 | 10,11 | 10,08 | 9,77 | 9,87 |
| | | | L.3 | 9,28 | 9,28 | 9,20 | 9,18 | 9,24 | L.3 | 9,80 | 9,90 | 9,99 | 9,61 | 9,83 |
| | | | L.4 | 9,19 | 9,20 | 9,05 | 9,06 | 9,13 | L.4 | 9,72 | 9,81 | 9,62 | 9,18 | 9,58 |
| | | | L.5 | 8,69 | 8,81 | 8,68 | 8,70 | 8,72 | L.5 | 8,62 | 9,72 | 9,75 | 8,90 | 9,25 |
| | | | L.6 | 8,62 | 8,55 | 8,60 | 8,65 | 8,61 | L.6 | 9,68 | 9,72 | 9,77 | 9,57 | 9,69 |
| | | | L.7 | 8,76 | 8,65 | 8,64 | 8,68 | 8,68 | L.7 | 9,70 | 9,62 | 9,53 | 9,20 | 9,51 |
| | | | L.8 | 8,73 | 8,60 | 8,62 | 8,63 | 8,65 | L.8 | 9,53 | 9,42 | 9,17 | 9,51 | 9,41 |
| | | | L.9 | 8,55 | 8,54 | 8,50 | 8,65 | 8,56 | L.9 | 9,32 | 9,02 | 9,07 | 9,00 | 9,10 |
| | | | L.10 | 8,05 | 8,02 | 8,06 | 8,00 | 8,03 | L.10 | 9,04 | 9,05 | 9,16 | 9,12 | 9,09 |
| | | | L.11 | | | | | | L.11 | | | | | |
| | | 30 | L.0 | 9,70 | 9,80 | 9,69 | 9,68 | 9,72 | L.0 | 9,89 | 9,99 | 10,02 | 10,05 | 9,99 |
| | | | L.1 | 9,53 | 9,50 | 9,50 | 9,51 | 9,51 | L.1 | 9,55 | 9,87 | 9,75 | 9,55 | 9,68 |
| | | | L.2 | 9,37 | 9,36 | 9,32 | 9,30 | 9,34 | L.2 | 9,68 | 9,70 | 9,25 | 8,70 | 9,33 |
| | | | L.3 | 9,22 | 9,22 | 9,20 | 9,23 | 9,22 | L.3 | 9,69 | 9,69 | 9,07 | 9,30 | 9,44 |
| | | | L.4 | 9,10 | 9,10 | 9,10 | 9,13 | 9,11 | L.4 | 9,73 | 9,39 | 8,90 | 8,91 | 9,23 |
| | | | L.5 | 9,00 | 9,05 | 8,99 | 9,01 | 9,01 | L.5 | 9,37 | 9,35 | 9,10 | 9,09 | 9,23 |
| | | | L.6 | 8,89 | 8,86 | 8,86 | 8,90 | 8,88 | L.6 | 9,57 | 9,50 | 9,40 | 9,09 | 9,39 |
| | | | L.7 | 8,79 | 8,77 | 8,74 | 8,80 | 8,78 | L.7 | 9,60 | 9,55 | 9,41 | 9,18 | 9,44 |
| | | | L.8 | 8,63 | 8,68 | 8,62 | 8,65 | 8,65 | L.8 | 9,40 | 9,49 | 9,19 | 8,95 | 9,26 |
| | | | L.9 | 8,54 | 8,55 | 8,50 | 8,55 | 8,54 | L.9 | 9,12 | 9,25 | 9,10 | 9,15 | 9,16 |
| | | | L.10 | 8,40 | 8,39 | 8,39 | 8,40 | 8,40 | L.10 | 8,43 | 8,40 | 8,42 | 8,45 | 8,43 |
| | | | L.11 | | | | | | L.11 | | | | | |

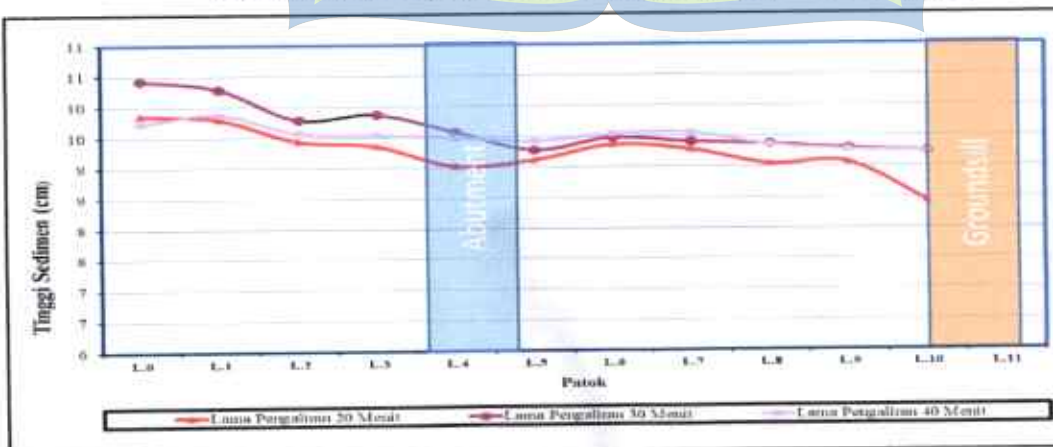
Lanjutan tabel

| No | Debit (liter/ dtk) | waktu (Menit) | Tinggi Sedimen (Sebelum Running) | | | | | | Tinggi Sedimen (Setelah Running) | | | | | |
|----|--------------------------|----------------------|----------------------------------|------|------|------|------|-----------|----------------------------------|------|------|------|------|-----------|
| | | | Interval | 1 | 2 | 3 | 4 | rata-rata | Interval | 1 | 2 | 3 | 4 | rata-rata |
| 3 | 0,193 | 40 | L,0 | 9,80 | 9,81 | 9,79 | 9,75 | 9,79 | L,0 | 9,90 | 9,92 | 9,94 | 9,99 | 9,94 |
| | | | L,1 | 9,54 | 9,61 | 9,59 | 9,60 | 9,59 | L,1 | 9,10 | 9,80 | 9,79 | 9,50 | 9,55 |
| | | | L,2 | 9,37 | 9,35 | 9,32 | 9,34 | 9,35 | L,2 | 9,72 | 9,49 | 9,45 | 9,10 | 9,44 |
| | | | L,3 | 9,20 | 9,22 | 9,20 | 9,17 | 9,20 | L,3 | 9,78 | 9,70 | 9,26 | 9,25 | 9,50 |
| | | | L,4 | 9,09 | 9,10 | 9,14 | 9,08 | 9,10 | L,4 | 9,54 | 9,35 | 9,40 | 9,02 | 9,33 |
| | | | L,5 | 8,99 | 8,89 | 8,95 | 8,94 | 8,94 | L,5 | 9,42 | 9,45 | 9,22 | 8,90 | 9,25 |
| | | | L,6 | 8,79 | 8,80 | 8,79 | 8,81 | 8,80 | L,6 | 9,50 | 9,68 | 9,15 | 9,05 | 9,35 |
| | | | L,7 | 8,70 | 8,69 | 8,71 | 8,72 | 8,71 | L,7 | 9,50 | 9,72 | 9,55 | 9,05 | 9,48 |
| | | | L,8 | 8,62 | 8,60 | 8,59 | 8,63 | 8,61 | L,8 | 9,51 | 9,35 | 9,00 | 8,70 | 9,14 |
| | | | L,9 | 8,54 | 8,55 | 8,52 | 8,50 | 8,53 | L,9 | 9,33 | 9,20 | 8,95 | 8,99 | 9,12 |
| | | | L,10 | 8,39 | 8,40 | 8,41 | 8,42 | 8,41 | L,10 | 9,10 | 9,00 | 9,00 | 9,05 | 9,04 |
| | | | L,11 | | | | | | L,11 | | | | | |

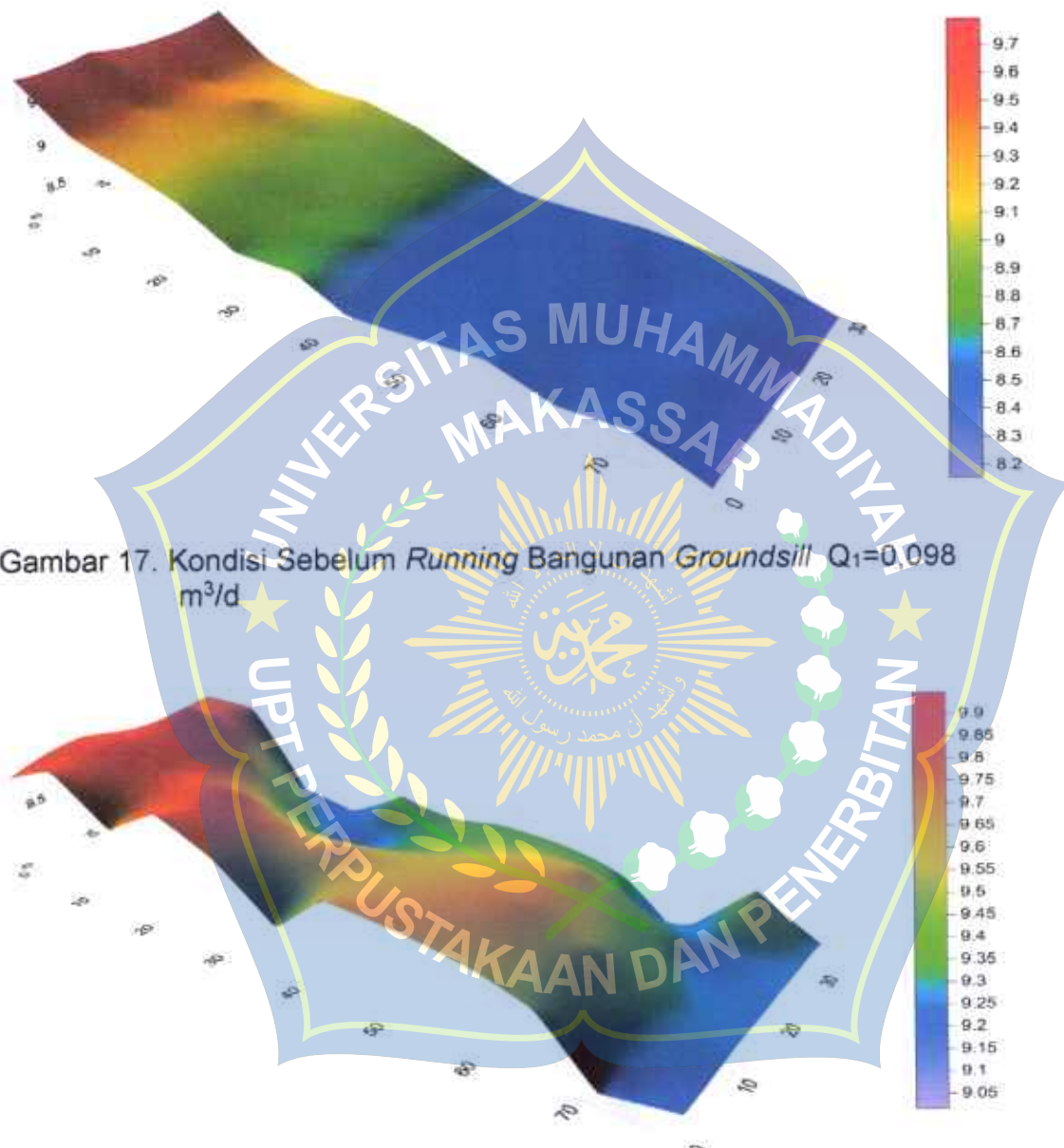
Sumber: Hasil Pengamatan Laboratorium



Gambar 15. Profil Memanjang Tinggi Sedimen sebelum Bangunan Groundsill Dengan Debit Pengaliran ($Q_1 = 0,098 \text{ m}^3/\text{d}$)



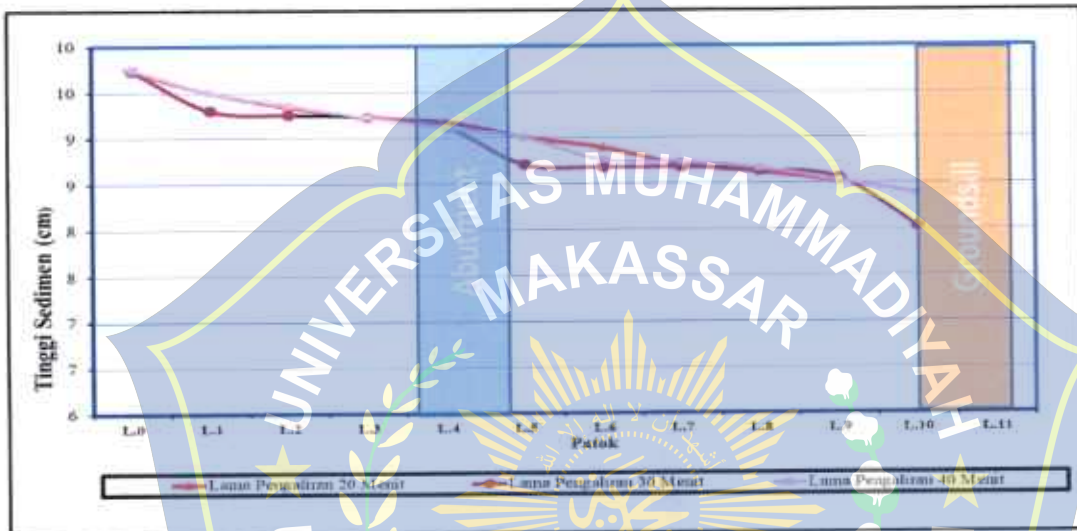
Gambar 16. Profil Memanjang Tinggi Sedimen setelah Bangunan Groundsill Dengan Debit Pengaliran ($Q_1 = 0,098 \text{ m}^3/\text{d}$)



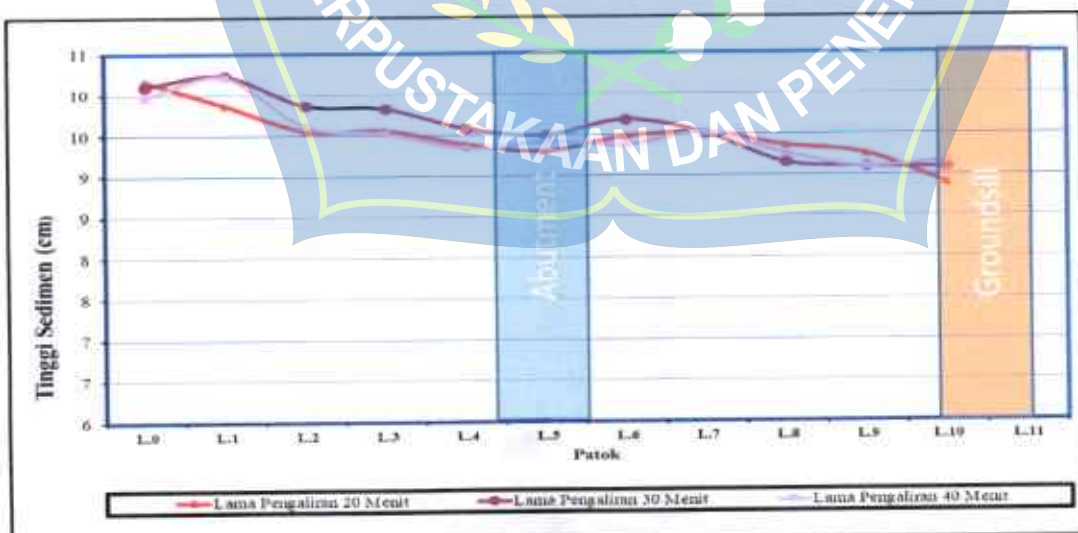
Gambar 18 .Kondisi Dasar Saluran Setelah Running Bangunan Groundsill
 $Q_1 = 0,098 \text{ m}^3/\text{dt}$

Dari Gambar 17 dan 18 grafik perbandingan persentase tinggi sedimen (pengendapan) di sekitar abutment setelah running dengan pengaliran debit $0,098 \text{ m}^3/\text{detik}$ untuk posisi bangunan groundsill diatas dapat dilihat tiap interval jarak untuk persentase tinggi sedimen

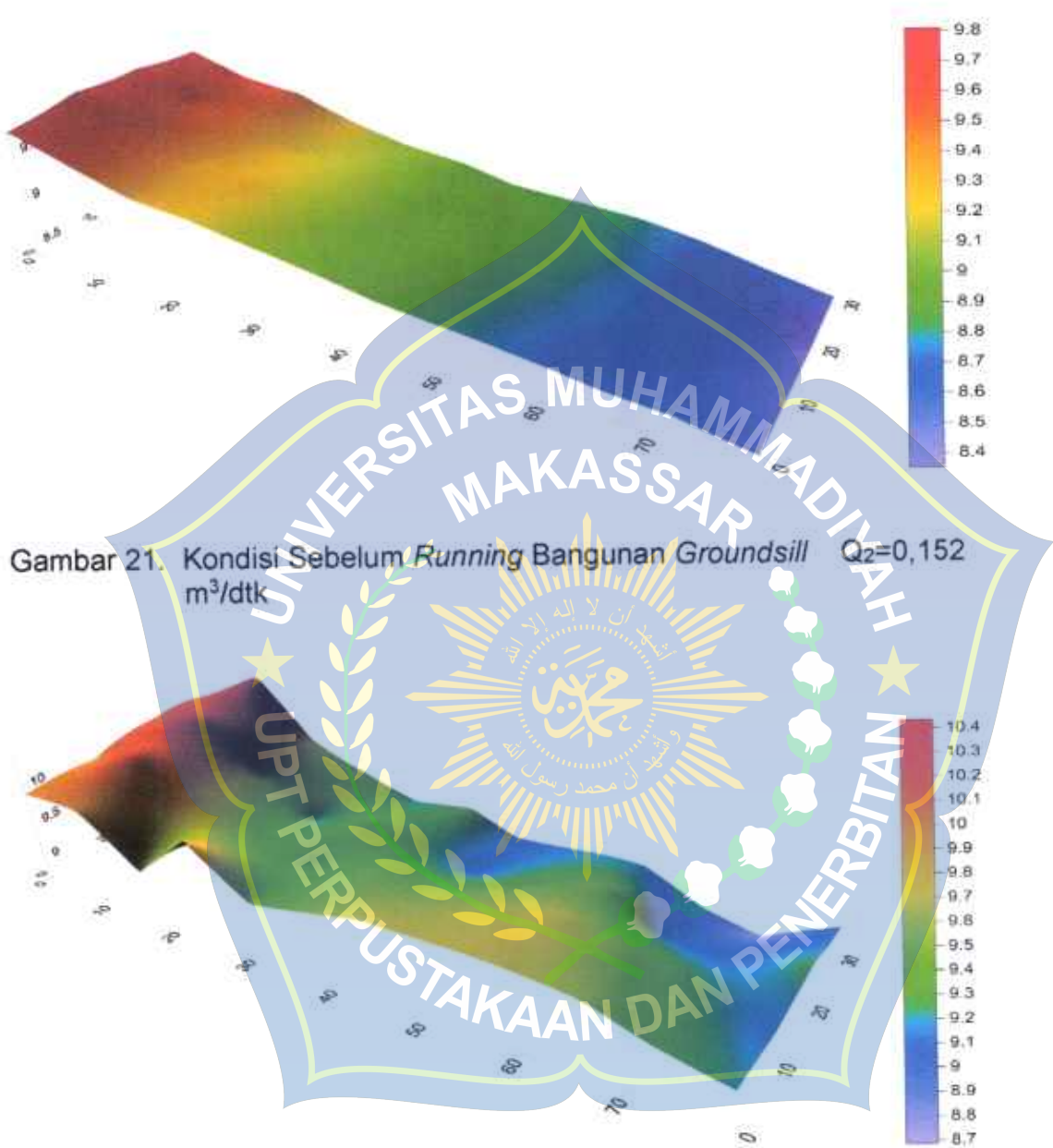
(pengendapan) yang paling rendah terdapat pada patok L5 dengan tinggi endapan 0.620 cm dan tinggi sedimen (pengendapan) yang paling tinggi terdapat pada patok L6 dengan tinggi endapan 1.180 cm



Gambar 19. Profil Memanjang Tinggi Sedimen Sebelum *Running* Pada Bangunan *Groundsill* Dengan Debit Pengaliran ($Q_2=0,152 \text{ m}^3/\text{dtk}$)



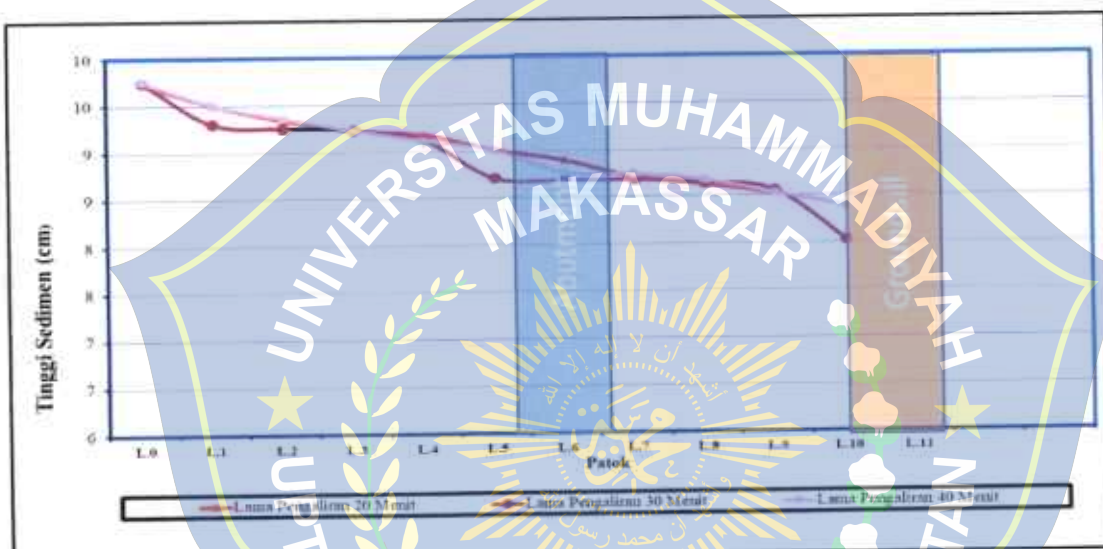
Gambar 20. Profil Memanjang Tinggi Sedimen setelah *Running* Pada Bangunan *Groundsill* Dengan Debit Pengaliran ($Q_2= 0,152 \text{ m}^3/\text{dtk}$)



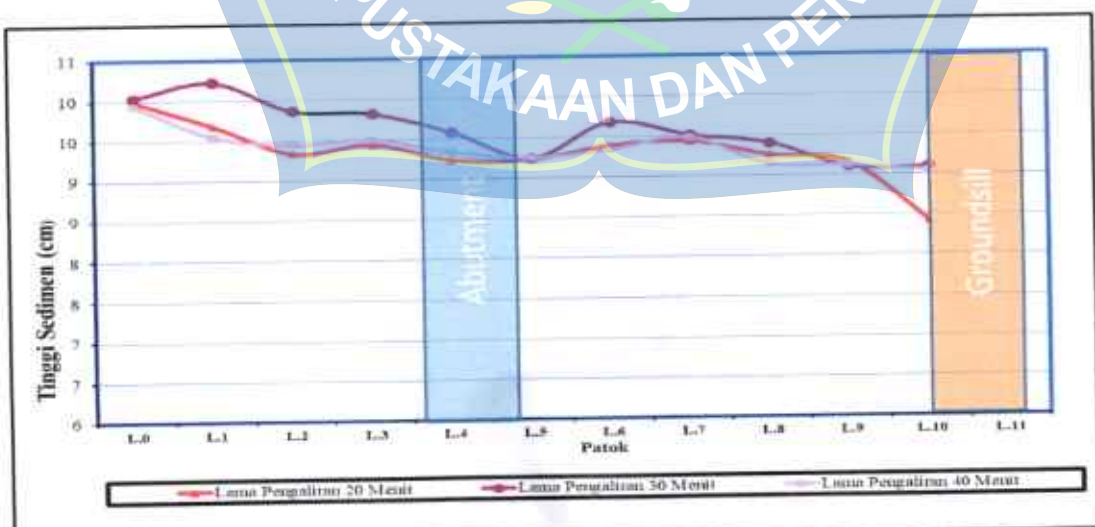
Gambar 22. Kondisi Setelah Running Bangunan Groundsill
 $Q_2=0,152m^3/d$

Dari gambar 21 dan 22, grafik perbandingan persentase tinggi sedimen (pengendapan) di sekitar abutment setelah running dengan pengaliran debit 0,152 liter/detik untuk posisi bangunan groundsill diatas dapat dilihat tiap interval jarak untuk persentase tinggi sedimen

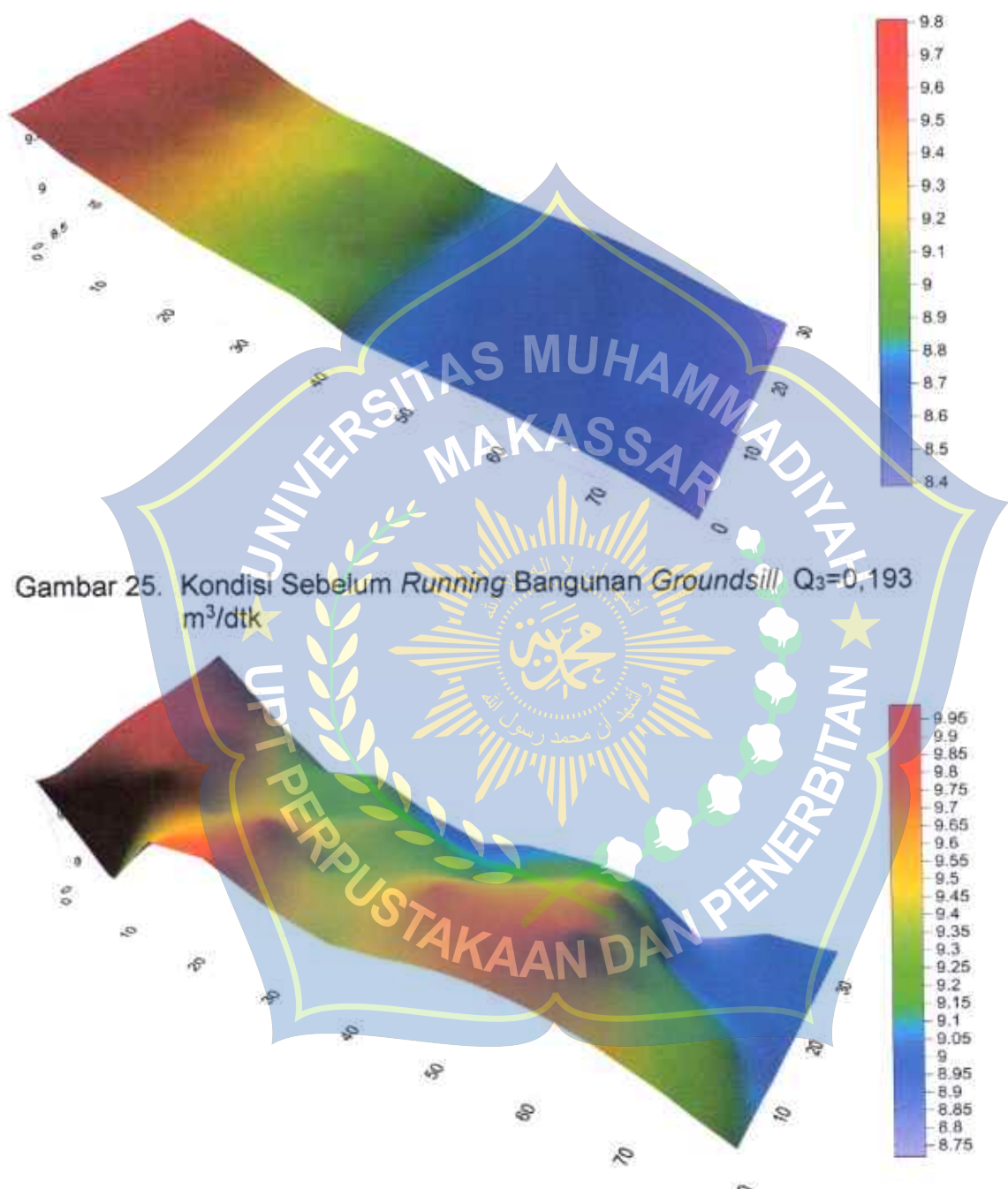
(pengendapan) yang paling rendah terdapat pada patok L6 titik 4 dengan tinggi endapan 0.210 cm dan tinggi sedimen (pengendapan) yang paling tinggi terdapat pada patok L6 titik 1 dengan tinggi endapan 1.190 cm.



Gambar 23. Profil Memanjang Tinggi Sedimen Sebelum *Running* Pada Bangunan Groundsill Dengan Debit Pengaliran ($Q_3 = 0,198 \text{ m}^3/\text{dtk}$)



Gambar 24. Profil Memanjang Tinggi Sedimen Setelah *Running* Pada Bangunan Groundsill Dengan Debit Pengaliran ($Q_3 = 0,198 \text{ m}^3/\text{dtk}$)



Gambar 26. Kondisi Setelah *Running Bangunan Groundsill*. $Q_3=0,193 \text{ m}^3/\text{dtk}$

Dari Gambar 25 dan 26, grafik perbandingan persentase tinggi sedimen (pengendapan) di sekitar abutment setelah *running* dengan pengaliran debit 0,193 liter/detik untuk posisi bangunan *groundsill* diatas

dapat dilihat tiap interval jarak untuk persentase tinggi sedimen (pengendapan) yang paling rendah terdapat pada patok L5 titik 4 dengan gerusan -0,040 cm dan tinggi sedimen (pengendapan) yang paling tinggi terdapat pada patok L6 titik 2 dengan tinggi endapan 0,880 cm.

Tabel 12. Tinggi endapan dan gerusan di sekitar *abutment* pada kondisi *ground sill*

| debit | Ruas | Groundsill | |
|-------|------|---------------------|------------|
| | | Tinggi sedimen (cm) | Keterangan |
| Q.1 | L.5 | 1 | 0,620 |
| | | 2 | 0,980 |
| | | 3 | 0,660 |
| | | 4 | 0,630 |
| | L.6 | 1 | 1,180 |
| | | 2 | 1,100 |
| | | 3 | 0,980 |
| | | 4 | 0,870 |
| Q.2 | L.5 | 1 | 0,560 |
| | | 2 | 0,520 |
| | | 3 | 0,230 |
| | | 4 | 0,320 |
| | L.6 | 1 | 1,190 |
| | | 2 | 0,750 |
| | | 3 | 0,300 |
| | | 4 | 0,210 |
| Q.3 | L.5 | 1 | 0,430 |
| | | 2 | 0,560 |
| | | 3 | 0,270 |
| | | 4 | -0,040 |
| | L.6 | 1 | 0,710 |
| | | 2 | 0,880 |
| | | 3 | 0,360 |
| | | 4 | 0,240 |

Sumber: Hasil perhitungan

C. Pembahasan

Dari hasil analisa untuk bilangan Froude sebelum dan setelah ada groundsill dapat diketahui bahwa kecepatan aliran berbanding lurus dengan bilangan Froude, semakin besar kecepatan alirannya maka semakin besar pula angka Froudenya

Dari hasil analisa untuk bilangan Reynold sebelum dan setelah ada griundsill dapat diketahui bahwa kecepatan aliran berbanding lurus dengan bilangan Reynold, semakin cepat kecepatan alirannya maka semakin besar pula bilangan Reynoldnya

Dari grafik perbandingan tinggi sedimen tertahan tiap waktu disekitar *abutment* untuk groundsill dapat dilihat mulai waktu ke 20 menit tinggi sedimen lebih rendah dibanding tinggi sedimen pada waktu ke 30 menit dan pada waktu ke 40 menit tinggi sedimen berkurang. Dari grafik dapat dilihat bahwa semakin lama waktu yang dijalankan dalam pengaliran maka semakin banyak sedimen yang akan tertahan menyebabkan tinggi sedimen juga semakin tinggi.

Selama pengaliran 3 (tiga) debit yang direncanakan, apabila dilihat dalam potongan memanjang pengendapan terbesar di sekitar *abutment* relatif besar terjadi setelah pengaliran di bangunan groundsill. Hal ini sangat jelas, sehingga memberikan hasil pengendapan sedimen yang paling besar pula.

BAB V

PENUTUP

A. Kesimpulan

Dari hasil analisis pembahasan maka dapat di ambil berbagai kesimpulan bahwa:

1. Jarak penempatan *groundspill* di hilir abutment merupakan salah satu faktor yang mempengaruhi kecepatan aliran pada debit yang berbeda, sehingga dengan penempatan *groundspill* di hilir abutment dapat mengamankan bangunan dari gerusan akibat dari kecepatan aliran.
2. Tinggi sedimen (pengendapan) di sekitar abutment yang paling besar terdapat pada bangunan *groundspill* patok L6 titik 1, debit Q2 dengan tinggi pengendapan 1,190 cm, sehingga dengan pengendapan yang besar dapat mengamankan bangunan abutment dari proses penggerusan.

B. Saran

Beberapa hal yang dapat disarankan untuk mengembangkan penelitian ini adalah:

1. Perlu dilakukan penelitian lanjutan dengan memvariasikan kemiringan saluran yang merupakan salah satu hal yang cukup berpengaruh terhadap sedimen yang tertahan pada bangunan *Groundspill*.
2. Perlu dilakukan penelitian lanjutan untuk menghitung jumlah sedimen yang hilang (melimpas).

DAFTAR PUSTAKA

Abe, S 1982. *On the effects of cross dykes on alternate bars*" Sohei Abe, Sabo (Erosion Control) Division, Public Works Research Institute, TsukubaScience City, Ibaraki Pref., 305 Japan Hydrological Aspects of Alpine and High Mountain Areas (Proceedings of the Exeter Symposium,July 1982). IAHS Publ. no. 138.

Ahmad NasirulUmmam, 2015 .Proses Sedimentasi.
 (http://www.academia.edu/20128835/, diakses 03 Desember 2016)

Asdak, 2004. Hidrologi dan Pengelolaan Daerah Aliran Sungai. Gadjah Mada University Press: Yogyakarta.

Ashida et.al. 1975. *On the effects of cross dykes on alternate bars*" Sohei Abe, Sabo (Erosion Control) Division, Public Works Research Institute, TsukubaScience City, Ibaraki Pref., 305 Japan Hydrological Aspects of Alpine and High Mountain Areas (Proceedings of the Exeter Symposium,July 1982). IAHS Publ. no. 138.

Breuser, H.N.C, and Raudkivi. A.J. (1991). Scouring. IAHR Hyd. Structure Design Manual. Rotterdam: AA Balkema.

Cahyono, Ikhwan dan Solichin 2008. analisis susunan tirai optimal sebagai proteksi pada pilar jembatan dari gerusan local. Surakarta: Media Teknik Sipil.

Chow, 1992. Hidraulika Saluran Terbuka. Jakarta: Erlangga

Dinas PSDA Prov. Jateng. 1996. Hidrolika Terapan. Semarang.

Direktorat Jendral Pengairan, Departemen Pekerjaan Umum. 1986. Standarperencanaan Irigasi: Kriteria Perencanaan Bangunan Utama (KP-02). Bandung: CV Erlangga Persada

Hanwar,S. 1999. Penggerusan Tergantung pada Kecepatan Aliran. Jakarta: Pustaka Teknika.

Hanwar, S. (1999). "Gerusan Lokal di Sekitar Abutmen Jembatan." Tesis Magister Teknik. PPS UGM, Yogyakarta.

Izumi, et al 1978. *On the effects of cross dykes on alternate bars*" Sohei Abe, Sabo (Erosion Control) Division, Public Works Research Institute, TsukubaScience City, Ibaraki Pref., 305 Japan Hydrological Aspects of Alpine and High Mountain Areas (Proceedings of the Exeter Symposium,July 1982). IAHS Publ. no. 138.

Legono, D. (1990). *Gerusan Pada Bangunan Sungai*, PAU Ilmuilmu Teknik UGM, Yogyakarta

Laursen dan Toch (1956), Neil (1973) dan Dietz (1972). (<http://googlee>, diakses 24 Desember 2017).

Mansida, Amrullah. 2015. Bahan Ajar Morfologi Sungai. Universitas Muhammadiyah makassar

Mardjikoen, P. 1987. Angkutan Sedimen. Diktat, Pusat Antar Universitas (PAU) Ilmu Teknik, UGM: Yogyakarta.

Muramoto, et al. 1972. On the effects of cross dykes on alternate bars" Sohei Abe, Sabo (Erosion Control) Division, Public Works Research Institute, TsukubaScience City, Ibaraki Pref., 305 Japan Hydrological Aspects of Alpine and High Mountain Areas (Proceedings of the Exeter Symposium,July 1982). IAHS Publ. no. 138.

Oliviana Mokonio. Dkk, 2013. Analisis Sedimentasi di Muara Sungai Saluangko Desa Tounelet Kec. Kakas Kab. Minahasa (<http://googlee>, diakses 03 Desember 2016).

Pangestu, Haedar dan Haki,Helmi. 2013. Analisis Angkutan Sedimen Total Pada Sungai Dawas Kabupaten Musi Banyuasin. Jurnal Teknik Sipil Statik Vol. 1 <http://eprints.unsri.ac.id/4674/1/pangestu/dkk>.

Prijono, Arko. 1985. Mekanika Fluida. Jilid 1. Jakarta: Erlangga

Rawiyah Th. Husnan dan Bambang Yulisyanto. 2002. Model eksperimen Abutmen Ganda dan Pengendalian Gerusan Lokal disekitarnya, Thesis Program Studi Teknik Sipil Jurusan Ilmu-ilmu Teknik FT. Universitas Gajah Mada.

Rukiyati, Yuniarti 2007. kajian degradasi dasar sungai dan penanggulangan untuk pengamanan bangunan sungai.

Soewarno, 1991. Hidrologi Pengukuran dan Pengolahan Data Aliran Sungai (Hidrometri).

Suripin, 2002. Dalam buku Tata Ruang Air oleh Restam Sjarief

Sucipto dan Nur Qudus. 2004. Analisis Gerusan Lokal di Hilir Bed Prection. Jurnal. Semarang: UNNES.

Triatmojo, Bambang., 1996. *Hidrolika jilid 2*. Yogyakarta : Beta Offset

Triatmodjo Bambang. 2003. *Hidraulika I*. Yogyakarta: Beta Offset

Triatmodjo Bambang. 2003. *Hidraulika II*. Yogyakarta: Beta Offset.

Umar, Sri Nurwahyuni. 2013. *Studi Experimen Distribusi Kecepatan Aliran Sungai*. Jurnal Bhs Indonesia (D11108882), Makasar



JUDUL SKRIPSI
PENELITI
LOKASI
PENGAMATAN

TABEL DATA PENGAMATAN PENELITIAN

METODE PROTEKSI GERUSAN DENG
NUR ILAHI DAN SYAFRI ZALDY
LABORATORIUM HIDROLIKA UNHAS
TINGGI MUKA AIR

METODE PROTEKSI GERUSAN DENGAN MENGGUNAKAN GROUNDSILL SETELAH ABUTMEN TALANG IRIGASI
NUR ILAHI DAN SYAFRI ZALDY
LABORATORIUM HIDROLIKA UNHAS
TINGGI MUKA AIR

TABEL DATA PENGAMATAN PENELITIAN

JUDUL SKRIPSI
PENELITI
LOKASI
PENGAMATAN

: METODE PROTEKSI GERUSAN DENGAN MENGGUNAKAN GROUNDSILL SETELAH ABUTMENT TALANG IRIGASI
: NUR ILAHI DAN SYAFRI ZALDY
: LABORATORIUM HIDROLIKA UNHAS
: KECEPATAN ALIRAN

| Kecepatan Pada Running Kosong Setelah Bangunan Groundsill L (Q2 = 0,152 m ³ /detik) | | | | | | |
|---|-------------------|-------------------|--------|--------|------------|------------|
| Patok | Jarak Memaritjang | Segment Melintang | | | Keterangan | |
| | | 1 | 2 | 3 | | |
| L.0 | 0,000 | 27,748 | 28,096 | 27,532 | 28,970 | |
| L.1 | 7,500 | 25,381 | 27,025 | 27,403 | 28,420 | |
| L.2 | 15,000 | 29,655 | 27,774 | 27,891 | 33,985 | |
| L.3 | 22,333 | 34,047 | 29,797 | 27,564 | 27,519 | |
| L.4 | 29,666 | 27,540 | 27,563 | 31,219 | 29,998 | |
| L.5 | 37,000 | 27,878 | 27,437 | 27,901 | 28,547 | Abutment |
| L.6 | 43,000 | 27,787 | 28,423 | 28,061 | 26,252 | |
| L.7 | 58,000 | 27,011 | 27,569 | 34,058 | 29,631 | |
| L.8 | 64,750 | 28,395 | 27,848 | 27,376 | 28,147 | |
| L.9 | 71,500 | 27,842 | 25,849 | 27,965 | 28,134 | |
| L.10 | 78,750 | 30,301 | 28,150 | 29,321 | 33,985 | |
| L.11 | 86,000 | 27,852 | 17,215 | 12,551 | 19,841 | Groundsill |
| | | | | | 19,36488 | |

Kecepatan Pada Running Kosong Setelah Bangunan Groundsill L (Q3 = 0,193 M³/detik)

| Kecepatan Pada Running Kosong Setelah Bangunan Groundsill L (Q3 = 0,193 M ³ /detik) | | | | | | |
|---|-------------------|-------------------|--------|--------|------------|------------|
| Patok | Jarak Memaritjang | Segment Melintang | | | Keterangan | |
| | | 1 | 2 | 3 | | |
| L.0 | 0,000 | 23,734 | 27,382 | 28,141 | 29,901 | |
| L.1 | 7,500 | 24,076 | 27,761 | 27,220 | 27,709 | |
| L.2 | 15,000 | 30,466 | 26,951 | 26,984 | 29,740 | |
| L.3 | 22,333 | 26,636 | 24,613 | 25,430 | 30,378 | |
| L.4 | 29,666 | 28,267 | 27,655 | 29,242 | 28,462 | |
| L.5 | 37,000 | 25,198 | 23,076 | 28,062 | 23,605 | Abutment |
| L.6 | 43,000 | 28,899 | 28,324 | 28,908 | 27,556 | |
| L.7 | 58,000 | 27,388 | 29,048 | 25,800 | 25,025 | |
| L.8 | 64,750 | 32,043 | 31,108 | 33,376 | 25,751 | |
| L.9 | 71,500 | 26,306 | 28,169 | 22,312 | 27,130 | |
| L.10 | 78,750 | 26,272 | 29,224 | 27,821 | 24,502 | |
| L.11 | 86,000 | 26,488 | 32,178 | 29,810 | 25,371 | Groundsill |

Kecepatan Pada Running Kosong Setelah Bangunan Groundsill L (Q1 = 0,098 M³/detik)

| Kecepatan Pada Running Kosong Setelah Bangunan Groundsill L (Q1 = 0,098 M ³ /detik) | | | | | | |
|---|-------------------|-------------------|--------|--------|------------|------------|
| Patok | Jarak Memaritjang | Segment Melintang | | | Keterangan | |
| | | 1 | 2 | 3 | | |
| L.0 | 0,000 | 28,096 | 27,532 | 28,970 | | |
| L.1 | 7,500 | 27,057 | 27,403 | 28,420 | | |
| L.2 | 15,000 | 29,82632 | 27,891 | 33,985 | | |
| L.3 | 22,333 | 29,71193 | 27,564 | 27,519 | | |
| L.4 | 29,666 | 29,08502 | 28,998 | 29,998 | | |
| L.5 | 37,000 | 28,096 | 27,177 | 28,887 | | |
| L.6 | 43,000 | 31,607 | 29,476 | 29,585 | 30,790 | Abutment |
| L.7 | 58,000 | 31,840 | 28,174 | 28,704 | 26,341 | |
| L.8 | 64,750 | 27,570 | 28,092 | 27,616 | 26,255 | |
| L.9 | 71,500 | 27,575 | 27,427 | 31,235 | | |
| L.10 | 78,750 | 30,761 | 27,438 | 28,851 | 27,773 | |
| L.11 | 86,000 | 26,224 | 26,394 | 26,449 | 26,632 | Groundsill |

Kecepatan Pada Running Kosong Setelah Bangunan Groundsill L (Q1 = 0,098 M³/detik)

| Kecepatan Pada Running Kosong Setelah Bangunan Groundsill L (Q1 = 0,098 M ³ /detik) | | | | | | |
|---|-------------------|-------------------|--------|--------|------------|--|
| Patok | Jarak Memaritjang | Segment Melintang | | | Keterangan | |
| | | 1 | 2 | 3 | | |
| L.0 | 0,000 | 28,475 | 27,875 | 27,692 | 27,134 | |
| L.1 | 7,500 | 32,695 | 25,630 | 27,628 | 26,268 | |
| L.2 | 15,000 | 26,603 | 28,016 | 29,116 | 25,741 | |
| L.3 | 22,333 | 27,945 | 28,892 | 31,584 | 27,199 | |
| L.4 | 29,666 | 29,586 | 28,096 | 27,177 | 28,887 | |
| L.5 | 37,000 | 31,607 | 29,476 | 29,585 | 30,790 | |
| L.6 | 43,000 | 31,840 | 28,174 | 28,704 | 26,341 | |
| L.7 | 58,000 | 27,570 | 28,092 | 27,616 | 26,255 | |
| L.8 | 64,750 | 27,575 | 27,427 | 31,235 | | |
| L.9 | 71,500 | 30,761 | 27,438 | 28,851 | 27,773 | |
| L.10 | 78,750 | 26,224 | 26,394 | 26,449 | 26,632 | |
| L.11 | 86,000 | 28,537 | 29,911 | 26,898 | | |

| Kecepatan Pada Running Kosong Tanpa Groundsill (Q2 = 0,152 M ³ /detik) | | | | | | | | |
|---|-----------------|-------------------|--------|--------|------------|---|----------|----------|
| Patok | Jarak Memanjang | Segment Melintang | | | Keterangan | Kecepatan Pada Running Kosong Tanpa Groundsill (Q3 = 0,193m ³ /detik) | | |
| | | 1 | 2 | 3 | | q1 | q2 | q3 |
| L.0 | 0,000 | 30,998 | 36,539 | 35,149 | | 25,672 | 34,229 | 35,844 |
| L.1 | 7,500 | 31,009 | 35,306 | 33,851 | | 26,91699 | 33,38879 | 34,57868 |
| L.2 | 15,000 | 32,900 | 34,492 | 32,485 | | 28,71938 | 33,29725 | 33,48875 |
| L.3 | 22,333 | 30,815 | 32,401 | 35,330 | Abutment | 30,21975 | 31,84867 | 33,86543 |
| L.4 | 29,666 | 34,019 | 35,284 | 34,878 | | 33,46185 | 34,72713 | 35,08104 |
| L.5 | 37,000 | 36,779 | 36,194 | 36,687 | | 36,665 | 36,55333 | 36,44052 |
| L.6 | 43,000 | 35,830 | 33,363 | 33,380 | | 36,3933 | 34,59107 | 33,37167 |
| L.7 | 58,000 | 36,978 | 34,141 | 34,848 | | 40,99162 | 35,32216 | 34,49449 |
| L.8 | 64,750 | 36,983 | 35,485 | 36,525 | | 43,43579 | 36,33106 | 36,00501 |
| L.9 | 71,500 | 36,620 | 36,804 | 36,992 | | 45,47883 | 36,80524 | 36,89786 |
| L.10 | 78,750 | 32,980 | 31,683 | 35,990 | | 44,8507 | 33,55093 | 33,88639 |
| L.11 | 86,000 | 36,986 | 34,306 | 35,719 | | 48,25264 | 35,67019 | 35,01229 |
| L.12 | 95,750 | 32,909 | 34,285 | 34,391 | | 49,33373 | 33,66164 | 34,33796 |



TABEL DATA PENGAMATAN PENELITIAN

JUDUL SKRIPSI
PENELITI
LOKASI
PENGAMATAN

: METODE PROTEKSI GERUSAN DENGAN MENGGUNAKAN GROUNDSILL SETELAH ABUTMEN TALANG IRIGASI
 : NUR ILAHI DAN SYAFRI ZALDY
 : LABORATORIUM HIDROLIKA UNHAS

: Perhitungan tegangan geser dasar, kecepatan geser, sebelum geser, setelah geser, dan pengamatan

Perhitungan tegangan geser dasar, kecepatan geser, sebelum geser, setelah geser, dan pengamatan

| NO | Q | V | $\frac{m}{dtk}$ | h(m) | A(m ²) | P(m) | R(m) | A/P | I | pw | ps | $(\rho_w \cdot g \cdot h \cdot S)$ | to | shield | $(\rho_s \cdot pw) \cdot g \cdot d$ | $(g \cdot h) \cdot 0,5$ | Ket. | |
|-------|-------|-------|-----------------|-------|--------------------|-------|-------|-------|------|------|------|------------------------------------|------|--------|-------------------------------------|-------------------------|------|--|
| | | | | | | | | | | | | | | | | | | |
| 0,098 | 0,278 | 0,083 | 0,017 | 0,091 | 0,017 | 0,351 | 0,049 | 0,005 | 1000 | 2650 | 4,45 | 0,55 | 5,34 | 0,067 | 0,667 | bergerak | | |
| | | | | 0,089 | 0,017 | 0,351 | 0,049 | 0,005 | 1000 | 2650 | 4,38 | 0,50 | 4,86 | 0,066 | 0,662 | bergerak | | |
| | | | | 0,085 | 0,017 | 0,352 | 0,049 | 0,005 | 1000 | 2650 | 4,19 | 0,45 | 4,37 | 0,065 | 0,647 | bergerak | | |
| | | | | 0,084 | 0,017 | 0,353 | 0,049 | 0,005 | 1000 | 2650 | 4,11 | 0,42 | 4,08 | 0,064 | 0,641 | bergerak | | |
| | | | | 0,085 | 0,017 | 0,353 | 0,049 | 0,005 | 1000 | 2650 | 4,17 | 0,45 | 4,37 | 0,065 | 0,646 | bergerak | | |
| | | | | 0,083 | 0,017 | 0,351 | 0,049 | 0,005 | 1000 | 2650 | 4,07 | 0,42 | 4,08 | 0,064 | 0,638 | bergerak | | |
| | | | | 0,082 | 0,017 | 0,353 | 0,049 | 0,005 | 1000 | 2650 | 4,07 | 0,42 | 4,08 | 0,064 | 0,638 | bergerak | | |
| | | | | 0,084 | 0,017 | 0,350 | 0,049 | 0,005 | 1000 | 2650 | 4,12 | 0,42 | 4,08 | 0,064 | 0,642 | bergerak | | |
| | | | | 0,084 | 0,017 | 0,350 | 0,049 | 0,005 | 1000 | 2650 | 4,10 | 0,42 | 4,08 | 0,064 | 0,640 | bergerak | | |
| | | | | 0,084 | 0,017 | 0,350 | 0,049 | 0,005 | 1000 | 2650 | 4,10 | 0,42 | 4,08 | 0,064 | 0,641 | bergerak | | |
| 0,152 | 0,321 | 0,086 | 0,017 | 0,090 | 0,018 | 0,354 | 0,049 | 0,005 | 1000 | 2650 | 4,02 | 0,42 | 4,08 | 0,063 | 0,634 | bergerak | | |
| | | | | 0,086 | 0,017 | 0,349 | 0,049 | 0,005 | 1000 | 2650 | 4,00 | 0,42 | 4,08 | 0,063 | 0,632 | bergerak | | |
| | | | | 0,082 | 0,017 | 0,354 | 0,049 | 0,005 | 1000 | 2650 | 4,47 | 0,55 | 5,34 | 0,067 | 0,669 | bergerak | | |
| | | | | 0,091 | 0,018 | 0,354 | 0,050 | 0,005 | 1000 | 2650 | 4,42 | 0,55 | 5,34 | 0,067 | 0,665 | bergerak | | |
| | | | | 0,090 | 0,018 | 0,354 | 0,050 | 0,005 | 1000 | 2650 | 4,42 | 0,55 | 5,34 | 0,067 | 0,649 | bergerak | | |
| | | | | 0,086 | 0,017 | 0,354 | 0,049 | 0,005 | 1000 | 2650 | 4,21 | 0,45 | 4,37 | 0,065 | 0,646 | bergerak | | |
| | | | | 0,085 | 0,018 | 0,354 | 0,049 | 0,005 | 1000 | 2650 | 4,17 | 0,45 | 4,37 | 0,065 | 0,651 | bergerak | | |
| | | | | 0,087 | 0,018 | 0,354 | 0,050 | 0,005 | 1000 | 2650 | 4,24 | 0,45 | 4,37 | 0,065 | 0,640 | bergerak | | |
| | | | | 0,084 | 0,018 | 0,355 | 0,050 | 0,005 | 1000 | 2650 | 4,10 | 0,42 | 4,08 | 0,064 | 0,643 | bergerak | | |
| | | | | 0,084 | 0,018 | 0,355 | 0,050 | 0,005 | 1000 | 2650 | 4,13 | 0,42 | 4,08 | 0,064 | 0,644 | bergerak | | |
| 0,198 | 0,320 | 0,086 | 0,018 | 0,090 | 0,018 | 0,355 | 0,050 | 0,005 | 1000 | 2650 | 4,14 | 0,42 | 4,08 | 0,063 | 0,630 | bergerak | | |
| | | | | 0,086 | 0,018 | 0,355 | 0,050 | 0,005 | 1000 | 2650 | 4,19 | 0,45 | 4,37 | 0,065 | 0,675 | bergerak | | |
| | | | | 0,086 | 0,018 | 0,355 | 0,050 | 0,005 | 1000 | 2650 | 4,20 | 0,45 | 4,37 | 0,065 | 0,668 | bergerak | | |
| | | | | 0,086 | 0,018 | 0,354 | 0,049 | 0,005 | 1000 | 2650 | 4,13 | 0,42 | 4,08 | 0,063 | 0,632 | bergerak | | |
| | | | | 0,082 | 0,017 | 0,354 | 0,049 | 0,005 | 1000 | 2650 | 4,00 | 0,42 | 4,08 | 0,064 | 0,664 | bergerak | | |
| | | | | 0,081 | 0,018 | 0,355 | 0,050 | 0,005 | 1000 | 2650 | 3,97 | 0,42 | 4,08 | 0,063 | 0,665 | bergerak | | |
| | | | | 0,093 | 0,018 | 0,359 | 0,050 | 0,005 | 1000 | 2650 | 4,56 | 0,57 | 5,54 | 0,068 | 0,658 | bergerak | | |
| | | | | 0,090 | 0,018 | 0,357 | 0,050 | 0,005 | 1000 | 2650 | 4,43 | 0,55 | 5,34 | 0,067 | 0,666 | bergerak | | |
| | | | | 0,090 | 0,018 | 0,357 | 0,050 | 0,005 | 1000 | 2650 | 4,30 | 0,45 | 4,37 | 0,066 | 0,646 | bergerak | | |
| | | | | 0,313 | 0,018 | 0,356 | 0,050 | 0,005 | 1000 | 2650 | 4,41 | 0,55 | 5,34 | 0,065 | 0,653 | bergerak | | |
| 0,313 | 0,329 | 0,087 | 0,018 | 0,311 | 0,018 | 0,356 | 0,050 | 0,005 | 1000 | 2650 | 4,26 | 0,45 | 4,37 | 0,065 | 0,652 | bergerak | | |
| | | | | 0,347 | 0,018 | 0,358 | 0,050 | 0,005 | 1000 | 2650 | 4,34 | 0,45 | 4,37 | 0,066 | 0,658 | bergerak | | |
| | | | | 0,316 | 0,018 | 0,354 | 0,050 | 0,005 | 1000 | 2650 | 4,20 | 0,45 | 4,37 | 0,066 | 0,656 | bergerak | | |
| | | | | 0,313 | 0,018 | 0,354 | 0,049 | 0,005 | 1000 | 2650 | 4,13 | 0,42 | 4,08 | 0,064 | 0,644 | bergerak | | |
| | | | | 0,320 | 0,018 | 0,355 | 0,050 | 0,005 | 1000 | 2650 | 4,14 | 0,42 | 4,08 | 0,064 | 0,644 | bergerak | | |
| | | | | 0,318 | 0,018 | 0,355 | 0,050 | 0,005 | 1000 | 2650 | 4,19 | 0,45 | 4,37 | 0,065 | 0,668 | bergerak | | |
| | | | | 0,316 | 0,018 | 0,354 | 0,050 | 0,005 | 1000 | 2650 | 4,20 | 0,45 | 4,37 | 0,065 | 0,666 | bergerak | | |
| | | | | 0,313 | 0,018 | 0,354 | 0,049 | 0,005 | 1000 | 2650 | 4,13 | 0,42 | 4,08 | 0,063 | 0,632 | bergerak | | |
| | | | | 0,320 | 0,018 | 0,355 | 0,050 | 0,005 | 1000 | 2650 | 3,97 | 0,42 | 4,08 | 0,063 | 0,630 | bergerak | | |
| | | | | 0,318 | 0,018 | 0,355 | 0,050 | 0,005 | 1000 | 2650 | 4,56 | 0,57 | 5,54 | 0,068 | 0,675 | bergerak | | |
| 0,313 | 0,329 | 0,088 | 0,018 | 0,319 | 0,018 | 0,358 | 0,050 | 0,005 | 1000 | 2650 | 4,43 | 0,55 | 5,34 | 0,067 | 0,666 | bergerak | | |
| | | | | 0,324 | 0,018 | 0,357 | 0,050 | 0,005 | 1000 | 2650 | 4,30 | 0,45 | 4,37 | 0,066 | 0,646 | bergerak | | |
| | | | | 0,322 | 0,018 | 0,357 | 0,050 | 0,005 | 1000 | 2650 | 4,27 | 0,45 | 4,37 | 0,065 | 0,653 | bergerak | | |
| | | | | 0,320 | 0,018 | 0,356 | 0,050 | 0,005 | 1000 | 2650 | 4,24 | 0,45 | 4,37 | 0,065 | 0,651 | bergerak | | |
| | | | | 0,318 | 0,018 | 0,356 | 0,050 | 0,005 | 1000 | 2650 | 4,19 | 0,45 | 4,37 | 0,065 | 0,647 | bergerak | | |
| | | | | 0,317 | 0,018 | 0,356 | 0,050 | 0,005 | 1000 | 2650 | 4,17 | 0,45 | 4,37 | 0,065 | 0,646 | bergerak | | |
| | | | | 0,314 | 0,018 | 0,356 | 0,050 | 0,005 | 1000 | 2650 | 4,25 | 0,45 | 4,37 | 0,065 | 0,652 | bergerak | | |
| | | | | 0,313 | 0,017 | 0,350 | 0,049 | 0,005 | 1000 | 2650 | 4,22 | 0,45 | 4,37 | 0,065 | 0,649 | bergerak | | |

TABEL DATA PENGAMATAN PENELITIAN

JUDUL SKRIPSI
PENELITI
LOKASI
PENGAMATAN

METODE PROTEKSI GERUSAN DENGAN MENGGUNAKAN GROUNDSILL SETELAH ABUTMEN TALANG IRIGASI
NUR ILAHI DAN SYAFRI ZALDY
LABORATORIUM HIDROLIKA UNHAS

Perhitungan tegangan geser dasar, kecepatan geser, setelah ada groundsill

IRIGASI

| NO | Q | V | h | A(m ²) | P | R | I | a/v | ps | pw | (pw.g.h.S) | to | tc | U*(m/dtk) | U*/W | Kele | |
|-------|-------|--------|--------|--------------------|-------|-------|------|------|------|------|------------|--------|--------|-----------|----------|----------|-----------|
| | | | | | | | | | | | | | | | | (b+mh)*h | (g.h.)0.5 |
| 0,098 | 0,288 | 0,0963 | 0,0172 | 0,351 | 0,049 | 0,005 | 1000 | 2650 | 4,72 | 0,57 | 5,54 | 0,0687 | 0,6887 | 0,6887 | bergerak | | |
| | 0,276 | 0,0960 | 0,0172 | 0,351 | 0,049 | 0,005 | 1000 | 2650 | 4,71 | 0,57 | 5,54 | 0,0686 | 0,6886 | 0,6886 | bergerak | | |
| | 0,274 | 0,0965 | 0,0173 | 0,352 | 0,049 | 0,005 | 1000 | 2650 | 4,73 | 0,57 | 5,54 | 0,0688 | 0,6888 | 0,6888 | bergerak | | |
| | 0,272 | 0,0970 | 0,0174 | 0,353 | 0,049 | 0,005 | 1000 | 2650 | 4,76 | 0,57 | 5,54 | 0,0690 | 0,690 | 0,690 | bergerak | | |
| | 0,271 | 0,0970 | 0,0174 | 0,353 | 0,049 | 0,005 | 1000 | 2650 | 4,76 | 0,57 | 5,54 | 0,0690 | 0,690 | 0,690 | bergerak | | |
| | 0,268 | 0,0962 | 0,0172 | 0,351 | 0,049 | 0,005 | 1000 | 2650 | 4,72 | 0,57 | 5,54 | 0,0687 | 0,6887 | 0,6887 | bergerak | | |
| | 0,267 | 0,0974 | 0,0175 | 0,353 | 0,049 | 0,005 | 1000 | 2650 | 4,78 | 0,59 | 5,73 | 0,0691 | 0,691 | 0,691 | bergerak | | |
| | 0,265 | 0,0960 | 0,0172 | 0,350 | 0,049 | 0,005 | 1000 | 2650 | 4,71 | 0,57 | 5,54 | 0,0686 | 0,6886 | 0,6886 | bergerak | | |
| | 0,263 | 0,0960 | 0,0172 | 0,350 | 0,049 | 0,005 | 1000 | 2650 | 4,71 | 0,57 | 5,54 | 0,0686 | 0,6886 | 0,6886 | bergerak | | |
| | 0,262 | 0,0960 | 0,0172 | 0,350 | 0,049 | 0,005 | 1000 | 2650 | 4,71 | 0,57 | 5,54 | 0,0686 | 0,6886 | 0,6886 | bergerak | | |
| 0,152 | 0,262 | 0,0959 | 0,0171 | 0,350 | 0,049 | 0,005 | 1000 | 2650 | 4,70 | 0,57 | 5,54 | 0,0686 | 0,6886 | 0,6886 | bergerak | | |
| | 0,261 | 0,0954 | 0,0170 | 0,349 | 0,049 | 0,005 | 1000 | 2650 | 4,68 | 0,57 | 5,54 | 0,0684 | 0,6884 | 0,6884 | bergerak | | |
| | 0,281 | 0,0977 | 0,0175 | 0,354 | 0,049 | 0,005 | 1000 | 2650 | 4,79 | 0,59 | 5,73 | 0,0692 | 0,692 | 0,692 | bergerak | | |
| | 0,279 | 0,0978 | 0,0175 | 0,354 | 0,050 | 0,005 | 1000 | 2650 | 4,80 | 0,59 | 5,73 | 0,0693 | 0,693 | 0,693 | bergerak | | |
| | 0,278 | 0,0976 | 0,0175 | 0,354 | 0,049 | 0,005 | 1000 | 2650 | 4,79 | 0,59 | 5,73 | 0,0692 | 0,692 | 0,692 | bergerak | | |
| | 0,277 | 0,0977 | 0,0175 | 0,354 | 0,049 | 0,005 | 1000 | 2650 | 4,79 | 0,59 | 5,73 | 0,0692 | 0,692 | 0,692 | bergerak | | |
| | 0,277 | 0,0978 | 0,0175 | 0,354 | 0,050 | 0,005 | 1000 | 2650 | 4,80 | 0,59 | 5,73 | 0,0693 | 0,693 | 0,693 | bergerak | | |
| | 0,274 | 0,0980 | 0,0176 | 0,355 | 0,050 | 0,005 | 1000 | 2650 | 4,81 | 0,59 | 5,73 | 0,0693 | 0,693 | 0,693 | bergerak | | |
| | 0,271 | 0,0980 | 0,0176 | 0,355 | 0,050 | 0,005 | 1000 | 2650 | 4,81 | 0,59 | 5,73 | 0,0693 | 0,693 | 0,693 | bergerak | | |
| | 0,268 | 0,0980 | 0,0176 | 0,355 | 0,050 | 0,005 | 1000 | 2650 | 4,81 | 0,59 | 5,73 | 0,0693 | 0,693 | 0,693 | bergerak | | |
| 0,198 | 0,267 | 0,0980 | 0,0176 | 0,355 | 0,050 | 0,005 | 1000 | 2650 | 4,80 | 0,59 | 5,73 | 0,0693 | 0,693 | 0,693 | bergerak | | |
| | 0,266 | 0,0979 | 0,0176 | 0,354 | 0,050 | 0,005 | 1000 | 2650 | 4,80 | 0,59 | 5,73 | 0,0692 | 0,692 | 0,692 | bergerak | | |
| | 0,264 | 0,0975 | 0,0175 | 0,354 | 0,049 | 0,005 | 1000 | 2650 | 4,78 | 0,59 | 5,73 | 0,0693 | 0,693 | 0,693 | bergerak | | |
| | 0,264 | 0,0980 | 0,0176 | 0,355 | 0,050 | 0,005 | 1000 | 2650 | 4,81 | 0,59 | 5,73 | 0,0693 | 0,693 | 0,693 | bergerak | | |
| | 0,283 | 0,1000 | 0,0180 | 0,359 | 0,050 | 0,005 | 1000 | 2650 | 4,90 | 0,59 | 5,73 | 0,0700 | 0,700 | 0,700 | bergerak | | |
| | 0,280 | 0,0992 | 0,0178 | 0,357 | 0,050 | 0,005 | 1000 | 2650 | 4,87 | 0,59 | 5,73 | 0,0698 | 0,698 | 0,698 | bergerak | | |
| | 0,278 | 0,0988 | 0,0178 | 0,356 | 0,050 | 0,005 | 1000 | 2650 | 4,85 | 0,59 | 5,73 | 0,0696 | 0,696 | 0,696 | bergerak | | |
| | 0,278 | 0,0988 | 0,0178 | 0,356 | 0,050 | 0,005 | 1000 | 2650 | 4,85 | 0,59 | 5,73 | 0,0696 | 0,696 | 0,696 | bergerak | | |
| | 0,277 | 0,0996 | 0,0179 | 0,358 | 0,050 | 0,005 | 1000 | 2650 | 4,89 | 0,59 | 5,73 | 0,0699 | 0,699 | 0,699 | bergerak | | |
| | 0,276 | 0,0992 | 0,0178 | 0,357 | 0,050 | 0,005 | 1000 | 2650 | 4,87 | 0,59 | 5,73 | 0,0698 | 0,698 | 0,698 | bergerak | | |
| | 0,272 | 0,0989 | 0,0178 | 0,357 | 0,050 | 0,005 | 1000 | 2650 | 4,85 | 0,59 | 5,73 | 0,0696 | 0,696 | 0,696 | bergerak | | |
| | 0,271 | 0,0988 | 0,0177 | 0,356 | 0,050 | 0,005 | 1000 | 2650 | 4,85 | 0,59 | 5,73 | 0,0696 | 0,696 | 0,696 | bergerak | | |
| | 0,270 | 0,0988 | 0,0177 | 0,356 | 0,050 | 0,005 | 1000 | 2650 | 4,84 | 0,59 | 5,73 | 0,0696 | 0,696 | 0,696 | bergerak | | |
| | 0,268 | 0,0987 | 0,0177 | 0,356 | 0,050 | 0,005 | 1000 | 2650 | 4,85 | 0,59 | 5,73 | 0,0696 | 0,696 | 0,696 | bergerak | | |
| | 0,267 | 0,0988 | 0,0177 | 0,356 | 0,050 | 0,005 | 1000 | 2650 | 4,85 | 0,59 | 5,73 | 0,0696 | 0,696 | 0,696 | bergerak | | |
| | 0,265 | 0,0960 | 0,0172 | 0,350 | 0,049 | 0,005 | 1000 | 2650 | 4,71 | 0,57 | 5,54 | 0,0686 | 0,6886 | 0,6886 | bergerak | | |

JUDUL SKRIPSI
PENELITI
LOKASI
PENGAMATAN

METODE PROTEKSI GERUSAN DENGAN MENGGUNAKAN GROUNDSILL SETELAH ABUTMEN TALANG IRIGASI
NUR ILAHI DAN SYAFRI ZALDY
LABORATORIUM HIDROLIKA UNHAS
rekapitulasi pengamatan perubahan dasar saluran sebelum ada groundsill

TABEL DATA PENGAMATAN PENELITIAN

| NO | Q | V | $h(m)$ | $A(m^2)$ | $P(m)$ | R(m) | I | $\frac{U}{(B.h.l)0.5}$ | w | d | U^*/W | Re* | Ket. |
|-------|---|---------|--------|---------------|---------------------------|--------|-------|------------------------|-------|--------|---------|--------|----------|
| | | n/dtk | | $(b + mh)^*h$ | $B + 2h \sqrt{(m^2)} + 1$ | A/P | | | | | | | |
| | | 0,2937 | 0,0907 | 0,01722 | 0,3510 | 0,0491 | 0,005 | 0,067 | 0,100 | 0,0006 | 0,6670 | 44,466 | transisi |
| | | 0,2870 | 0,0893 | 0,0172 | 0,3505 | 0,0490 | 0,005 | 0,066 | 0,100 | 0,0006 | 0,6617 | 44,114 | transisi |
| | | 0,2850 | 0,0853 | 0,0173 | 0,3516 | 0,0491 | 0,005 | 0,065 | 0,100 | 0,0006 | 0,6470 | 43,131 | transisi |
| | | 0,2834 | 0,0838 | 0,0174 | 0,3525 | 0,0493 | 0,005 | 0,064 | 0,100 | 0,0006 | 0,6411 | 42,742 | transisi |
| | | 0,2814 | 0,0851 | 0,0174 | 0,3525 | 0,0493 | 0,005 | 0,065 | 0,100 | 0,0006 | 0,6460 | 43,063 | transisi |
| | | 0,2807 | 0,0831 | 0,0172 | 0,3509 | 0,0490 | 0,005 | 0,064 | 0,100 | 0,0006 | 0,6383 | 42,554 | transisi |
| 0,098 | | 0,2780 | 0,0830 | 0,0175 | 0,3534 | 0,0494 | 0,005 | 0,064 | 0,100 | 0,0006 | 0,6381 | 42,537 | transisi |
| | | 0,2766 | 0,0840 | 0,0172 | 0,3505 | 0,0490 | 0,005 | 0,064 | 0,100 | 0,0006 | 0,6418 | 42,784 | transisi |
| | | 0,2746 | 0,0836 | 0,0172 | 0,3505 | 0,0490 | 0,005 | 0,064 | 0,100 | 0,0006 | 0,6404 | 42,691 | transisi |
| | | 0,2725 | 0,0837 | 0,0172 | 0,3505 | 0,0490 | 0,005 | 0,064 | 0,100 | 0,0006 | 0,6406 | 42,708 | transisi |
| | | 0,2719 | 0,0820 | 0,0171 | 0,3502 | 0,0489 | 0,005 | 0,063 | 0,100 | 0,0006 | 0,6342 | 42,280 | transisi |
| | | 0,2710 | 0,0815 | 0,0175 | 0,3492 | 0,0488 | 0,005 | 0,063 | 0,100 | 0,0006 | 0,6323 | 42,151 | transisi |
| | | 0,3423 | 0,0912 | 0,0175 | 0,3540 | 0,0495 | 0,005 | 0,067 | 0,100 | 0,0006 | 0,6689 | 44,595 | transisi |
| | | 0,3339 | 0,0902 | 0,0175 | 0,3542 | 0,0495 | 0,005 | 0,067 | 0,100 | 0,0006 | 0,6652 | 44,344 | transisi |
| | | 0,3329 | 0,0858 | 0,0175 | 0,3537 | 0,0494 | 0,005 | 0,065 | 0,100 | 0,0006 | 0,6487 | 43,249 | transisi |
| | | 0,3285 | 0,0850 | 0,0175 | 0,3541 | 0,0495 | 0,005 | 0,065 | 0,100 | 0,0006 | 0,6456 | 43,038 | transisi |
| | | 0,3275 | 0,0865 | 0,0175 | 0,3542 | 0,0495 | 0,005 | 0,065 | 0,100 | 0,0006 | 0,6515 | 43,433 | transisi |
| | | 0,3210 | 0,0835 | 0,0176 | 0,3546 | 0,0495 | 0,005 | 0,064 | 0,100 | 0,0006 | 0,6400 | 42,665 | transisi |
| 0,152 | | 0,3205 | 0,0843 | 0,0176 | 0,3546 | 0,0496 | 0,005 | 0,064 | 0,100 | 0,0006 | 0,6430 | 42,869 | transisi |
| | | 0,3198 | 0,0845 | 0,0176 | 0,3546 | 0,0496 | 0,005 | 0,064 | 0,100 | 0,0006 | 0,6437 | 42,913 | transisi |
| | | 0,3178 | 0,0855 | 0,0176 | 0,3546 | 0,0495 | 0,005 | 0,065 | 0,100 | 0,0006 | 0,6476 | 43,173 | transisi |
| | | 0,3160 | 0,0857 | 0,0176 | 0,3544 | 0,0495 | 0,005 | 0,065 | 0,100 | 0,0006 | 0,6482 | 43,211 | transisi |
| | | 0,3129 | 0,0815 | 0,0175 | 0,3536 | 0,0494 | 0,005 | 0,063 | 0,100 | 0,0006 | 0,6323 | 42,151 | transisi |
| | | 0,3110 | 0,0810 | 0,0176 | 0,3546 | 0,0496 | 0,005 | 0,063 | 0,100 | 0,0006 | 0,6303 | 42,021 | transisi |
| | | 0,3465 | 0,0930 | 0,0180 | 0,3587 | 0,0502 | 0,005 | 0,068 | 0,100 | 0,0006 | 0,6754 | 45,027 | transisi |
| | | 0,3356 | 0,0903 | 0,0178 | 0,3572 | 0,0499 | 0,005 | 0,067 | 0,100 | 0,0006 | 0,6655 | 44,368 | transisi |
| | | 0,3330 | 0,0899 | 0,0178 | 0,3564 | 0,0498 | 0,005 | 0,066 | 0,100 | 0,0006 | 0,6640 | 44,270 | transisi |
| | | 0,3288 | 0,0868 | 0,0178 | 0,3564 | 0,0498 | 0,005 | 0,065 | 0,100 | 0,0006 | 0,6525 | 43,500 | transisi |
| | | 0,3286 | 0,0884 | 0,0179 | 0,3580 | 0,0500 | 0,005 | 0,066 | 0,100 | 0,0006 | 0,6585 | 43,899 | transisi |
| 0,198 | | 0,3238 | 0,0877 | 0,0178 | 0,3571 | 0,0499 | 0,005 | 0,066 | 0,100 | 0,0006 | 0,6559 | 43,725 | transisi |
| | | 0,3215 | 0,0870 | 0,0178 | 0,3565 | 0,0498 | 0,005 | 0,065 | 0,100 | 0,0006 | 0,6532 | 43,550 | transisi |
| | | 0,3203 | 0,0864 | 0,0177 | 0,3563 | 0,0498 | 0,005 | 0,065 | 0,100 | 0,0006 | 0,6510 | 43,400 | transisi |
| | | 0,3179 | 0,0854 | 0,0177 | 0,3563 | 0,0498 | 0,005 | 0,065 | 0,100 | 0,0006 | 0,6472 | 43,148 | transisi |
| | | 0,3170 | 0,0850 | 0,0177 | 0,3561 | 0,0498 | 0,005 | 0,065 | 0,100 | 0,0006 | 0,6457 | 43,046 | transisi |
| | | 0,3144 | 0,0866 | 0,0177 | 0,3563 | 0,0498 | 0,005 | 0,065 | 0,100 | 0,0006 | 0,6517 | 43,450 | transisi |
| | | 0,3130 | 0,0860 | 0,0172 | 0,3505 | 0,0490 | 0,005 | 0,065 | 0,100 | 0,0006 | 0,6495 | 43,299 | transisi |

JUDUL SKRIPSI
PENELITI
LOKASI
PENGAMATAN

METODE PROTEKSI GERUSAN DENG
NUR ILAHI DAN SYAFRI ZALDY
LABORATORIUM HIDROLIKA UNHAS
rekapitulasi pengamatan peru

TABEL DATA PENGAMATAN PENELITIAN

IRIGASI
DENGAN MENGGUNAKAN GROUNDSILL SETELAH ABUTMEN TALANG

HABUTMEN TALANG MIGAS

• METODE BAGOTEKS | GEBI | SAN DENG

rekapitulasi pengamatan perubahan dasar setelah ada groundsill

PENGAMATAN

| NO | α | v | h | $A(m)$ | $P(m)$ | $R(m)$ | I | $U^*(m/dtk)$ | w | d | U^*/W | Re^* | Ket |
|-------|----------|---------|--------|--------------|---------------------------|--------|-------|--------------|----------|--------|---------|--------|----------|
| | | m/dtk | m | $(b + nh)*h$ | $B + 2h \sqrt{(m^2) + 1}$ | A/P | | $(g.h.l)0.5$ | (m/dt) | m | | | |
| 0,098 | | 0,288 | 0,0963 | 0,0172 | 0,3510 | 0,0491 | 0,005 | 0,0687 | 0,100 | 0,0006 | 0,6872 | 45,814 | transisi |
| | | 0,276 | 0,0960 | 0,0172 | 0,3505 | 0,0490 | 0,005 | 0,0686 | 0,100 | 0,0006 | 0,6863 | 45,753 | transisi |
| | | 0,274 | 0,0965 | 0,0173 | 0,3516 | 0,0491 | 0,005 | 0,0688 | 0,100 | 0,0006 | 0,6881 | 45,872 | transisi |
| | | 0,272 | 0,0970 | 0,0174 | 0,3525 | 0,0493 | 0,005 | 0,0690 | 0,100 | 0,0006 | 0,6898 | 45,985 | transisi |
| | | 0,271 | 0,0970 | 0,0174 | 0,3525 | 0,0493 | 0,005 | 0,0690 | 0,100 | 0,0006 | 0,6898 | 45,985 | transisi |
| | | 0,268 | 0,0962 | 0,0172 | 0,3503 | 0,0490 | 0,005 | 0,0687 | 0,100 | 0,0006 | 0,6869 | 45,795 | transisi |
| | | 0,267 | 0,0974 | 0,0175 | 0,3534 | 0,0494 | 0,005 | 0,0691 | 0,100 | 0,0006 | 0,6912 | 46,079 | transisi |
| | | 0,265 | 0,0960 | 0,0172 | 0,3505 | 0,0490 | 0,005 | 0,0686 | 0,100 | 0,0006 | 0,6862 | 45,747 | transisi |
| | | 0,263 | 0,0960 | 0,0172 | 0,3505 | 0,0490 | 0,005 | 0,0686 | 0,100 | 0,0006 | 0,6862 | 45,747 | transisi |
| | | 0,262 | 0,0960 | 0,0172 | 0,3505 | 0,0490 | 0,005 | 0,0686 | 0,100 | 0,0006 | 0,6862 | 45,747 | transisi |
| | | 0,262 | 0,0959 | 0,0171 | 0,3502 | 0,0489 | 0,005 | 0,0686 | 0,100 | 0,0006 | 0,6858 | 45,723 | transisi |
| | | 0,261 | 0,0954 | 0,0170 | 0,3492 | 0,0488 | 0,005 | 0,0684 | 0,100 | 0,0006 | 0,6841 | 45,604 | transisi |
| | | 0,281 | 0,0977 | 0,0175 | 0,3540 | 0,0495 | 0,005 | 0,0692 | 0,100 | 0,0006 | 0,6923 | 46,154 | transisi |
| | | 0,279 | 0,0978 | 0,0175 | 0,3542 | 0,0495 | 0,005 | 0,0693 | 0,100 | 0,0006 | 0,6925 | 46,168 | transisi |
| | | 0,278 | 0,0976 | 0,0175 | 0,3537 | 0,0494 | 0,005 | 0,0692 | 0,100 | 0,0006 | 0,6918 | 46,121 | transisi |
| | | 0,277 | 0,0977 | 0,0175 | 0,3541 | 0,0495 | 0,005 | 0,0692 | 0,100 | 0,0006 | 0,6923 | 46,156 | transisi |
| | | 0,277 | 0,0978 | 0,0175 | 0,3542 | 0,0495 | 0,005 | 0,0693 | 0,100 | 0,0006 | 0,6926 | 46,174 | transisi |
| | | 0,274 | 0,0980 | 0,0176 | 0,3546 | 0,0496 | 0,005 | 0,0693 | 0,100 | 0,0006 | 0,6933 | 46,221 | transisi |
| | | 0,271 | 0,0980 | 0,0176 | 0,3546 | 0,0496 | 0,005 | 0,0693 | 0,100 | 0,0006 | 0,6933 | 46,221 | transisi |
| | | 0,268 | 0,0980 | 0,0176 | 0,3546 | 0,0496 | 0,005 | 0,0693 | 0,100 | 0,0006 | 0,6933 | 46,221 | transisi |
| | | 0,267 | 0,0980 | 0,0176 | 0,3546 | 0,0496 | 0,005 | 0,0693 | 0,100 | 0,0006 | 0,6933 | 46,221 | transisi |
| | | 0,266 | 0,0979 | 0,0176 | 0,3544 | 0,0495 | 0,005 | 0,0693 | 0,100 | 0,0006 | 0,6930 | 46,198 | transisi |
| | | 0,264 | 0,0975 | 0,0175 | 0,3536 | 0,0494 | 0,005 | 0,0692 | 0,100 | 0,0006 | 0,6915 | 46,103 | transisi |
| | | 0,264 | 0,0980 | 0,0176 | 0,3546 | 0,0496 | 0,005 | 0,0693 | 0,100 | 0,0006 | 0,6933 | 46,221 | transisi |
| | | 0,283 | 0,1000 | 0,0180 | 0,3587 | 0,0502 | 0,005 | 0,0700 | 0,100 | 0,0006 | 0,7002 | 46,683 | transisi |
| | | 0,280 | 0,0992 | 0,0178 | 0,3572 | 0,0499 | 0,005 | 0,0698 | 0,100 | 0,0006 | 0,6976 | 46,509 | transisi |
| | | 0,278 | 0,0988 | 0,0178 | 0,3564 | 0,0498 | 0,005 | 0,0696 | 0,100 | 0,0006 | 0,6962 | 46,415 | transisi |
| | | 0,278 | 0,0988 | 0,0178 | 0,3564 | 0,0498 | 0,005 | 0,0696 | 0,100 | 0,0006 | 0,6962 | 46,415 | transisi |
| | | 0,277 | 0,0995 | 0,0179 | 0,3563 | 0,0498 | 0,005 | 0,0696 | 0,100 | 0,0006 | 0,6961 | 46,597 | transisi |
| | | 0,276 | 0,0992 | 0,0178 | 0,3571 | 0,0499 | 0,005 | 0,0698 | 0,100 | 0,0006 | 0,6975 | 46,503 | transisi |
| | | 0,272 | 0,0989 | 0,0178 | 0,3565 | 0,0498 | 0,005 | 0,0696 | 0,100 | 0,0006 | 0,6965 | 46,433 | transisi |
| | | 0,271 | 0,0988 | 0,0177 | 0,3563 | 0,0498 | 0,005 | 0,0696 | 0,100 | 0,0006 | 0,6961 | 46,409 | transisi |
| | | 0,270 | 0,0988 | 0,0177 | 0,3563 | 0,0498 | 0,005 | 0,0696 | 0,100 | 0,0006 | 0,6961 | 46,409 | transisi |
| | | 0,268 | 0,0987 | 0,0177 | 0,3561 | 0,0498 | 0,005 | 0,0696 | 0,100 | 0,0006 | 0,6958 | 46,386 | transisi |
| | | 0,267 | 0,0988 | 0,0177 | 0,3563 | 0,0498 | 0,005 | 0,0696 | 0,100 | 0,0006 | 0,6961 | 46,409 | transisi |
| | | 0,265 | 0,0960 | 0,0172 | 0,3505 | 0,0490 | 0,005 | 0,0686 | 0,100 | 0,0006 | 0,6862 | 45,747 | transisi |

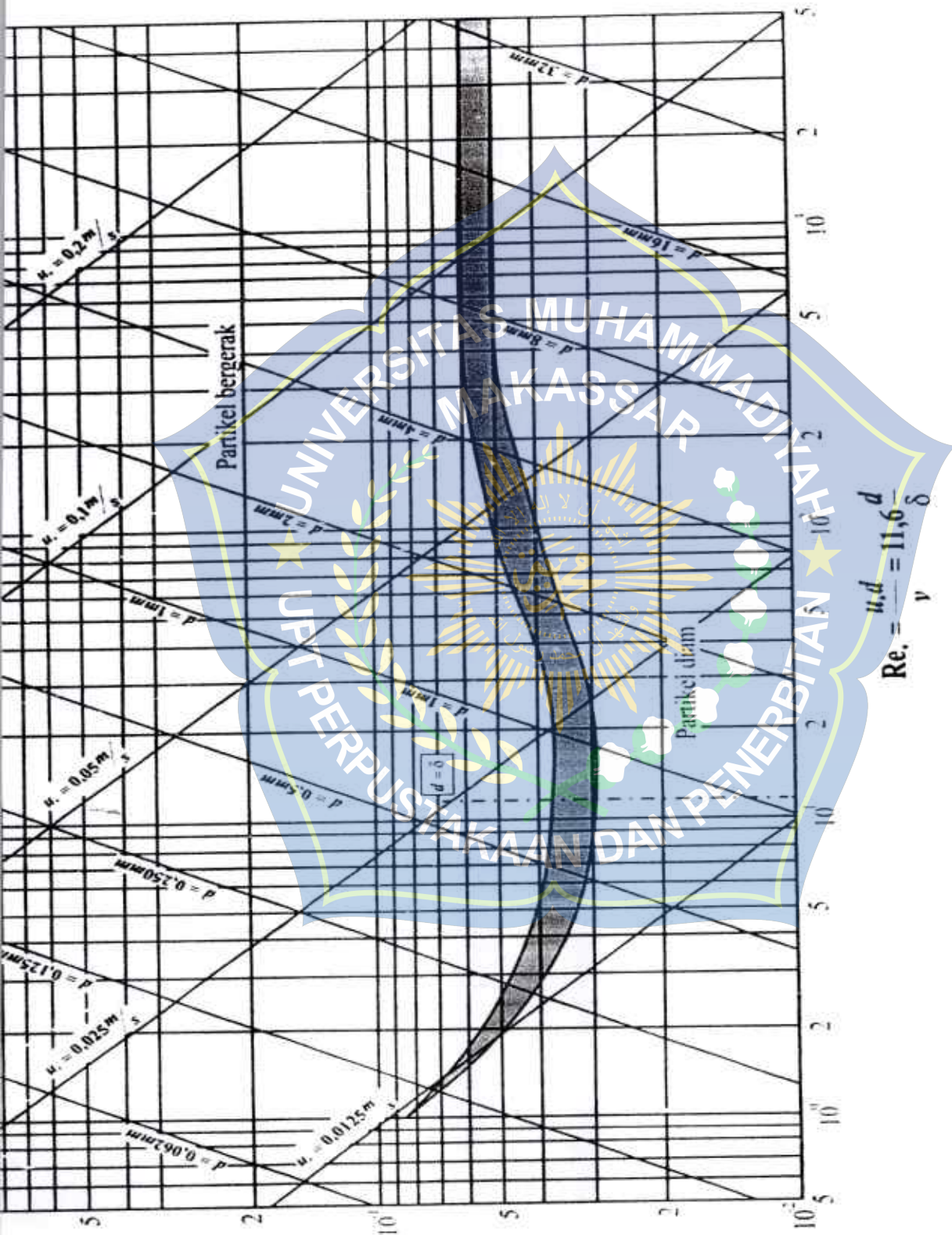
TABEL DATA PENGAMATAN PENELITIAN

JUDUL SKRIPSI
PENELITI
LOKASI
PENGAMATAN

METODE PROTEKSI GERUSAN DENGAN MENGGUNAKAN GROUNDSILL SETELAH ABUTMEN TALANG IRIGASI
NUR ILAHI DAN SYAFRI ZALDY
LABORATORIUM HIDROLIKA UNHAS
rekapitulasi pengamatan Bilangan Froude dan Bilangan Reynold

IRIGASI

| No patok | t | dtk | m ³ /dtk | Q | V | H | m | Fr | Re | ket | ket | No patok | Q | dtk | m ³ /dtk | m | V | H(rata") | fr | re | ket | ket |
|----------|----------|-----|---------------------|--------|--------|---------|-----------|---------|------|----------|-----|----------|--------|--------|---------------------|-----------|---------|----------|--------|---------|-----------|---------|
| | | | | | | | | | | | | | | | | | | | | | | |
| L0 | Q1=0,098 | 20 | 0,2937 | 0,0907 | 0,3114 | 203,956 | subkritis | laminar | 1.0 | Q1=0,098 | 20 | 0,2878 | 0,0963 | 0,2961 | 199,861 | subkritis | laminar | 1.0 | 0,2844 | 191,667 | subkritis | laminar |
| L1 | | | 0,2870 | 0,0893 | 0,3067 | 199,306 | subkritis | laminar | 1.1 | | | 0,2760 | 0,0960 | 0,2844 | 190,411 | subkritis | laminar | 1.1 | 0,2818 | 190,411 | subkritis | laminar |
| L2 | | | 0,2850 | 0,0853 | 0,3115 | 197,917 | subkritis | laminar | 1.2 | | | 0,2742 | 0,0965 | 0,2845 | 188,889 | subkritis | laminar | 1.2 | 0,2788 | 188,889 | subkritis | laminar |
| L3 | | | 0,2834 | 0,0838 | 0,3126 | 196,806 | subkritis | laminar | 1.3 | | | 0,2720 | 0,0970 | 0,2770 | 188,194 | subkritis | laminar | 1.3 | 0,2778 | 188,194 | subkritis | laminar |
| L4 | | | 0,2814 | 0,0851 | 0,3080 | 195,417 | subkritis | laminar | 1.4 | | | 0,2710 | 0,0970 | 0,2770 | 186,111 | subkritis | laminar | 1.4 | 0,2759 | 186,111 | subkritis | laminar |
| L5 | | | 0,2807 | 0,0831 | 0,3110 | 194,931 | subkritis | laminar | 1.5 | | | 0,2690 | 0,0962 | 0,2759 | 185,417 | subkritis | laminar | 1.5 | 0,2759 | 185,417 | subkritis | laminar |
| L6 | | | 0,2780 | 0,0830 | 0,3081 | 193,056 | subkritis | laminar | 1.6 | | | 0,2670 | 0,0974 | 0,2731 | 183,681 | subkritis | laminar | 1.6 | 0,2726 | 183,681 | subkritis | laminar |
| L7 | | | 0,2766 | 0,0840 | 0,3048 | 192,083 | subkritis | laminar | 1.7 | | | 0,2655 | 0,0960 | 0,2726 | 182,361 | subkritis | laminar | 1.7 | 0,2706 | 182,361 | subkritis | laminar |
| L8 | | | 0,2746 | 0,0836 | 0,3032 | 190,694 | subkritis | laminar | 1.8 | | | 0,2626 | 0,0960 | 0,2706 | 181,806 | subkritis | laminar | 1.8 | 0,2698 | 181,806 | subkritis | laminar |
| L9 | | | 0,2725 | 0,0837 | 0,3008 | 189,236 | subkritis | laminar | 1.9 | | | 0,2618 | 0,0960 | 0,2698 | 181,597 | subkritis | laminar | 1.9 | 0,2695 | 181,597 | subkritis | laminar |
| L10 | Q2=0,152 | 30 | 0,2719 | 0,0820 | 0,3032 | 188,819 | subkritis | laminar | 1.0 | | | 0,2615 | 0,0959 | 0,2695 | 181,181 | subkritis | laminar | 1.0 | 0,2694 | 181,181 | subkritis | laminar |
| L11 | | | 0,2710 | 0,0815 | 0,3031 | 188,194 | subkritis | laminar | 1.1 | | | 0,2609 | 0,0954 | 0,2697 | 180,544 | subkritis | laminar | 1.1 | 0,2697 | 180,544 | subkritis | laminar |
| L0 | | | 0,3423 | 0,0912 | 0,3618 | 237,700 | subkritis | laminar | 1.0 | | | 0,2598 | 0,0977 | 0,2869 | 195,044 | subkritis | laminar | 1.0 | 0,2869 | 195,044 | subkritis | laminar |
| L1 | | | 0,3339 | 0,0902 | 0,3549 | 231,867 | subkritis | laminar | 1.1 | | | 0,2583 | 0,0978 | 0,2847 | 193,611 | subkritis | laminar | 1.1 | 0,2847 | 193,611 | subkritis | laminar |
| L2 | | | 0,3329 | 0,0858 | 0,3629 | 231,158 | subkritis | laminar | 1.2 | | | 0,2583 | 0,0976 | 0,2845 | 193,264 | subkritis | laminar | 1.2 | 0,2845 | 193,264 | subkritis | laminar |
| L3 | | | 0,3285 | 0,0850 | 0,3598 | 228,116 | subkritis | laminar | 1.3 | | | 0,2577 | 0,0977 | 0,2832 | 192,569 | subkritis | laminar | 1.3 | 0,2832 | 192,569 | subkritis | laminar |
| L4 | | | 0,3275 | 0,0865 | 0,3555 | 227,431 | subkritis | laminar | 1.4 | | | 0,2570 | 0,0978 | 0,2827 | 192,292 | subkritis | laminar | 1.4 | 0,2827 | 192,292 | subkritis | laminar |
| L5 | | | 0,3210 | 0,0835 | 0,3547 | 222,917 | subkritis | laminar | 1.5 | | | 0,2560 | 0,0980 | 0,2799 | 190,559 | subkritis | laminar | 1.5 | 0,2799 | 190,559 | subkritis | laminar |
| L6 | | | 0,3205 | 0,0843 | 0,3524 | 222,569 | subkritis | laminar | 1.6 | | | 0,2571 | 0,0980 | 0,2767 | 188,410 | subkritis | laminar | 1.6 | 0,2767 | 188,410 | subkritis | laminar |
| L7 | | | 0,3198 | 0,0845 | 0,3513 | 222,083 | subkritis | laminar | 1.7 | | | 0,2577 | 0,0980 | 0,2730 | 185,903 | subkritis | laminar | 1.7 | 0,2730 | 185,903 | subkritis | laminar |
| L8 | | | 0,3178 | 0,0855 | 0,3470 | 220,694 | subkritis | laminar | 1.8 | | | 0,2670 | 0,0980 | 0,2723 | 185,417 | subkritis | laminar | 1.8 | 0,2723 | 185,417 | subkritis | laminar |
| L9 | | | 0,3160 | 0,0857 | 0,3447 | 219,444 | subkritis | laminar | 1.9 | | | 0,2560 | 0,0979 | 0,2714 | 184,722 | subkritis | laminar | 1.9 | 0,2714 | 184,722 | subkritis | laminar |
| L10 | Q3=0,193 | 40 | 0,3129 | 0,0815 | 0,3499 | 217,292 | subkritis | laminar | 1.0 | | | 0,2644 | 0,0975 | 0,2703 | 183,611 | subkritis | laminar | 1.0 | 0,2703 | 183,611 | subkritis | laminar |
| L11 | | | 0,3110 | 0,0810 | 0,3489 | 215,972 | subkritis | laminar | 1.1 | | | 0,2636 | 0,0980 | 0,2688 | 183,056 | subkritis | laminar | 1.1 | 0,2688 | 183,056 | subkritis | laminar |
| L0 | | | 0,3465 | 0,0930 | 0,3658 | 240,625 | subkritis | laminar | 1.0 | | | 0,2829 | 0,1000 | 0,2857 | 196,458 | subkritis | laminar | 1.0 | 0,2857 | 196,458 | subkritis | laminar |
| L1 | | | 0,3356 | 0,0903 | 0,3566 | 233,056 | subkritis | laminar | 1.1 | | | 0,2996 | 0,0992 | 0,2834 | 194,167 | subkritis | laminar | 1.1 | 0,2834 | 194,167 | subkritis | laminar |
| L2 | | | 0,3330 | 0,0899 | 0,3546 | 231,290 | subkritis | laminar | 1.2 | | | 0,2783 | 0,0988 | 0,2826 | 193,264 | subkritis | laminar | 1.2 | 0,2826 | 193,264 | subkritis | laminar |
| L3 | | | 0,3288 | 0,0868 | 0,3563 | 228,333 | subkritis | laminar | 1.3 | | | 0,2776 | 0,0988 | 0,2819 | 192,778 | subkritis | laminar | 1.3 | 0,2819 | 192,778 | subkritis | laminar |
| L4 | | | 0,3286 | 0,0884 | 0,3529 | 228,194 | subkritis | laminar | 1.4 | | | 0,2770 | 0,0996 | 0,2802 | 192,361 | subkritis | laminar | 1.4 | 0,2802 | 192,361 | subkritis | laminar |
| L5 | | | 0,3238 | 0,0877 | 0,3491 | 224,861 | subkritis | laminar | 1.5 | | | 0,2755 | 0,0992 | 0,2793 | 191,319 | subkritis | laminar | 1.5 | 0,2793 | 191,319 | subkritis | laminar |
| L6 | | | 0,3215 | 0,0870 | 0,3480 | 223,264 | subkritis | laminar | 1.6 | | | 0,2720 | 0,0989 | 0,2761 | 188,889 | subkritis | laminar | 1.6 | 0,2761 | 188,889 | subkritis | laminar |
| L7 | | | 0,3203 | 0,0864 | 0,3479 | 222,431 | subkritis | laminar | 1.7 | | | 0,2711 | 0,0988 | 0,2754 | 188,264 | subkritis | laminar | 1.7 | 0,2754 | 188,264 | subkritis | laminar |
| L8 | | | 0,3179 | 0,0854 | 0,3473 | 220,764 | subkritis | laminar | 1.8 | | | 0,2698 | 0,0988 | 0,2740 | 187,361 | subkritis | laminar | 1.8 | 0,2740 | 187,361 | subkritis | laminar |
| L9 | | | 0,3170 | 0,0850 | 0,3471 | 220,139 | subkritis | laminar | 1.9 | | | 0,2676 | 0,0987 | 0,2720 | 185,833 | subkritis | laminar | 1.9 | 0,2720 | 185,833 | subkritis | laminar |
| L10 | | | 0,3144 | 0,0866 | 0,3411 | 218,333 | subkritis | laminar | 1.10 | | | 0,2666 | 0,0988 | 0,2708 | 185,139 | subkritis | laminar | 1.10 | 0,2708 | 185,139 | subkritis | laminar |
| L11 | | | 0,3130 | 0,0860 | 0,3408 | 217,361 | subkritis | laminar | 1.11 | | | 0,2646 | 0,0960 | 0,2727 | 183,750 | subkritis | laminar | 1.11 | 0,2727 | 183,750 | subkritis | laminar |



$$\left[\frac{pdw - ps}{u_x^2} \right] = \frac{(ps - pdw)gd}{t_s}$$

atau

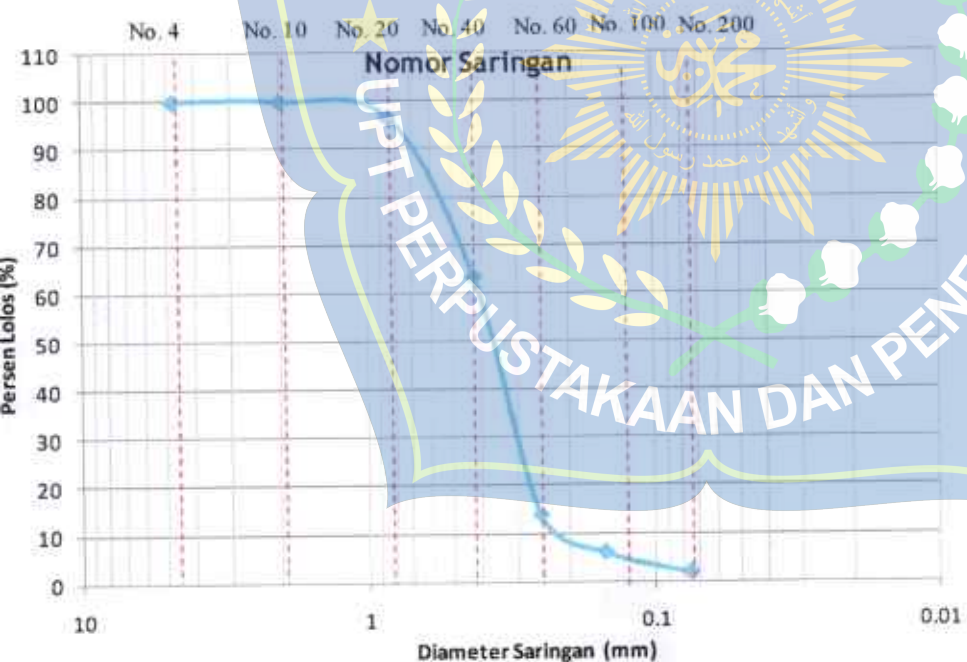


Data Analisa Saringan

Bahan dasar partikel saluran yg digunakan adalah pasir putih dengan gradasi sebagai berikut :

Tabel . Data Analisa Gradasi Sedimen

| Saringan No. | Diameter (mm) | Berat Tertahan (gram) | Berat Kumulatif (gram) | Persen (%) | |
|--------------|---------------|-----------------------|------------------------|------------|-------|
| | | | | Tertahan | Lolos |
| 4 | 4.75 | 0 | 0 | 0 | 100 |
| 10 | 2 | 0 | 0 | 0 | 100 |
| 20 | 0.84 | 17 | 17 | 3.4 | 96.6 |
| 40 | 0.425 | 166 | 183 | 36.6 | 63.4 |
| 60 | 0.25 | 248 | 431 | 86.2 | 13.8 |
| 100 | 0.15 | 39 | 470 | 94 | 6 |
| 200 | 0.075 | 21 | 491 | 98.2 | 1.8 |
| Pan | 0 | 9 | 500 | 100 | 0 |





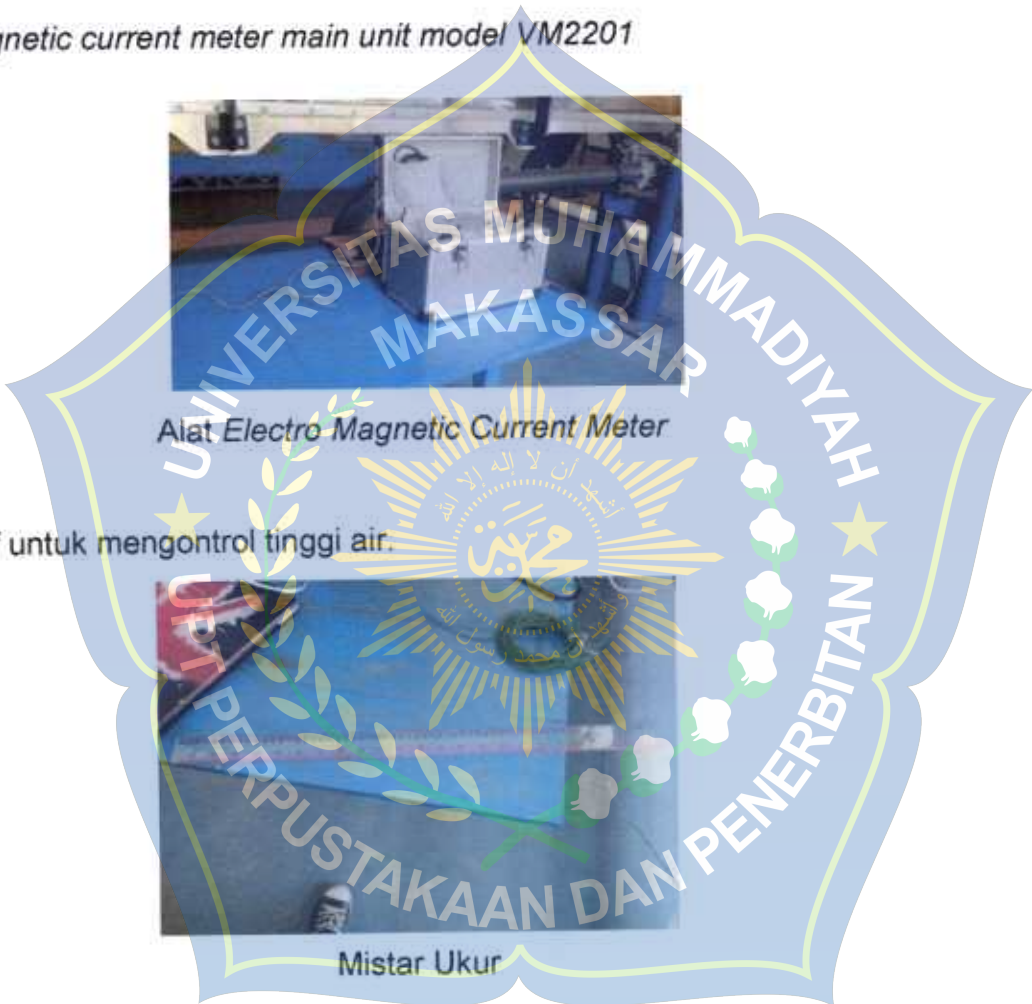


DOCUMENTASI

Alat dan Bahan Penelitian

Alat

Electro magnetic current meter main unit model VM2201



Mistar taraf untuk mengontrol tinggi air.

Komputer



Komputer

Detector model : VMT2-200-04P



Point Gauge

Detector Model



f) Stop Kran



Stop Kran

g) Pompa air



Stopwatch

2. Bahan



Flume Model Sungai

PROSES PENELITIAN



Proses Pengambilan Data Kecepatan Aliran







Setelah Running



Pengambilan Data Tinggi Sedimen

